

00106
В 85

Труды КВНИГРИ
б. 339

НОВЕЙШАЯ ТЕКТОНИКА
НЕФТЕГАЗОНОСНЫХ ОБЛАСТЕЙ
СЕВЕРА РУССКОЙ ПЛИТЫ

ЛЕНИНГРАД 1973

B 85

Труды Всесоюзного нефтяного научно-исследовательского
геологоразведочного института (ВНИГРИ)

Выпуск 339

НОВЕЙШАЯ ТЕКТОНИКА
НЕФТЕГАЗОНОСНЫХ ОБЛАСТЕЙ
СЕВЕРА РУССКОЙ ПЛИТЫ

Л е н и н г р а д

1 9 7 3

Сборник посвящен новейшей тектонике и морфоструктурам нефтегазоносных областей севера Русской плиты.

Основное внимание удалено соотношению морфоструктур со структурами осадочного чехла, фундамента и геофизическими полями.

Привлечен материал по Тиманской гряде как эталон для познания неотектоники всей плиты.

Делается вывод о высокой активности глубинных структур в новейшее время. Приводятся данные о большом коэффициенте удачи поисков структур осадочного чехла и нефтегазоносных залежей по неотектоническим данным.

Книга представит интерес для широкого круга геологов-нефтяников и геоморфологов.

Научный редактор
профессор Л.Н.Розанов

© Всесоюзный нефтяной научно-исследовательский геологоразведочный институт (ВНИГРИ), 1973

НАУЧНАЯ БИБЛИОТЕКА
Колы филиала Академии наук СССР

От редактора

Изучение новейшей тектоники в платформенных областях получает в последние годы все более широкое развитие в связи с поисками нефти и газа. Этому способствует простота и дешевизна выявления локальных структур структурно-геоморфологическими методами, основанными на изучении осадков антропогена и морфологии современного рельефа земной поверхности. Особое значение применение этих методов приобретает в северных районах Русской плиты в связи с директивой 24 съезда КПСС "усилить разведку и освоение новых месторождений нефти и природного газа в районах Европейского Севера".

Использование данных структурно-геоморфологических исследований, базирующихся на закономерной связи формы современного рельефа со строением недр, позволяет точнее направлять детальные геофизические работы и последующее поисковое бурение на выявление перспективных локальных структур. Поэтому обобщение имеющихся материалов по структурной геоморфологии севера Русской плиты представляется весьма своевременным. Этой цели и служит предлагаемый сборник статей.

В основе сборника - результаты многолетних (1956-1971 гг.) структурно-геоморфологических исследований, проведенных на территории севера Русской плиты сотрудниками ВНИГРИ, Ухтинского ТГУ, НИИЗарубежгеологии, МГУ, ВАГТ, СЗГУ и других организаций.

В статьях сборника, объединенных под общим заглавием "Новейшая тектоника нефтегазоносных областей севера Русской плиты", главное внимание удалено новой оригинальной карте неотектоники севера Русской плиты, приложенной к настоящей работе, составленной коллективом авторов (см. карту-схему). Комплект взаимодополняющих статей сборника по существу может рассматриваться как объяснительная записка к указанной карте. Эти материалы впервые дают возможность получить четкое и довольно детальное представление о характере и



Рис. 1. Карта-схема авторских макетов и материалов

Авторские макеты и материалы: 1-И.Н.Аникин, 2-В.И.Алексеев, 3-А.Д.Арманд, 4-В.И.Басанд, 5-В.Н.Банченкова, 6-В.И.Башкирова, 7-М.В.Борисов, 8-Л.В.Борисова, 9-А.С.Бушueva, 10-Е.Н.Былинского, 11-М.К.Бычков, 12-А.Ф.Гречева, 13-В.А.Дадаев, 14-А.Е.Долгова, 15-В.Я.Дорогина, 16-А.И.Ницковской, 17-А.Н.Заполовская, 18-А.О.Зелено, 19-Р.Б.Исаев, 20-Г.Ц.Лана, 21-А.М.Лебедев, 22-А.П.Лучинова, 23-Б.П.Любимова, 24-Т.А.Матвеев, 25-А.И.Медведцев, 26-Ю.Г.Навестинова, 27-Н.И.Николаева, 28-А.Н.Никонова, 29-Ю.Н.Оганесова, 30-Г.Д.Памуков, 31-А.Н.Попов, 32-Ю.Г.Туминова, 33-В.А.Разинина, 34-Г.Н.Софронова, 35-В.А.Сигова, 36-М.А.Спирко-нова, 37-В.А.Тонарев, 38-В.Н.Троицкого, 39-В.В.Туминова, 40-Г.Д.Удот, 41-А.А.Ференс-Сорокского, 42-Н.Г.Чижевский.

распределении морфоструктур обширной территории севера Русской плиты по степени мобильности различных ее участков в новейший тектонический этап, в количественных показателях и с определением знака новейших движений. Это дает возможность сравнительной оценки режимов новейших колебательных движений на рассматриваемой территории, что очень важно для оценки перспектив нефтегазоносности.

Во всех статьях сборника рассмотрение новейших тектонических движений и морфоструктуры дается в сопоставлении с тектоническим планом осадочного чехла, что подчеркивает прикладное значение данной работы. При этом красной нитью проводится идея об унаследованном развитии структурных форм осадочного чехла в неоген-четвертичную эпоху.

Чтобы не ввести читателей в заблуждение, необходимо оговориться, что такая прямая унаследованность новейших движений – явление не повсеместное. Соотношение новейших морфоструктур с тектоническим планом осадочного чехла часто является очень сложным. В ряде случаев обнаруживается их наложенный характер.

Очевидно, что в различных тектонических зонах соотношения структурных планов горизонтов осадочного чехла и новейших тектонических движений будут различны. Наиболее четко прямые соотношения обнаружаются в пределах Тимано-Печорской провинции, тогда как

для Московской синеклизы, в крупном плане характерны сложные, так называемые "полупрямые" и "полуобратные" соотношения.

Различия в детальности исходных данных и в методике изучения новейшей тектоники, к сожалению, отразились на качестве и полноте статей и обоснованности отдельных частей карты. Однако, несмотря на это, сборник в целом отражает современное представление о морфоструктуре и новейшей тектонической динамике севера Русской платформы.

Материалы, приведенные в настоящей книге, безусловно, будут способствовать успеху в деле поисков новых месторождений нефти и газа.

Розанов Л.Н.

Былинский Е. Н. (НИИЗарубежгеологии)

МЕТОДИКА И ПРИНЦИПЫ СОСТАВЛЕНИЯ КАРТЫ
НОВЕЙШЕЙ ТЕКТОНИКИ НЕФТЕГАЗОНОСНЫХ ОБЛАСТЕЙ СЕВЕРА
РУССКОЙ ПЛИТЫ *

Карта новейшей тектоники нефтегазоносных областей севера Русской плиты в масштабе I:2500000 является расширенным и уточненным вариантом карты неотектоники на данную территорию в масштабе I:4000000, составленной сотрудниками ВНИГРИ, НИИЗарубежгеологии, УГГУ, ВАГТа и МГУ и опубликованной в 1969 году [73]. В основу ее построения положен структурный принцип, т.е. показ новейших тектонических структур разных порядков, знака новейших движений и их амплитуд. Наименование неотектонических структурных форм проведено в соответствии с решениями совещания по классификации платформенных структур [66].

Среди региональных форм на севере Русской платформы и по ее восточному обрамлению выделены: Балтийский щит и его склон, Русская плита, Баренцевоморская шельфовая зона и Уральский кряж. Эти формы соответствуют наиболее крупным элементам современного рельефа территории, достаточно четко разделяющимся между собой, за исключением границы между склоном Балтийского щита и Русской плиты, которая проведена по тектоническому принципу (резкому уменьшению мощности фанерозойского осадочного чехла).

В пределах региональных структур выделены надпорядковые формы: антиклизы и синеклизы, гряды и ступени. Так, на территории Балтийского щита и его юго-восточном склоне отчетливо фиксируются в рельфе и новейшем плане Кольская и Карельская антиклизы и Беломорская синеклиза, соответствующие Кольскому п-ову, Карелии и котловине Белого моря.

Русская плита в пределах исследованного района отчетливо подразделяется на Мезенскую и Печорскую синеклизы, разделенные Тиманской грядой. С юга к Мезенской синеклизе примыкают Московская

* Главным редактором упомянутой карты является А.А.Ференс-Сороцкий. Обобщение материала по неотектонике и разработка методики составления карты произведены во ВНИГРИ Ференс-Сороцким совместно с автором статьи.

синеклиза и Волго-Уральская антиклиза. Граница Мезенской и Московской новейших синеклизы весьма условна. Более определенно удается наметить границу Мезенской синеклизы с Волго-Уральской антиклизой, проходящую по левому берегу р.Вычегды.

Наконец, в северной части Уральского кряжа были выделены Вайгачско-Пайхойская и Центрально-Уральская гряды, а также Западно-Уральская ступень.

Надпорядковые неотектонические формы были в свою очередь разделены на структуры I порядка (своды, впадины, мегавалы, мегаэтиги и ступени), а в пределах последних выделены структурные формы II порядка (поднятия, котловины, валы и прогибы). Новейшие элементы II порядка были выделены на основании большого комплекса геологических и геоморфологических признаков, они обычно отчетливо выражены в виде положительных или отрицательных структурных форм и очерчены замкнутыми изолиниями амплитуд позднеантропогеновых тектонических движений. Нередко в их пределах могут быть выделены и более мелкие структурные формы типа локальных поднятий (см. например, Велью-Табукское поднятие, [87] и др.). Новейшие структуры I порядка чаще всего являются совокупностью структурных форм II порядка, преимущественно с одним знаком движений, и расположенных в закономерной последовательности.

На карте новейшей тектоники севера Русской платформы отражена в некоторой степени и история развития структур. Показан возраст последней стадии их тектонического развития, характеризующегося весьма полной унаследованностью за указанный период времени. Специально выделены участки унаследованного развития новейших структур, начиная с неогена, раннего, среднего и позднего антропогена. К сожалению, материал о характере тектонического развития этой еще слабоизученной территории крайне неодинаков, и показать особенности новейшего развития в более ранние стадии пока не представляется возможным. Такая попытка выяснить особенности восточной части Мезенской синеклизы была осуществлена в книге "Тектоника севера Русской плиты" [73, рис.15]. Наконец, на карте показаны новейшие дистонктивные нарушения трех категорий (см.карту): 1. связанные с глубинными тектоническими нарушениями, 2. обнаружение путем анализа антропогеновых отложений и современного рельефа и 3. выявление по особенностям рельефа.

Реконструкция истории рельефообразования данной территории в новейшее (олигоцен-антропогеновое) время обнаруживает два основных этапа значительного выравнивания рельефа и два этапа его

расчленения. Первый, наиболее длительный этап, начавшийся еще в меловое время и закончившийся к концу плиоцена, привел к формированию одной или двух денудационных поверхностей выравнивания с абсолютными высотами на юге – от 50 до 140 м (максимально 200 м), на севере – от 80 до 0 м. Для центра европейской части СССР Ю.А. Мещеряковым [52] выделены позднемеловая поверхность с абр. высотами в 180–270 м и неогеновая – с высотами в 80–110 м.

В самом конце неогена и начале антропогена произошло врезание в древние поверхности выравнивания, глубину которого можно пока оценить лишь приблизительно: до -150–200 м на севере исследуемой территории и -70 – -50 м на юге.

Третий крупный этап развития характеризовался интенсивным осадконакоплением на изученной территории и продолжался в основном до начала позднего антропогена на севере и середине позднего антропогена (средневалдайское время) на юге. Несмотря на отдельные этапы врезания и расчленения территории, имевшие подчиненное значение, общая аккумуляция привела к значительному выравниванию рельефа изученной территории к концу среднего антропогена на юге и середине позднего антропогена на севере. При этом поверхностью, имеющей наиболее широкое распространение, является кровля московского горизонта (роговской свиты, шапкинской толщи), представленного, главным образом, ледниково-морскими и ледниково-бассейновыми отложениями и в меньшей степени (преимущественно на юге) ледниками и флювиогляциальными осадками.

Распространение ледников на севере и северо-востоке Русской плиты сопровождалось значительными (до 200 и более метров) и неоднократными погружениями обширных территорий, что приводило к широкому распространению здесь морских опресненных и пресноводных бассейнов. В их пределах осадки накапливались значительно более равномерно, чем в континентальных условиях. Это обстоятельство позволило широко использовать для выявления последующих тектонических деформаций высотное положение маркирующих уровней, которыми в первую очередь являются подошва и в особенности кровля московского горизонта, а на севере, кроме того, – кровли микулинского, нижне- и средневалдайского горизонтов. В речных долинах маркирующими уровнями служили поверхности третьей, второй и первой надпойменных террас.

На юге исследованной территории (в бассейнах р. Вичегды, верховьев рек Мезени и Печоры), на Тимане и в особенности в пределах Балтийского щита и Урала для оценки новейших движений широко ис-

пользовались деформации донеогеновой и неогеновой поверхностей выравнивания, что объяснялось меньшей мощностью или отсутствием здесь антропогеновых отложений и лучшей разбурренностью этих территорий в сочетании с широким использованием специального поставленного вертикального электрического зондирования [6]. В связи с этими обстоятельствами на карте новейшей тектоники для Урала, Кольского п-ова и Баренцевоморского шельфа показаны деформации донеогеновой поверхности выравнивания, а для всей остальной территории – амплитуды позднеантропогеновых тектонических движений.

При составлении карты новейшей тектоники и выявлении амплитуд основным принципом одно снятие регионального фона новейших движений, обусловленного, по мнению Е.Н. Былинского [18], преимущественно гляциоизостатическими движениями, связанными с неоднократными, но сравнительно кратковременными для данных территорий (за исключением юго-запада) надвиганием и стаиванием покровных ледников. Под их давлением происходили обширные и чрезвычайно интенсивные прогибания обширных участков данной территории, охватывающие в эпохи окского, днепровского и московского оледенений практически всю рассматриваемую область. Быстрое растаивание ледников приводило к снятию гляциоизостатической нагрузки и широкому развитию на данных территориях ледниково-морских, ледниково-бассейновых и озерных акваторий. Следовавшее за прогибанием поднятие, охватывавшее конец эпохи оледенения и начало последующего межледникового, восстанавливала лишь частично прежние высоту и общий характер рельефа, так как несомненно имели место и остаточные деформации, фиксированные в региональном наклоне территории и горизонтов антропогеновых отложений к северу и северо-западу. Поэтому современные региональные наклоны этих горизонтов отражают не столько проявления собственно тектонических структурообразующих движений, сколько воздействие крупных колебательных движений, имевших гляциоизостатическую природу. Следовательно, для выявления новейших структур, которые скорее всего могут быть унаследованными от более древних тектонических движений и структур, необходимо избавиться от региональной составляющей, которая может лишь затушевывать проявления глубинных тектонических факторов и затруднить поиски локальных структур, наиболее перспективных в отношении нефтегазоносности.

Практически исключение регионального фона производилось следующим образом. По комплексу признаков на разных участках территории выявлялись смежные районы новейших поднятий и опусканий. На

переходных между ними отрезках определялись высоты каждого из маркирующих уровней в отдельности, которые и принимались в качестве "нормальных" для данных районов. Затем эти "нормальные" высоты приравнивались к нулю, и таким образом, удавалось определить амплитуды положительных или отрицательных тектонических движений в пределах выявленных структурных форм. Эти данные сводились к величинам деформаций основного уровня - московского горизонта. При этом в связи со значительной унаследованностью тектонических движений такое сведение к деформациям кровли московского горизонта получалось путем пропорционального увеличения амплитуды, полученной при анализе более молодых по возрасту маркирующих уровней. Так, например, деформации кровли московского горизонта в 20 м обычно соответствовала деформации кровли микулинского горизонта в 15 м, нижневалдайского - 10 м, поверхности средневалдайской III террасы - 6 м, второй верхневалдайской террасы - 3 м и т.д. Что касается использования более древних маркирующих уровней, то многое тут зависело от характера унаследованности развития новейших структур. В районах унаследованного характера движений, начиная с раннеантропогенового времени, такое сведение было вполне возможным путем пропорционального уменьшения обнаруженных амплитуд неотектонических структур по более древним маркирующим уровням по сравнению с кровлей московского горизонта.

Данный метод составления карты неотектоники был применен при работах НИИЗарубежгеологии и ВНИГРИ на обширных территориях севера Русской плиты и дал положительные результаты. Его преимущество в том, что он представляет возможность использовать для выявления неотектоники данные о деформациях нескольких уровней. Это позволяет, с одной стороны, проводить взаимный контроль и обнаруживать участки инверсии тектонического режима в антропогене, а с другой, - получать на больших территориях количественное выражение новейших структур применительно к одному уровню в областях со сравнительно слабой обнаженностью и разбурренностью антропогеновых отложений путем замены одного уровня другим.

Несмотря на большую важность изложенного выше метода выявления деформаций маркирующих уровней, он являлся лишь одним из многих других использованных методов. Так, например, кроме выявления деформаций маркирующих уровней, широко применялись изучение мощностей и фаций антропогеновых отложений, различные геоморфологические, картографические и аэрометоды.

Увеличение мощностей и уменьшение крупности отложений (осо-

бенно для межледниковых горизонтов) давало возможность выделять районы и этапы новейших тектонических опусканий, в то время как уменьшение мощностей и погребение материала чаще всего свидетельствовало о приуроченности данного участка к сводовой части или склону поднятия. Особенно значительное и резкое укрупнение обломочного материала служило одним из важных признаков флексур, обычно связанных с бортовыми частями крупных поднятий (сводов, мегаваллов). В областях, характеризовавшихся мощностями четвертичных отложений свыше 30 м, важным признаком новейших тектонических поднятий служило выпадение нижних (окского, лихвинского и днепровского) и верхних (микулинского, нижне- и средневалдайского) горизонтов или значительное сокращение мощности последних, а также многочисленные размыты в толще антропогеновых отложений.

Изучение строения антропогеновых толщ позволило в ряде районов выделить различного рода дислокации, как тектонические, так и псевдотектонические, часть из которых была также косвенно связана с проявлением новейших движений [78].

Анализ фаций и мощностей явился необходимым при выяснении истории тектонического развития изученных областей. На территории Мезенской синеклизы Ю.Г.Наместниковым была составлена серия карт распространения и мощностей отложений по отдельным горизонтам антропогенового разреза. В результате выявилась большая сложность неотектонического развития многих районов. Значительные участки территории характеризовались прямой унаследованностью тектонических движений в течение всего антропогенового времени. Эти территории выделены и на карте новейшей тектоники в виде областей с прямой унаследованностью, начиная с неогенового и раннеантропогенового времени. В других местах имела место инверсия антропогеновых движений. Основной рубеж этой инверсии - конец среднего-начало позднего антропогена. Эти области и выделены на карте в виде участков унаследованного развития, начиная с позднеантропогенового времени.

Важным признаком позднеантропогеновых движений в пределах долин рек явилось изучение мощностей и динамических faz аллювия [41]. Особенно ярко голоценовые движения запечатлелись в фациальном составе аллювия первых надпойменных террас^{X)}. Так, в долинах р.р.Мезени и Печоры в области поднятий пойменная фация первой террасы представлена преимущественно песками и супесями, ее мощность

X) Некоторые исследователи считают этот уровень высокой поймой.

здесь уменьшается местами до 2-4 м. В районах же опусканий и перед поднятиями пойменная фация часто сложена глинами, суглинками и торфяниками: мощность ее отложений местами превышает здесь 4-5 м. Аналогичная закономерность отмечается для вторых и третьих надпойменных террас.

При изучении неотектоники довольно широко применялись различные геоморфологические методы, среди которых наиболее важными явились изучение высотной характеристики рельефа, анализ поперечного профиля долин и продольного профиля рек, изучение особенностей русловых процессов и форм, анализ конфигурации древних береговых линий, изучение перестроек речной сети, изучение мерзлотного рельефа, в отдельных случаях – анализ эоловых форм и ряд других приемов.

Изучение высотной характеристики рельефа включало выделение высоких и низких ярусов рельефа. Первые чаще всего (но не всегда, например, Малоземельский свод, XXIX) соответствовали новейшим сводам, а низкие ярусы – впадинам. При анализе продольных профилей речных долин особое внимание уделялось участкам с аномально повышенными уклонами рек, которые чаще всего были связаны с областью перехода вниз по течению от зон поднятий к опусканиям. Из числа древних береговых линий антропогенного возраста в исследуемом районе к настоящему времени особенно хорошо сохранилась береговая линия эпохи позднемикулинского морского бассейна. Ее конфигурация четко отражает характер позднеантропогеновых тектонических движений, образуя заливы в областях опусканий и значительные выступы древнего берега и острова на участках поднятий. Береговые линии аллювиально-озерных бассейнов средневалдайского (каргинского) времени часто оконтуривают районы наиболее интенсивных локальных опусканий позднеантропогенного времени.

Широкое применение картографических методов было обусловлено большой распространностью поверхностей выравнивания антропогенного возраста, частым прямым выражением новейшей тектоники в современном рельефе и наличием на данной территории густой речной сети. В составе картографических методов использовалось большое количество приемов [16]. Вначале по средне- и мелкомасштабным картам изучались общие особенности рельефа и составлялись карты морфозигис. В дальнейшем выделялись долины разных порядков и изучалось горизонтальное расчленение рельефа. Составление карт базисных поверхностей и карт остаточного рельефа позволяло изучить вертикальное расчленение территории. А.А.Ференс-Сороцким для опреде-

ления амплитуд новейших поднятий широко использовалась глубина современного эрозионного расчленения территории.

Карты осреднения базисной поверхности давали возможность составлять модели первичного рельефа для разных этапов верхнего плейстоцена. В результате вычитания значений осредненных высот из высот современной базисной поверхности оценивалась степень деформированности отдельных участков территории, а величина превышений приобретала значение амплитуд за соответствующий промежуток времени [9]. Таким способом удавалось получать данные для определения амплитуд неотектонических движений на тех участках, где отсутствуют антропогенные отложения или они недостаточно изучены. Менее уверенные изолинии амплитуд позднеантропогеновых тектонических движений проведены на карте неотектоники (см.карту) на тех участках, где имелась возможность применить лишь картографические методы неотектонических исследований.

Кроме того проводилось изучение спрямленных элементов рельефа и гидрографии, помогавшее установить положение и простиранние зон разрывных нарушений и крупных разломов, выраженных в современном рельефе.

Наконец, использование аэрометодов позволило учесть характер и степень заболоченности, наличие осушенных озер, древних долин рек, а также глубин вреза и особенностей меандрирования для суждений о характере позднеантропогеновых тектонических движений изученной территории. Для прослеживания новейших разрывных нарушений большое значение также имело выявление линейных элементов ландшафта при помощи дешифрирования аэрофотоматериалов и последующей их статистической обработки [6].

Ференс-Сорокский А. А., Сафонов П. Н. (ВНИГРИ)

НОВЕЙШАЯ ТЕКТОНИЧЕСКАЯ МОБИЛЬНОСТЬ НЕФТЕГАЗОНОСНЫХ ОБЛАСТЕЙ СЕВЕРА РУССКОЙ ПЛИТЫ

Вопрос о новейшей тектонической подвижности севера Русской платформы является достаточно важным, так как эти движения служат фактором для формирования и переформирования нефтяных и газовых залежей в нефтегазоносных провинциях.

Настоящая работа написана на основании многолетних полевых и камеральных исследований авторов, проведенных во ВНИГРИ начиная с 1959 года.

Характерным для геологической истории рассматриваемого региона является различное высотное положение уровня моря в течение неоген-антропогенного времени [26, 39, 63].

Относительно главных факторов, вызывающих колебание уровня моря, существует несколько точек зрения. Одни исследователи (Яковлев С.А., Линберг Г.У., Зенкович В.П., Кузин И.А. и др.) отдают предпочтение эвстатике, другие (Былинский Е.Н. и др.) объясняют колебание уровня мирового океана гляциоизостазией.

В настоящей работе мы не останавливаемся на критическом рассмотрении этих взглядов. Авторы придерживаются в этом вопросе наиболее распространенного мнения [3, 8, 39, 51, 56], согласно которому основной причиной изменения положения уровня моря являются региональные (колебательные) тектонические движения.

Несомненно, что роль гляциоизостазии, гидроизостазии, эвстатики при этом также велика. Основываясь на исследованиях В.А. Ставаса [72], можно заключить, что, по-видимому, на севере Русской плиты от эвстатического фактора зависит около 30% высотных изменений уровня моря.

Какова же история региональных колебательных тектонических движений и связанных с ними изменений уровня моря в неоген-антропогеновое время?

В палеогене почти вся территория севера платформы, включая Балтийский щит и примыкающий к ней Уральский кряж, представляла собой пленепленизированную страну с активными процессами химического выветривания.

Об этом факте свидетельствуют остатки кор выветривания предположительно олигоцен-миоценового возраста, региотрируемые на Западном Урале [87] и Балтийском щите [58, 89]. Достоверных признаков палеогеновых осадков, по материалам исследований ВНИГРИ, на территории Мезенской и Печорской синеклиз, не найдено, хотя рядом исследователей [5, 7] эти отложения и выделяются.

В южной части Полярного Урала отмечены аллювиальные осадки палеогенового возраста.

Вся рассматриваемая территория в это время была относительно стабильна. Отдельные приподнятые ее районы представляют собой области сноса (Кольский п-ов, большая часть Полярного Урала).

Начало интенсивных поднятий можно отнести к середине неогена, когда оживают древние разломы и начинаются блоково-глыбовые подвижки на Балтийском щите, Уральском кряже, Тимане и в пределах синеклиз.

Блоково-глыбовые подвижки, предшествующие отчетливой дифференциации движений в последующее время, предопределили угловатые плановые очертания поднятий и впадин, антеклиз, гряд (Тиман) и значительных участков синеклиз.

Блоковый характер движений повлиял на основные контуры структур, конфигурацию береговых линий (горло Белого моря, Русский берег в Печорском море и др.) и направление течения основных рек. На территории синеклиз формируются переуглубленные долины, приуроченные к тектонически ослабленным зонам.

Подошва антропогенных отложений на территории синеклиз в настоящее время находится на различных абсолютных отметках от -137-170 м до +200 и более метров. Амплитуда деформации донеогеновой поверхности, таким образом, достигает около 370 м. Конечно, нельзя связывать этот факт только с неогеновыми восходящими движениями. Такая амплитуда обусловлена и последующими (особенно в позднем антропогене) положительными тектоническими деформациями. Но бесспорно, что неогеновое дифференцированное поднятие было значительным.

По данным И.Л. Кузина [40, 88], уровень моря к концу неогена был на 200 м ниже современного. Об этом можно судить по положению тальвегов переуглубленных долин, которые в настоящее время находятся на abs. отметках -150 - 200 м, наличию на современном шельфе затопленных древних долин и абразионного уступа на глубине в 200 м.

В пределах Западно-Уральской ступени в это время активно эро-

дируются миоценовые террасы; на Полярном Урале и по его склонам идут глыбово-блоковые подвижки и формирование лестницы поверхности выравнивания (остатков палеогенового ленеплена).

Балтийский щит и большая часть севера Русской плиты представляют собой область сноса. Доказательство этому – почти полное отсутствие ранне- и позднеогеновых осадков на площади Мезенской и Печорской синеклизы. (Проблематичные отложения этого возраста выделяются лишь в переуглубленных долинах и глубоких впадинах [5,7].

Б.Л.Афанасьев [3] на территории севера Русской плиты выделяет три последовательно наложенных друг на друга структурных плана: древний – Тиманский (салайский), Уральский (герцинский) и верхнемеловой (послесантонский). С послесантонскими тектоническими движениями волнового характера связано формирование в Печорской синеклизе широтных водоразделов различного порядка.

По-видимому, все три плана проявляются и в новейших движениях, но с различной интенсивностью и дифференцированностью в различных районах всей рассматриваемой территории.

С концом неогенового времени связано начало перестройки структурного древнего плана по Уральскому (герцинскому) плану. Особенно отчетливо это выразилось в центральной и северо-западной части Печорской синеклизы. Здесь наблюдается несовпадение древнего тиманского плана в палеозойском осадочном чехле с новейшим планом, который контролирует направление береговых линий, долин, целого ряда рек и отрезков р.Печоры, а также отдельных структур (Большеземельский мегавал и др.). Все упомянутые структурные и геоморфологические элементы имеют северо-восточное направление. Вероятнее всего, этот факт объясняется влиянием на Печорскую синеклизу горообразовательных процессов в пределах Уральского кряжа, при наличии "жесткой рамы" Тиман-Урал.

В Мезенской синеклизе, наряду с обновлением структур тиманского (салайского) простирания, образуются структуры и уральского (герцинского) направления, но они имеют подчиненное значение. Северо-восточному простираанию подчинены ряд локальных структур и отдельные дизъюнктивы (рис.1).

Возникшие в неогене в силу различной интенсивности и дифференцированности колебательных движений крупные структуры продол- жают унаследованно развиваться и в антропогеновое время. Ими контролируются осадконакопление и основные морфологические черты рельефа севера Русской плиты.

В последнее десятилетие появились многочисленные фактиче-

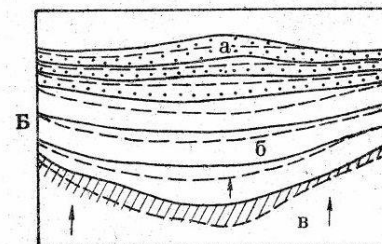
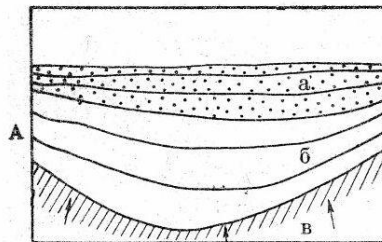


Рис.1. Принципиальная схема формирования инверсионного поднятия в мезо-кайнозойских отложениях в пределах впадин и прогибов фундамента (составил А. А. Ференс-Сороцкий):

А – до начала восходящего движения,
Б – после восходящего движения;

а – мезо-кайнозойские отложения,

б – палеозойские породы,

в – фундамент,

— положение до начала поднятия,

↑ – направление поднятия.

ские данные, позволяющие отрицать покровный характер оледенения на больших площадях Мезенской и Печорской синеклизы, а также части Тимана и Пай-Хоя [4,5,7,14,16,17,18,19,25,26,28,32,35,45,49,63,73].

Кайнозойские образования на большей части севера Русской платформы представляют собой генетически связанные и непрерывные в своем развитии геологические тела, образованные ритмичным чередованием терригенных осадков шельфа полярных бассейнов и подчиненных им континентальных образований.

Мощность антропогеновых осадков в основном ледниково-морского, ледово-морского и морского происхождения достигает 250–300 м в Печорской синеклизе и более 120 м – в Мезенской синеклизе.

Следовательно, в антропогене северная часть Русской плиты испытала неоднократные колебательные дифференцированные движения, с преобладанием опусканий, которыми обусловлены трансгрессии и регрессии Полярного бассейна.

В осадках антропогена рассматриваемого региона хорошо прослеживаются снизу вверх по разрезу два трансгрессивно-регressive комплекса: нижний – позднеплиоценовый – раннеантропогеновый и верхний – средне-позднеантропогеновый.

Комплексы представлены ледниково-морскими, ледово-морскими, морскими, субконтинентальными и континентальными фаунами. Выделены

они впервые в Печорской синеклизе и получили соответственно названия: малоземельский и большеземельский. В Мезенской синеклизе им соответствуют осадки лихвинской, днепровской и одицковской свит (малоземельский комплекс) и отложения московского, микулинского и валдайского горизонтов (большеземельский комплекс).

Образование вышеназванных комплексов связывается нами с двумя циклами колебательных движений, вызвавших Северную, а затем Бореальную трансгрессии.

Четкая ритмичность антропогеновых отложений является вещественным выражением новейших тектонических колебательных движений [54, 67, 84]. Нами выделяются циклы (ритмы) различных порядков. Циклы первого порядка – малоземельский и большеземельский, разделенные континентальным перерывом, могут осложняться на крупных поднятиях циклами второго порядка, а на локальных поднятиях и ритмами более мелкого порядка. Напротив, во впадинах границы ритмов (циклов) неясные, что часто позволяет говорить об их унаследованном погружении в течение всего антропогена.

В начале антропогена в первую очередь испытали погружение северная часть Печорской и северо-восточные участки Мезенской синеклизы. Это заключение можно сделать по распространению осадков нижнего комплекса. Мощности отложений, связанных с этим погружением, достигают в Мезенской синеклизе 40–50 м, а в Печорской – 100–150 м. Южные районы обеих синеклиз отставали в движениях отрицательного знака, а Тиманская гряда испытывала незначительные опускания, сильно дифференцированные и малой амплитуды.

Осадки этого возраста на Тимане нигде не встречаются выше 80–100 м.

С плиоцен-раннеантропогенным опусканием связано окончательное формирование всех крупных прогибов на границе Русской плиты и Балтийского щита (Беломорская синеклиза). По-видимому, это относится и к горлу Белого моря, Онего-Белозерскому прогибу и другим крупным депрессиям.

В конце раннего антропогена начинается постепенное общее поднятие территории плиты. Нисходящие движения или отставание в движении положительного знака отмечается лишь в северных частях Мезенской и Печорской синеклизы. Большая часть первой представляет собой область сноса, так как на ее обширных площадах почти отсутствуют отложения лихвинской, днепровской и одицковской свит. Вторая является равниной, периодически заливаемой морем, над которой возвышаются острова размываемой суши (гр. Чернышева и др.), терри-

ториально совпадающие с поднятиями, наметившимися в неогене. На площади крупных древних депрессий остаются обширные заливы или отшлифованные лагуны (Кытанская лагуна, Усть-Печорский залив, Верхнепечорская лагуна, Сульский залив).

С концом раннего антропогена связывается, по-видимому, локализация Сафоновского прогиба и Вымско-Вычегодской впадины.

Береговая линия в момент наибольшей регрессии находилась на современных абс. отметках +15 + 20 м.

Начало среднего антропогена характеризуется сменой преимущественных поднятий дифференцированным погружением всей территории Русской плиты, части Балтийского щита и Пай-Хоя и развитием Бореальной трансгрессии моря. Судя по мощностям осадков этого возраста, можно предположить, что абсолютная максимальная амплитуда колебательных движений, с общей тенденцией к опусканию, достигала 200 м. Развитие трансгрессии совпадало с наибольшим (судя по малинологическим данным) в антропогена похолоданием климата.

На территории Кольской антиклизы, склоне Балтийского щита, Урале, части Тимана и в других местах началось оледенение. В ряде районов оно имело локальный характер. Все это, естественно, сказалось на характере и фациальном составе рыхлых осадков.

В этот период наметилась четкая дифференцированность колебательного движения. Она выразилась в образовании в осадках сложной мелкой ритмичности. Сложная ритмичность отложений верхнего, большеземельского комплекса, как правило, наблюдается в краевых частях синеклизы. Этот факт, по-видимому, обусловлен пульсационным характером тектонических движений в пределах ряда морфоструктур.

Поздний антропоген характеризуется общим прерывистым поднятием всей рассматриваемой территории.

Поднятие шло синхронно с регрессией и в большинстве мест явилось причиной последней. Вероятно, что активное поднятие территории в позднем антропогене связано с действием гляцио- и гидроизостазий. Прерывистая регрессия Бореального бассейна обусловила формирование ярусного рельефа в пределах синеклизы.

Если в первую фазу регрессии преобладали области опускания, то в заключительную – значительные площади занимают поднятия. Области опускания, особенно в Печорской синеклизе, отмирают. В это же время происходит активное перераспределение стока.

На площади Мезенской синеклизы поднятие в течение позднего антропогена характеризуются меньшими амплитудами. Территориально здесь преобладают области опускания.

В пределах севера Московской синеклизы и севера Волго-Уральской антиклизы поднятие в это время происходит очень бурно. Амплитуды его превосходят 100 м.

На площади Балтийского щита наблюдается активное обновление тектонических нарушений и интенсивные блоковые подвижки. Абсолютные амплитуды поднятий достигают 120 м.

На Тиманской гряде, наряду с общим сводовым поднятием, отмечается оживление глубинных разломов и блоковые воздымания Четла-са, Чайцина камня, Оч- и Джеким-Пармы и других структур.

Аналогичные движения, имеющие блоково-глыбовый характер, имели место на Полярном Урале и Пай-Хое. На последнем морские осадки среднеантропогенного возраста в настоящее время приподняты до абсолютных отметок 400–450 м.

В течение средне- и позднеантропогенного времени характер тектонических движений не оставался постоянно подчиненным предыдущим циклам.

В позднем антропогене наметились признаки интенсивного широтного воздымания всего севера Русской плиты и Пай-Хоя.

Особенно хорошо это регистрируется в пределах севера Печорской синеклизы. Здесь в настоящее время осадки среднего антропогена, представленные морскими фациами, выведены на поверхность и находятся на больших абсолютных отметках, чем в южных районах. Кроме этого, на севере в настоящее время наблюдается поднятие шельфа Печорского моря, серия древних береговых валов и асимметрия широтных водоразделов.

Позднеантропогеновое широтное поднятие, имеющее волновой характер, отмечается и в центральных районах плиты, но выражено оно уже и регистрируется по второстепенным признакам (например, разломы широтного простирания).

Поднятие северных площадей Печорской синеклизы при относительном отставании в движении южных районов позволяет, по-видимому, говорить об асимметричном перегибе этой структуры в конце позднего антропогена.

Упомянутое молодое воздымание пока не нашло еще полного отражения по глубоким горизонтам осадочного чехла и поверхности фундамента (например, Хорейверская впадина по фундаменту).

По-видимому, здесь имеет место неполная тектоническая инверсия отрицательных структур в силу очень молодого поднятия (рис.2). Эти широтные волновые движения могут рассматриваться как результат дифференциации колебательных движений более высокого порядка,

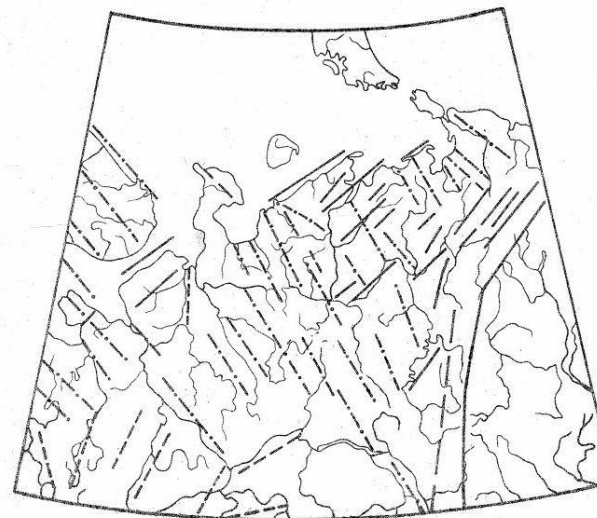


Рис. 2. Схема осей крупнейших морфоструктур севера Русской платформы (составил А. А. Ференс-Соронский, 1970):

— кольско-тиманские морфоструктуры,

— уральские морфоструктуры,

— морфоструктуры в пределах Московской синеклизы.

чем колебательные движения, вызванные процессами обновления гор Уральского кряжа.

Дизъюнктивные (блоковые) движения наблюдаются как в пределах кряжей, гряд и антиклиз, так и в краевых районах синеклизы, примыкающих к упомянутым крупным морфоструктурам. В центральных районах синеклизы дизъюнктивы обычно смещены по отношению к таковым в глубоких горизонтах, но в большинстве случаев новейшие разломы прямо или косвенно (например, "операют" их) связаны с глубинными нарушениями.

Такова в общих чертах мобильность (подвижность) севера Русской платформы в течение неоген-антропогенного времени.

На основании характера рассмотренных тектонических движений, по-видимому, можно выделять региональные (колебательные) движения, локальные (структурообразующие) движения, дизъюнктивные (блоковые) движения и волновые движения.

На основании анализа многочисленного материала о мощностях,

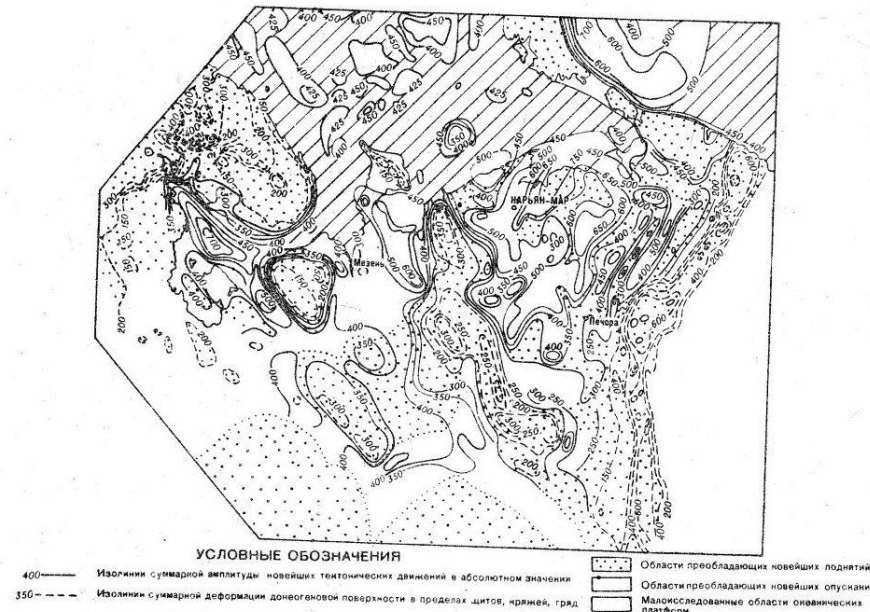


Рис. 3. Карта новейшей тектонической мобильности (подвижности) севера Русской платформы (составили И. Н. Сафонов, А. Д. Лукашов, А. А. Ференс-Сорокский, 1970)

ритмичности и фациальном составе антропогеновых осадков построена карта мобильности (подвижности) севера Русской платформы и акватории Баренцева моря за послемиоценовое время (рис.3).

На большей части карты отражены абсолютные величины суммарных амплитуд (т.е. сумма восходящих и нисходящих движений) за новейший тектонический этап.

В пределах синеклизы основными данными для вычисления суммарных амплитуд колебательных движений послужили: гипсометрическая карта современного рельефа без учета эрозионного расчленения, карта поверхности Палеогена по отношению к современному уровню моря, который близок к предмииоценовому. Использованы также карты современного положения подошвы плиоцен-антропогеновых осадков и все имеющиеся данные о распределении впадинных и сводовых разрезов [26, 49, 79].

Определение абсолютных величин суммарных амплитуд в пределах Балтийского щита, Тимана и Урала, где практически невелик пласт рыхлых антропогеновых осадков, и трудно определить амплитуду нисходящих движений и влияние денудации, проявившейся со значительной силой, проводилось путем анализа "тектонического" рель-

ефа по А.Н.Ласточкину [42] и предмииоценового рельефа. По сути, в указанных регионах определялась деформация донеогеновой поверхности по Н.И.Николаеву и др. [55].

Следует подчеркнуть, что на территории синеклизы суммарные амплитуды завышены из-за неточного учета диагенетического эффекта, эвстатики, а частично и денудации. Тем не менее, все эти ошибки имеют систематический характер.

В результате анализа карты можно хотя бы качественно, но четко дифференцированно выявить площади с различной новейшей тектонической мобильностью на территории севера Русской платформы и акватории Баренцева моря.

На территории Мезенской синеклизы амплитуды колебательных движений в среднем равны 300–350 м. На границе с Московской синеклизы они несколько меньше. В Предтиманском районе значение амплитуд составляет 450–500 м, а на локальных участках – до 600 м. В Печорской синеклизе суммарные амплитуды послемиоценовых движений на севере достигают 500–750 м, а на юге не превышают 250–350 м. В районе р.р. Кулой и Онега упомянутые амплитуды в среднем равны 400–500 м. На площади шельфа Баренцева моря, в отдельных известных впадинах условные амплитуды сравнительно невелики и составляют 400–450 м. Однако, в наиболее погруженных частях шельфа можно предполагать их увеличение до 750 м.

Это предположение основывается на том, что, например, в Кандалакшской губе условная амплитуда суммарного колебательного движения достигает 500–750 м.

Суммарные амплитуды деформации донеогеновой поверхности в пределах Уральского кряжа и Балтийского щита различны – от 200 до 1000 м. Эти регионы наиболее мобильны в новейшее время.

В результате анализа изложенных данных, касающихся мобильности севера Русской платформы, можно сделать следующие выводы (см. рис.3).

1. На территории севера Русской платформы в течение новейшего времени наиболее мобилен Балтийский щит.

2. На площади севера Русской плиты наибольшей новейшей подвижностью характеризуется Печорская синеклиза. Это связано, вероятно, с относительной молодостью ее фундамента и его мобильностью. Большую роль, по нашему мнению, в подвижности синеклизы, по-видимому, сыграло наличие "жесткой рамы", (Тиман-Урал), которая в ряде случаев обусловливала и контролировала тектонические движения.

3. Мезенская синеклиза в новейшее время менее мобильна. Это

обусловлено наличием на площади синеклизы древнего, консолидированного и менее подвижного фундамента.

4. Север обеих синеклизы более мобилен в новейшее время, чем южные районы, что связано с широтными колебательно-волновыми движениями, особенно активными в позднеантропогеновое время.

Можно предположить, что чем мобильнее площадь в новейшее время, тем более трещиноваты в этих районах породы палеозойского осадочного чехла и фундамента.

Большая мобильность площади, с преобладанием восходящих движений, очевидно, отрицательно сказывается на сохранении нефтяных залежей, сформированных ранее, и способствует их переформированию.

Большая же мобильность региона, с преобладанием нисходящих движений, способствует сохранению нефтяных залежей и миграции углеводородов в эти области.

УДК 551.248.2:550.8:553.98 (470.11)

Былинский Е.Н., Наместников Ю.Г. (НИЛЗарубежгеология),
Башилов В.И. (ВАГТ)

НОВЕЙШАЯ ТЕКТОНИКА МЕЗЕНСКОЙ СИНЕКЛИЗЫ В СВЯЗИ С ПОИСКОМ НЕФТЕГАЗОНОСНЫХ СТРУКТУР

Рассматриваемая территория расположена в области прогибания между Балтийским щитом и Тиманским кряжем. В настоящее время по вопросу о тектонической природе и положении этой области в системе структурных элементов севера Русской платформы существуют различные точки зрения. Одни исследователи не придают ей самостоятельного значения и включают либо в состав Московской синеклизы [20, 46, 70, 90], либо рассматривают как склон Балтийского щита, сопрягающийся на востоке области с Предтиманским прогибом [73]. Другая группа исследователей выделяет указанную область в качестве самостоятельной впадины [2, 13, 28, 37].

Авторы настоящей работы разделяют мнение последней группы исследователей, выделяющих в пределах данной территории самостоятельный элемент Русской платформы – Мезенскую синеклизу. Последняя обособляется как по возрасту консолидации фундамента и особенностям формирования осадочного чехла, так и является хорошо выраженной в рельфе. С запада синеклиза ограничена Архангельским выступом и его юго-восточным обрамлением, на юге – Сысольским сводом, а на востоке – Тиманским кряжем.

На территории рассматриваемой синеклизы прослеживается моноклинальное падение и увеличение мощности палеозойских и мезозойских пород в северо-восточном направлении (от склона Балтийского щита к Предтиманскому мегаэрогибу). Возрастание мощности антропогенных осадков в том же направлении позволяет предполагать ее унаследованное прогибание и в новейший тектонический этап.

Унаследованное развитие большей части Мезенской синеклизы в новейшее время сказалось на простирации основных элементов рельефа и морфоструктур. В общем плане крупные новейшие структуры Мезенской синеклизы имеют северо-западное и меридиональное простирания (см. карту-вклейку) в соответствии с направлением главных структурных элементов осадочного чехла и фундамента. В то же время в пределах рассматриваемой территории отмечаются менее крупные

структуры (второго и третьего порядков), которые имеют черты новообразованности и связаны только с новейшим тектоническим этапом.

Основными новейшими структурными элементами синеклизы являются: Воже-Лачский прогиб (депрессия), Средне-Вагский мегавал, Северо-Двинский мегапрогиб, Вашка-Мезенский свод, Кулой-Пинежский мегапрогиб, Нижне-Мезенская ступень, Сафоновский (Предтиманский) мегапрогиб, Вымско-Вычегодская впадина.

Воже-Лачский прогиб, расположенный на границе с Балтийским щитом, вытянут в меридиональном направлении. Прогиб отчетливо выражен в современном рельфе и разрезе антропогенных осадков. Целый ряд геолого-геоморфологических признаков свидетельствует об унаследованном его погружении в течение новейшего времени. В частности, на это указывает присутствие реликтовых озер Воже и Лача. Прогиб ограничен разломами, выраженными в рельфе в виде линейных уступов и спрямленных долин рек.

По поверхности фундамента прогибу соответствует линейно вытянутая депрессия с глубинами до 3-4 км [34, 73], оконтуренная разломами. Анализ гравитационных и магнитных^{*} данных показал, что площади прогиба соответствуют линейно вытянутые положительные гравитационная и магнитная аномалии.

Средне-Вагский мегавал, являющийся продолжением поднятия Ветренного пояса, хорошо выражен в рельфе. Небольшими седловинами он разделяется на три крупных поднятия второго порядка: Мелоское, Бестужевское и Устьевское. В пределах мегавала сокращена общая мощность антропогенных осадков. Амплитуда позднеантропогенного воздымания, определенная по морфометрическим показателям, достигает 60-80 м. Судя по данным анализа литологии и мощностей антропогенных осадков, можно предположить, что мегавал в целом испытывал тенденцию к поднятию, начиная со среднеантропогенного времени.

По поверхности фундамента неотектонической структуре соответствует крупный вал, глубины до которого с северо-запада на юго-восток изменяются от 0,5 до 3 км. При этом ось новейшей структуры несколько смещена на юго-запад по сравнению со структурой фундамента. Вельской новейшей котловине, примыкающей к мегавалу с юго-запада, соответствует крупная замкнутая котловина в фундаменте с глубинами до 3 км. Новейшие дизъюнктивы, имеющие в основном северо-западное простирание, являются продолжением разломов Ветренного пояса и совпадают с нарушениями, фиксируемыми в осадочном чехле.

^{*} Анализ гравитационных и магнитных данных и рельефа фундамента проведен А.А.Ференс-Сороцким (ВНИГРИ).

Мегавалу в целом соответствует отрицательное магнитное поле, в то же время отдельные поднятия по площади совпадают с положительными аномалиями. Всем неотектоническим поднятиям соответствуют положительные аномалии силы тяжести. Опускания в пределах структуры и впадины, оконтуривающие мегавал, совпадают с отрицательными гравитационными аномалиями.

Северодвинский мегапрогиб, расположенный в бассейне среднего и нижнего течения р.Северной Двины, имеет северо-западное простирание. Мощность антропогенных осадков в пределах мегапрогиба на отдельных участках превышает 100 метров. Их подошва по сравнению с соседними участками значительно опущена. Борта структуры осложнены разломами, которые трассируются по линейным структурно-абразионным уступам, зонам дислокаций антропогенных осадков и градиентам гравитационных полей. Последнее позволяет предположить, что дизъюнктивы имеют глубокое заложение. В осевой части структуры обнаружен ряд малоамплитудных новейших локальных поднятий.

По поверхности фундамента мегапрогибу соответствуют три крупные замкнутые впадины с глубинами от 2 до 3 км. В центре мегапрогиба отмечается поднятие поверхности фундамента амплитудой до 500 м (глубина уменьшается до 1,5 км). По-видимому, здесь имеет место инверсия тектонического режима в новейшее время. Отдельным новейшим локальным поднятием на площади этой отрицательной новейшей структуры соответствуют небольшие положительные аномалии силы тяжести. На большей части территории мегапрогиба наблюдается положительное магнитное поле, среди которого расположены более ограниченные по площади отрицательные линейные аномалии. По северо-восточному борту мегапрогиба отмечены высокие градиенты гравитационного поля, совпадающие по направлению с новейшими тектоническими нарушениями.

Амплитуда позднеантропогенного опускания мегапрогиба, определенная по абсолютным высотам кровли микулинских морских отложений, достигает в среднем около 20 м.

Верхне-Пинежский мегавал, примыкающий к Северодвинскому мегапрогибу с северо-востока, имеет общее северо-западное простирание и хорошо выражен в рельфе в виде серии платообразных, расчлененных эрозией возвышенностей. Границы структуры - четкие, отражены в рельфе в виде линейных абразионных уступов и спрямленных долин рек. Центральная часть мегавала представляет собой относительный прогиб, оконтуренный с северо-

запада, юго-запада и северо-востока крупными поднятиями. Амплитуда позднеантропогенного воздымания последних достигает 60 метров. В пределах структуры имеются четкие геоморфологические признаки поднятия. Мощность антропогенных осадков в ряде мест мегавала сокращена до 30–50 м.

Северо-западная и юго-юго-западная части структуры совпадают с поднятиями фундамента, глубины до поверхности которого сокращаются до 1–1,5 км [34]. Локальным новейшим поднятием на юго-восточной и северо-западной оконечностях мегавала соответствуют аналогичные, но меньшего размера поднятие поверхности фундамента. Отмеченный факт позволяет предполагать унаследованное развитие большей части структуры в течение новейшего времени.

В южной части мегавала обычно наблюдается соответствие между локальными новейшими поднятиями и положительными аномалиями силы тяжести. В магнитном поле на площади структуры наблюдается четкая обратная закономерность. Весь мегавал (наиболее высокоамплитудные структуры) совпадает со спокойным отрицательным полем, тогда как погруженной центральной части соответствует положительное магнитное поле. Следует подчеркнуть, что границы мегавала и относительного прогиба в его пределах чаще всего совпадают с границами магнитных полей различного знака. Отмеченный факт, вероятно, позволяет предположить наличие на глубине крупного блока плотных немагнитных пород, прорванных основной интрузией. Возможно, что в новейшее время упомянутый блок испытал восходящее движение, которое нашло свое отражение в рельфе рассматриваемой территории.

Вашка-Мезенский свод расположен в центральной части Мезенской синеклизы. Выделяется он в основном по сокращенной мощности среднеантропогенных отложений (обычно не более 50 м), выклиниванию к своду осадков наиболее древних горизонтов (лихвинского и днепровского) и повышенному залеганию кровли пород дочеревертикального возраста. Характерно, что в пределах свода наблюдается не только сокращение мощностей, но и увеличение грубозернистости осадков, ухудшение их отсортированности. Амплитуда позднеантропогенного поднятия достигает 60 м. Сравнительно небольшим прогибом, открывающимся на северо-запад, свод подразделяется на два вала: Южчинский и Вашкинский.

Восточный и южной частям свода, примерно отвечающим Вашкинскому валу, по поверхности фундамента соответствует выступ и локальное поднятие.

Центральная и северо-западная части свода имеют со структу-

рой фундамента обратное соотношение. Разделяющему валы новейшему прогибу отвечает узкое поднятие в поверхности фундамента. Таким образом, в пределах рассматриваемого свода выделяются унаследованные и новообразованные (инверсионные) неотектонические структуры.

В центральной части Вашка-Мезенского свода отмечается прямое соответствие локальных новейших поднятий и положительных аномалий силы тяжести. В северо-восточной части – обратная связь между новейшими структурами и гравитационными аномалиями. Поднятия соответствуют минимумы силы тяжести или высокие градиенты гравитационного поля. Аналогичные закономерности в разных частях свода прослеживаются и при анализе магнитных полей. Юго-западным участкам соответствует положительное магнитное поле, а северному – отрицательное. Магнитные аномалии имеют в основном северо-западные простирации.

Кулой-Пинежский мегапрогиб, с востока ограничивающий Кулойский свод, хорошо выражен в современном рельефе. Он вытянут в субмеридиональном направлении. Поверхность в пределах мегапрогиба плоская, сильно заболоченная. Гидросети присущи отчетливые геоморфологические признаки молодого опускания. Мегапрогиб ограничен абразионными и структурно-абразионными уступами. В пределах мегапрогиба наблюдается резко пониженное положение кровли микулинского и московского горизонтов. Величина отрицательной деформации подошвы микулинского горизонта достигает 20 и более метров.

По поверхности фундамента северной части мегапрогиба соответствует поднятие с амплитудой до 1 км. Центральная, наиболее погруженная часть (Карьепольская котловина) – имеет прямое отражение в фундаменте, глубины до которого здесь достигают 3 км. Южной части мегапрогиба соответствует моноклинальное падение поверхности фундамента, погружающегося на восток-северо-восток. Судя по вышеизложенному, центральная часть мегапрогиба в новейшее время унаследованно погружалась, в то время как северная и южная части испытали опускание лишь в позднем антропогене.

В гравитационном поле наиболее погруженными частями структуры соответствуют отрицательные аномалии. Локальные поднятия на юге прогиба совпадают с положительными аномалиями силы тяжести. Новейшему мегапрогибу, за исключением его центральной, наиболее погруженной части, в целом соответствуют отрицательное и нейтральное магнитные поля. Центральная Карьепольская котловина пересечена крупной положительной магнитной аномалией с северо-запада на юго-восток.

Нижне-Мезенская ступень на западе примыкает к Кулой-Пинежскому мегапротибу, а на юго-востоке - к Вашка-Мезенскому своду. От последнего она отделена рядом структурно-абразионных уступов. В пределах ступени отмечаются яркие геолого-геоморфологические показатели отдельных новейших поднятий, почти таких же интенсивных, как на площади Вашка-Мезенского свода. Резер антропогенных осадков на них заметно сокращен в мощности. В западной части указанной структуры нередко наблюдается сокращение мощности отложений микулинского и московского горизонтов до 10 м, а иногда и полное их выклинивание. В пределах рассматриваемой площади выделяются три структуры второго порядка, имеющие северо-западное простирание: Ежугинский вал, Лешуконский прогиб и Моеевский вал.

По площади почти всему Ежугинскому валу соответствуют наиболее погруженные (до 3 км) части Лешуконского прогиба. Локальные новейшие поднятия в северной части вала совпадают с выступами фундамента. Лешуконский новейший прогиб, кроме северной своей оконечности, имеет прямое отражение в фундаменте. Локальному новейшему опусканию на севере этой структуры соответствует наибольший выступ фундамента. В целом прогиб является унаследованным, но в новейшем структурном плане сильно сокращена его площадь. Моеевский вал, несмотря на выходы на поверхность в его пределах пород пермского возраста, по отношению к фундаменту - структура инверсионная. В фундаменте валу соответствует прогиб. Лишь на севере этой структуры наблюдается совпадение площадей новейших локальных поднятий и выступов фундамента.

Большинство глубинных разломов, прослеживающихся в пределах ступени, хорошо отражаются в антропогенных отложениях и современном рельфе.

В пределах рассматриваемой территории четкой закономерности между новейшими морфоструктурами и аномалиями гравитационного поля не наблюдается. Широтному Мезенскому максимуму соответствуют линейные новейшие поднятия субмеридионального простирания. В то же время располагающиеся по периферии упомянутого максимума локальные осложнения поля силы тяжести находятся практически в прямом соответствии с морфоструктурами.

Магнитное поле в пределах Нижне-Мезенской ступени имеет различный знак. Западной части соответствует отрицательное поле; району, где расположен Лешуконский прогиб, - линейные положительные аномалии. Отдельные новейшие поднятия совпадают по площади с ло-

кальными положительными магнитными аномалиями.

Сафоновский (Предтиманский) мегапротиб, расположенный на северо-востоке синеклизы, отчетливо прослеживается вдоль Тимана. Он имеет северо-западное простирание, раскрываясь в акваторию Чешской губы. Уменьшение ширины прогиба на юге, по-видимому, обусловлено влиянием Четласского камня и Обдырско-Синдорского вала Тиманской гряды, которые образуют значительный выступ к западу. Сафоновский мегапротиб выделяется по сравнительно повышенной мощности среднеантропогенных отложений и пониженному положению кровли доантропогенных пород, которые иногда опускаются ниже нулевой отметки. Осадки, слагающие прогиб, характеризуются большим содержанием в них глинистых и алевритовых частиц и лучшей сортированностью.

В пределах мегапротиба выделяются структуры второго порядка: Чемовский прогиб, Пешская, Усть-Омовская, Верхне-Пезовская котловины и разделяющие их Средне-Пезовский и Рочугский валы. В пределах упомянутых отрицательных структур отмечаются геолого-геоморфологические признаки унаследованного новейшего опускания. На валах регистрируются отчетливые геоморфологические показатели молодого поднятия.

Сафоновский мегапротиб выполнен преимущественно морскими антропогенными осадками мощностью более 100 м. Во впадинах мощность антропогенных отложений резко возрастает, а на валах - сокращается (в среднем до 30-40 м).

В ряде мест Рочугского и Средне-Пезовского валов на поверхность выходят мезозойские образования. По их бортам отмечаются флексурообразные перегибы различных горизонтов антропогенной толщи. На сводах положительных структур наблюдается четкая ритмичность осадков и погребение рыхлого материала.

В целом в пределах Сафоновского мегапротиба отмечается прямое отражение морфоструктур по поверхности фундамента. Новейшим впадинам соответствуют погружения фундамента, валам и локальным поднятиям (за исключением северной части Рочугской структуры) - выступы (например, Тылугское поднятие фундамента). В большинстве случаев отмечаемые в пределах мегапротиба глубинные разломы прослеживаются в антропогеновом осадочном чехле и современном рельфе. Следует отметить, что многие локальные морфоструктуры расположены над глубинными разломами. Возможно, их активность в новейшее время обусловлена подвижками по глубинным нарушениям.

В гравитационном поле северной части Сафоновского мегапроти-

ба соответствуют отрицательные аномалии силы тяжести. Северная часть Рочугского вала совпадает с положительной гравитационной аномалией, а центральная - с отрицательной. В южной половине мегапрогиба площадям минимумов силы тяжести соответствуют новейшие поднятия, а относительно небольшие прогибы расположены над гравитационными ступенями.

В пределах Сафоновского мегапрогиба прослеживается положительное магнитное поле, которое осложнено линейными отрицательными аномалиями. Последние в ряде мест совпадают с новейшими малоамплитудными поднятиями.

Вымско-Вычегодская впадина, расположенная в юго-западном Притиманье, имеет изометричные плановые очертания. Морфологически впадина выражена нечетко. Она распадается на ряд отрицательных структур второго порядка, разделенных новообразованными поднятиями. Общая мощность антропогеновых осадков в пределах впадины превышает 120 м. Минимальные мощности отложений наблюдаются в пределах новейших поднятий.

В отдельных прогибах и котловинах Вымско-Вычегодской впадины отмечаются многочисленные геоморфологические показатели молодого погружения. На поднятиях же наблюдаются признаки интенсивного воздымания. Здесь регистрируется относительное сокращение мощности антропогеновых отложений. В пределах впадины выделяются следующие структуры второго порядка: Яренский, Микульский, Вымский, Межадорский прогибы, Лофтугская котловина, Уктымское, Верхне-Пожегское и Верхне-Вишерское поднятие.

Вымско-Вычегодская впадина по площади совпадает с Яренским и Вычегодским прогибами, выделяемыми по поверхности фундамента. Впадина по поверхности палеозойских пород почти полностью совпадает с площадями новейших опусканий. Все это позволяет предположить унаследованное развитие новейшей структуры в целом. Поднятия в пределах отдельных прогибов и на всей площади впадины, по-видимому, новообразованные. Основываясь на возрасте деформированных маркирующих уровней, можно предположить, что интенсивное поднятие отдельных структур на территории впадины началось с конца среднеантропогенного времени.

Западной части рассматриваемой впадины соответствует отрицательное и нейтральное магнитные поля. На территории впадины наблюдается довольно четкое соответствие между гравитационными аномалиями и новейшими морфоструктурами. На площади молодого Яренского прогиба и Лофтугской котловины отмечаются отрицательные

аномалии силы тяжести. Площадям ряда локальных поднятий (Уктымская структура и др.) соответствуют положительные гравитационные аномалии.

Таким образом, на территории Мезенской синеклизы выделяются как унаследованные, так и новообразованные новейшие морфоструктуры. Все крупные (первого порядка) морфоструктуры прямо или косвенно находят свое отражение в поверхности фундамента. Целый ряд локальных новейших структур также совпадает с выступами фундамента. Новообразованные структуры тяготеют к наиболее погруженным площадям синеклизы и в ряде случаев расположены над глубинными разломами. Образование этих новейших структур связано, по-видимому, с деформациями в осадочном чехле, которые вызваны движениями блоков фундамента по разломам.

На отдельных морфоструктурах (Сафоновский мегапрогиб, Вымско-Вычегодская впадина, Верхне-Пинежский мегавал) наблюдается прямая или обратная связь с аномалиями силы тяжести. Она выражается в совпадении площадей морфоструктур и аномалий и в приуроченности локальных новейших поднятий к гравитационным ступеням и градиентам поля. Возможно, что новейшие происходящие движения вызваны движением блоков фундамента по глубинным разломам. Внедрение по разломам основной магмы создало положительные магнитные аномалии. Не исключена вероятность того, что новейшие прогибы приурочены к ослабленным, дробленым зонам фундамента.

Глубинные разломы во многих случаях находят свое отражение в антропогеновом чехле и рельфе синеклизы, что доказывает их новейшую тектоническую активность. В пределах синеклизы отмечаются поверхностные нарушения, не находящие своего отражения в фундаменте, в некоторых случаях они как бы "оперяют" глубинные разломы. Последнее позволяет предположить, что имели место небольшие движения по разломам, которые вызвали образование нарушений в осадочном чехле.

Башилов В.И. (ВАГТ),
Якушев В.И. (ВНИГРИ)

НОВЕЙШАЯ ТЕКТОНИКА И ОСНОВНЫЕ ЧЕРТЫ МОРФОСТРУКТУР
СЕВЕРА ВОЛГО-УРАЛЬСКОЙ ОБЛАСТИ И СЕВЕРА
МОСКОВСКОЙ СИНЕКЛИЗЫ

В начале статьи дается краткая характеристика морфоструктур Севера Волго-Уральской антеклизы в основном по данным морфометрических исследований и литературным материалам.

В пределах северной части антеклизы выделяются прекрасно выраженные в морфометрических и орографических характеристиках Сысольский и Верхне-Камский своды. Эти морфоструктуры разделены узким Межадорским прогибом, заходящим сюда из Вымско-Вычегодской впадины.

Рельеф обоих сводов близок к ярусному. На площади сводов отмечаются четкие геоморфологические признаки интенсивного поднятия (увеличенные значения вертикальной расчлененности рельефа дневной поверхности, плановые очертания изолиний равной расчлененности, повышение гипсометрических отметок рельефа, плановое расположение гидросети и др.).

Мощность рыхлого покрова сокращена по сравнению с Вымско-Вычегодской впадиной и в среднем составляет 40 м.

По литературным данным (Крапивнер, 1968), на Камско-Вычегодском водоразделе наблюдаются геологические признаки интенсивного поднятия.

В частности, отмечаются положительные деформации донеогеновой поверхности и антиклинальные изгибы толщ средне- и позднеантропогеновых осадков.

Амплитуда позднеантропогенного поднятия сводов, определенная по морфометрическим данным, достигает 60–80 м, а на отдельных локальных структурах доходит до 100 м и более.

Большей части Верхне-Камского новейшего свода соответствует погребенный свод фундамента.

Новейший Сысольский свод располагается над аналогичным сводом фундамента, а также над Кажимским глубинным прогибом и Лузской впадиной.

Указанный факт, а также совпадение площадей сводов с поднятиями по поверхности палеозойских пород позволяют предполагать унаследованный характер развития этих структур в новейшее время.

Но наряду с унаследованностью в развитии новейших тектонических движений обнаруживаются и новые черты. Новейшие тектонические структуры, особенно впадины, в какой-то мере являются наложенными на более древний структурный план. Примером служат краевые части Сысольского свода, которые, вероятнее всего, имеют инверсионный характер.

Гравитационное поле в пределах севера Волго-Уральской антеклизы имеет сложный характер и характеризуется пониженными значениями силы тяжести. Простижение аномалий в основном согласуется с направлением осей главных положительных структур. Отдельным новейшим поднятиям соответствуют относительные максимумы силы тяжести. В целом обращает на себя внимание совпадение контуров выделенных новейших поднятий с простирием разломов фундамента.

Магнитное поле на рассматриваемой территории положительное, состоящее из ряда линейных максимумов субмеридионального простирия.

Ясной, закономерной связи между морфоструктурами и магнитными аномалиями не наблюдается.

Магнитные положительные аномалии связаны с наличием в этой части антеклизы глубинных разломов и дробленых зон фундамента (Межадорский прогиб).

На территории севера Московской синеклизы новейшие морфоструктуры выделены по геоморфологическим и морфометрическим показателям. В этом регионе распространены ледниковые и перигляциальные осадки. Формирование рельефа этой территории началось с конца среднеантропогенного времени и связывается с активным тектоническим поднятием и частично с гляциоизостатическим восполнением (Recoveri), приведшим к большому эрозионному расчленению, деформации террасовых уровней в реках и озерах и склоноподобным изгибам поверхностей выравнивания в перигляциальных зонах.

В пределах севера синеклизы выделяются Коношский свод, Сухонский вал и целый ряд менее крупных новейших морфоструктур.

КONOшский свод выражен в современном рельефе крупным возвышенным массивом, в пределах которого наблюдаются геоморфологические и морфометрические показатели молодого поднятия (центральный рисунок гидросети, врезанные долинные меандры, древние реликты речных перехватов, деформации I-ой, II-ой и III надпойменных террас, перекос озерных террас на крыльях структуры, более значительная

расчлененность рельефа по сравнению с окружающей территорией и др.).

Мощность антропогенных осадков в пределах свода относительно сокращена, на площади крупных локальных новейших поднятий полностью отсутствуют отложения раннего антропогена. Таким образом рассматриваемый свод выражен и по поверхности доантропогенных пород.

На площади свода в настоящее время выделяются Няндомский, Солгинский и Чушевицкий валы. Новейшие валы выражены в рельефе грядообразными плоскими массивами субмеридионального и северо-северо-восточного простирания.

Коношский свод имеет почти полное площадное совпадение с поднятием по поверхности палеозойских пород и фундамента, глубина до которого увеличивается с северо-запада на юго-восток от 0,5 км до 2,5-3 км.

Солгинский и Чушевицкий валы совпадают со структурными носами в фундаменте.

Северной оконечности Чушевицкой структуры, которая, по-видимому, имеет инверсионный характер, соответствует впадина фундамента с глубинами до 3-х км. (Северный отрог Бельской впадины, расположенной на условной границе Московской и Мезенской синеклизы).

Соответствие новейших поднятий в пределах Коношского свода структурам в палеозойских образованиях и по поверхности фундамента позволяет предполагать его унаследованное развитие в течение мезо-кайнозоя.

Новейший Сухонский вал выделяется восточнее рассмотренного выше свода по аналогичным морфометрическим и геолого-геоморфологическим показателям.

Вал представлен несколькими вытянутыми на северо-восток морфоструктурами, которым по площади соответствует линейная зона локальных структур в палеозойском осадочном чехле. Совпадение площадей новейших и глубоких структур почти полное.

В фундаменте на площади новейшего Сухонского вала наблюдается вытянутое поднятие, глубины до которого достигают двух км.

Палеозойский Сухонский вал расположен южнее новейшей структуры, над крупной линейной впадиной фундамента с глубинами в 3-4 км, и является таким образом поверхностным.

Судя по изложенному, можно заключить, что морфоструктура Сухонского вала - унаследована, по крайней мере, с мезозайского времени.

В гравитационном поле севера Московской синеклизы выявляется нечеткая тенденция к прямому соответству площадей новейших поднятий и относительных опусканий максимумам и минимумам силы тяжести.

Ференс-Сорокский А.А. (ВНИГРИ)

НОВЕЙШАЯ ТЕКТОНИКА ТИМАНСКОЙ ГРЯДЫ (В СВЯЗИ С НЕФТЕГАЗОНОСНОСТЬЮ)

Тиманская гряда, надпорядковая морфоструктура, отделяет Печорскую синеклизы (экзогональную впадину [30, 31] с более молодым эпиконтинентальным фундаментом от остальной территории Русской плиты. Продолжением и частью гряды, генетически связанной с нею, является хребет Пас на п-ове Канин. Морфологически Тиман представлен целым рядом платообразных древних и современных деформированных возышенностей, сундучных складок [26, 28], приподнятых на разную величину. Наибольшие высоты регистрируются в средней части гряды и достигают 470–485 м. На севере и юге новейшей морфоструктуры высоты рельефа равны 303 и 324 м соответственно.

В пределах возвышенностей, как правило, на поверхность выходят палеозойские образования, а в целом ряде мест (Чайцы камень, мыс Руменичный, Четлас, Оч-Парма и др.) и породы рифейского фундамента.

Границы современной Тиманской гряды с Мезенской синеклизы нечеткие.

На севере они проводятся по зоне обновленных и выраженных в рельфе (линеаменты) и рыхлом чехле глубинных разломов [12]. Южнее граница выражена морфологически лучше и совпадает с серией структурно-абразионных уступов. От Печорской синеклизы Тиман отделен ступенчатой серией структурно-абразионных уступов и древних высоких террас [80, 91]. По этой границе регистрируются многочисленные новейшие разломы, зафиксированные линейными в плане зонами дислокаций в породах палеозоя, мезозоя и осадках антропогена [29, 78, 80].

Тиманская гряда в целом асимметричная структура. На севере более приподняты ее западные части, в центре – восточные площади.

Мощность антропогеновых (плиоцен-плейстоценовых) осадков в пределах рассматриваемой территории различна: от 80 до 0 метров. Залегают эти отложения трансгрессивно. По склонам гряды сначала выклиниваются нижние горизонты антропогеновой толщи, а затем

верхние. В среднем морские фации отложений антропогена не распространяются выше абс. отметок в 250 м. Выше этих отметок, в наиболее приподнятых частях Тимана (Четлас, Вымско-Вольская возвышенность и др.) наблюдается регressive залегание рыхлой толщи, распространенной спародически. Оледенение в пределах Тимана, по последним данным [7, 63, 49, 69, 12], имело локальный характер и не оказало существенного влияния на его современный рельеф. Последний в основном определяется структурой кореянных пород и морфологией поверхности фундамента.

Активное позднеантропогеновое поднятие почти полностью синевелировало эффект аккумулятивной и экзарационной деятельности ледников.

Тиман – древняя, унаследованная структура, в пределах которой тенденция к преобладающему воздыманию регистрируется с некоторыми перерывами, по крайней мере, с позднепалеозойского-раннемезозойского времени. Об этом факте позволяют говорить: 1) отсутствие в ряде мест осевой части гряды пород палеозойского возраста и наличие коррелятивных им отложений в Печорской синеклизе (Усть-Цильма-скв. I); 2) отсутствие мезозойских образований на большей площади всей морфоструктуры и, наконец, 3) минимальные мощности, а порой и полное отсутствие рыхлых осадков в местах выходов фундамента (мыс Руменичный, Чайцы камень; Четлас, Вымско-Вольская возвышенность, Оч- и Джежим-Парма).

Выходы на поверхность пород рифейского фундамента при отсутствии на соседних площадях коррелятивных им отложений также могут служить косвенным доказательством унаследованного новейшего поднятия. Указанные выходы хорошо выражены в рельфе и, как упоминалось выше, наблюдаются на абс. высотах в 470–330–303 м. Без интенсивных преобладающих поднятий в мезозое, палеогене, неогене и части антропогена (175–210 млн. лет) даже такие крепкие породы, как метаморфические сланцы рифея (при останцовом происхождении современных их выходов), были бы полностью синевелированы денудацией.

С позднего антропогена Тиман представляет собой область интенсивного поднятия, что подчеркивается характером его рельефа, деформациями геоморфологических уровней, а также особенностями современной долинной сети и эрозионной деятельности [64, 65, 86].

Активные блоково-глыбовые подвижки в пределах Тимана в новейшее время сказались на расположении, форме и характере отдельных морфоструктур этой территории [28, 64, 65, 85, 86].

Новейшие поднятия Тимана имеют четкую горстообразную форму

[60, 65, 86], кулисообразное плановое расположение и представляют собой участки древней неопленизированной и деформированной поверхности, приподнятой на различную abs. высоту [12, 69]. "Расположение новейших поднятий определяется простиранием глубинных (активизированных в неоген-антропогенное время*) разломов. Наиболее четко выделяются в рельефе разрывные нарушения фундамента северо-западного и субмеридиональных простирианий [28].

На Среднем Тимане прослеживаются новейшие дизъюнктивные нарушения субширотных направлений. Они хорошо зафиксированы в новом ортогональном простириании гидросистем [82, 92].

Кулисообразное расположение ряда морфоструктур в пределах Тимана, вероятно, можно объяснить движением блоков фундамента по разломам в новейшее время не только в вертикальном направлении, но и по касательной, а отчасти, и в субгоризонтальном направлении [28, 64, 65].

На рассматриваемой территории выделяются следующие крупные новейшие морфоструктуры: Северо-Тиманский, Средне-Тиманский, Южно-Тиманский мегавалы и примыкающий к ним Канинский дизъюнктивный вал.

Северо-Тиманский мегавал протягивается в северо-западном направлении, от долины реки Цильмы на юге до мыса Руменичный на севере.

Локальные новейшие структуры в пределах мегавала имеют в основном аналогичное простиранье и хорошо совпадают по площади с поднятиями в палеозойском чехле и фундаменте.

Выходы последнего на поверхность зарегистрированы на мысе Руменичный, в долине реки Черной и др. Здесь постепенно выклиниваются палеозойские и рыхлые осадки. Мощность антропогеновых отложений не превышает по склонам мегавала 50 м. По границам ряда морфоструктур наблюдаются дислокации в антропогеновой толще. Зоны аналогичных мелких дислокаций [78, 79] отмечены и по склонам древних, "обнаженных поднятий" в палеозойских образованиях.

Отдельные структуры имеют блоковую природу и разделены глубинными активизированными разломами. В рельефе последние хорошо трассируются по линейным структурно-абразионным уступам, спрямленным берегам озер и ортогональным системам рр. Индиги, Черной, Вырей и др., а также по зонам дислокаций в антропогеновых осадках.

Только в бассейне р. Извики, среднем течении р. Вырей и на массиве Петюда глубинные разломы "залечены" базальтовыми интрузиями, но тем не менее они находят свое выражение в рельефе. Почти все

* Примечание А.Ференс-Сороцкого.

выходы базальтов, в ряде случаев линейные в плане, отпрепарированы эрозией. По-видимому, можно говорить об интенсивном поднятии древних палеозойских структур и блоков фундамента в новейший тектонический этап. Это предположение основывается на отсутствии мезозойских, а в пределах выходов фундамента и палеозойских отложений в сводах структур. Об этом факте говорит полное отсутствие осадков палеогенового и неогенового возраста, а также минимальные мощности (до полного выклинивания) отложений антропогена и выраженность древних структур в современном рельефе.

Только в южной оконечности мегавала новейшим поднятиям в плане соответствуют погружения фундамента. В данном месте, вероятно, существует не полностью компенсированный новейшим поднятием прогиб фундамента и, как следствие этого - инверсия структур палеозойского осадочного чехла и антропогеновой толщи в пространстве.

Абсолютная амплитуда поднятий за новейший тектонический этап, определенная по деформированной доантропогеновой поверхности, в пределах мегавала различна: от 60-90 м до 300 м (Чайцы камень). Относительная амплитуда на площади отдельных морфоструктур достигает 100-200 м. Величина только позднеантропогенного абсолютного воздымания, подсчитанная по деформациям геоморфологических уровней, превышает 100 м при относительной амплитуде локальных структур в 40-70 м.

Отсюда можно сделать вывод о большой дифференцированности новейших структурообразующих движений на фоне общего поднятия Северного Тимана.

В пределах рассматриваемого мегавала почти все новейшие, совпадающие по площади с древними, поднятия четко отражаются положительными аномалиями силы тяжести.

Магнитное поле территории в основном отрицательное, кроме площадей развития базальтов и андезито-базальтов. Этот факт, по-видимому, объясняется большой мощностью "немагнитного" метаморфического рифейского комплекса. Однако всем новейшим разломам соответствуют линейные положительные магнитные аномалии. Указанный факт доказывает глубинную природу этих нарушений.

Средне-Тиманский мегавал - наиболее приподнятая морфоструктура в системе Тиманской гряды. Он состоит из ряда косых, выраженных в рельефе вздыбленных горстов фундамента, в пределах которых на поверхность выходят метаморфические сланцы рифея (Четлас, Вымско-Вольская возвышенность и др.).

В пределах всей морфоструктуры почти полностью отсутствуют

мезозойские образования, а в ее осевой части – и палеозойские осадки. По склонам мегавала расположены "обнаженные" и выраженные в рельефе структуры в отложениях палеозоя, представленные сундучными, плосковерхими складками [26, 28] с крутыми крыльями. Почти полный разрыв антропогеновых отложений в центре структуры и минимальные мощности их по ее склонам, геоморфологические "классические" признаки активного воздымания площади, глубинные нарушения, представленные линеаментами рельефа – все это доказывает интенсивное новейшее, унаследованное и дифференцированное поднятие Средне-Тиманского мегавала. В пределах наиболее приподнятых Четласской, Вымско-Вольской и других морфоструктур амплитуда указанного поднятия достигает 300–400 м, а позднеантропогеновое абсолютное воздымание, определенное по деформациям геоморфологических уровней, превышает 120–140 м.

На крыльях мегавала из-за взбросово-надвиговых движений по глубинным, активизированным разломам наблюдается некоторое несоответствие площадей поднятий в палеозойском осадочном чехле и новейших морфоструктур. Последние (Эшмесская, Рудянская, Верховская, Новожиловская структуры) "сдвинуты" на восток на 30–35% площади по отношению к первым.

Крупные морфоструктуры оконтурены активизированными глубинными разломами, а более мелкие, как правило, "насажены" на глубинные разломы.

По-видимому, образование этих структур связано с движениями по глубинным разломам блоков фундамента в новейший тектонический этап.

Как уже отмечалось, в целом мегавал асимметричен; восточные его части несколько приподняты над западными.

Та же асимметрия наблюдается и у новейших локальных структур. Всем новейшим структурам мегавала соответствуют четкие положительные аномалии силы тяжести при полном совпадении их площадей. Гравитационный эффект, очевидно, вызван большой мощностью пород рифейского фундамента, а аномалии отражают морфологию поверхности как карбонатного палеозойского комплекса, так и фундамента.

Главным новейшим нарушением, как правило, отвечают большие линейные градиенты поля силы тяжести и гравитационные ступени.

Более мелкие активизированные разломы и тектоническая трещиноватость в плане совпадают с линейными магнитными положительными аномалиями.

Исходя из всего вышеизложенного, можно предполагать не толь-

ко унаследованное развитие новейших структур мегавала, но и их глубинную природу.

Учитывая большие амплитуды дифференцированных новейших движений, которые приводили к гидрогеологической раскрытии территории, можно предполагать расформирование и переформирование нефтяных и газовых залежей, созданных ранее в пределах осевой части мегавала.

Южно-Тиманский мегавал – асимметричная морфоструктура, с приподнятыми западными крыльями.

Восточные части структуры опущены, и этот факт регистрируется по наличию здесь мезозойских отложений и антропогеновых осадков относительно повышенной мощности (до 40 м).

В западной половине рассматриваемой площади, в пределах блоково-приподнятых и хорошо орографически выраженных Оч-Парминской и Джеким-Парминской структур, на поверхность выходят породы рифейского фундамента.

В общем плане весь новейший Южно-Тиманский мегавал имеет прямое выражение в палеозойском осадочном комплексе и по поверхности фундамента. Этот факт позволяет предполагать его древнее заложение и унаследованное развитие в течение мезо-кайнозоя.

Выделяемые в пределах этой крупной морфоструктуры Ухто-Ижемский и Ксеноронтовский валы хорошо выражены в рельефе, геоморфологических и морфометрических характеристиках. Мощность антропогенных осадков сильно сокращена. Эти отложения в ряде мест сводовых частей поднятий вообще отсутствуют, так же как и образования мезозоя. На площади Ксеноронтовской структуры, под осадками среднего карбона, реками вскрываются метаморфические сланцы рифеля.

Площадь обоих новейших валов несколько больше аналогичных поднятий в палеозойских образованиях. Оси морфоструктур сдвинуты на запад по отношению к сводам древних валов.

Особое место в системе Южно-Тиманского мегавала занимает Ижма-Сойвинский (Омра-Сойвинский) выступ, выраженный по поверхности фундамента и палеозойских пород.

Этот выступ глубоко вдается в виде структурной ступени на территорию Печорской синеклизы и отделен от нее флексураобразными перегибами в палеозойских породах. В рельефе он представлен серией деформированных плосковершинных возвышенностей и широких деформированных террас. Флексуры осадочной толщи и новейшие разломы на территории выступа и по его границам в современном рельефе представлены структурно-абразионными уступами, ортогональной гид-

росетью и линейными в плане зонами мелких дислокаций в антропогенных осадках [91].

Локальные морфоструктуры обычно прямые и хорошо выражены по геоморфологическим и морфометрическим показателям и по поверхности доантропогенных пород [74]. Абсолютные амплитуды новейших поднятий вступа достигают здесь 150–220 м, тогда как позднеантропогенное воздымание приблизительно равно 60–90 м (Верхняя и Нижняя Омра и др.).

В гравитационных полях северной части Южно-Тиманского мегавала прослеживается та же прямая зависимость между новейшими структурами и аномалиями, которая была отмечена для вышеописанных крупных поднятий, но выражена она менее четко.

Иногда наблюдается обратная связь – положительным морфоструктурам по площади отвечают минимумы силы тяжести.

Южная половина мегавала характеризуется общим отрицательным гравитационным полем, с относительно положительными аномалиями на площади наиболее интенсивных новейших поднятий (Джеким и Оч-Нарма и др.).

Новейшие "живущие" дизъюнктивы в северной и центральной частях мегавала, как правило, совпадают с большими градиентами поля силы тяжести.

Южно-Тиманский мегавал в целом выражен отрицательным магнитным полем, за исключением Оч-Нарминского поднятия, которому отвечает относительно положительная аномалия.

В крайней южной оконечности мегавала, в зоне его сочленения с Предуральским краевым прогибом, по юго-западным склонам новейших локальных поднятий наблюдаются небольшие замкнутые положительные магнитные аномалии.

Они тесно связаны с выделяемыми здесь новейшими разломами.

Канинский дизъюнктивный вал генетически и по своей динамике в неоген-антропогеновое время тесно связан с Тиманской грядой. Несмотря на это, он почти не находит своего выражения в батиметрии Чешской губы, хотя в горле последней, по данным исследований 1971–72 гг. (НИГА, ВНИИморгео), обнаружены обильные глыбы дельтия и коллювия тиманских коренных пород. По-видимому, горло Чешской губы как зона опускания оформилась лишь в антропогенный тектонический этап.

Рассматриваемый вал прекрасно выражен в рельфе ступенчатой серией платообразных, положительно деформированных возвышенностей, в пределах которых на поверхность выходят породы рифейского фундамента.

Абсолютные отметки деформированной донеогеновой поверхности достигают здесь 260 м, а абсолютная амплитуда новейших поднятий приближается к 200 м.

Мощность отложений антропогена различна – от 80 м на склонах вала до нуля в его сводовой части. Здесь же полностью выклиниваются палеозойские образования и отсутствуют мезозойские осадки.

Как и на Тимане, по склонам вала наблюдается трангрессивное, а в сводовой части регressive залегание рыхлого покрова.

Геоморфологические показатели регистрируют интенсивное позднеантропогеновое поднятие вала, а вышеизложенные факты – унаследованное его развитие в течение мезо-кайнозоя. Абсолютная амплитуда позднеантропогенного воздымания структуры достигает 80–100 метров.

На крыльях вала распространены тектонико-гравитационные дислокации антропогенного покрова, а на северо-восточном побережье моря – положительные деформации древних и современных морских террас [71].

Вал ограничен глубинными, активизированными разломами, выделяемыми по линеаментам рельефа, батиметрическим показателям и гравимагнитным линейным аномалиям.

Отмеченная на Тиманской гряде тесная связь новейших поднятий и гравитационных полей объясняется, как упоминалось выше, широкими выходами на поверхность плотных метаморфических немагнитных пород рифейского фундамента, которые имеют большую мощность и создают высокий гравитационный эффект. Движение блоков фундамента по обновленным в новейшее ($N-A_n$) время глубинным разломам привело к образованию четких морфоструктур, которые полностью совпадают по площади с локальными положительными аномалиями силы тяжести. Глубинная природа новейших тектонических нарушений, выраженных в рельфе и антропогеновом чехле, полностью доказывается совпадением их с гравитационными ступенями, с высокими градиентами поля, а в ряде мест и с полосовыми положительными магнитными аномалиями.

В пределах Тиманской гряды наблюдается идеальная выраженность локальных структур палеозойского осадочного чехла и целого ряда нефтяных месторождений в рельфе, геоморфологических и морфометрических показателях и особенностях рыхлого покрова. Совпадение новейших и глубинных структур по площади достигает 85–90%.

Можно прийти к выводу о том, что около 90% структур палеозойского комплекса и месторождений нефти и газа в пределах Тимана были активны в новейший тектонический этап и закончили свое формиро-

вание именно в это время. Примерами крупных месторождений, претерпевших в неоген-антропогеновое время окончательное оформление и характеризующихся четкими геоморфологическими показателями молодых поднятий, могут служить: Верхняя Омра, Нижняя Омра, Вой-Вож, Иргеское и др.

Менее активны в новейшее время Северо-Седельское, Седельское, Кушкоджское, Нямедское и др. месторождения. Но и они хорошо выражены геоморфологически (глубокий эрозионный врез, деформации речных террас, сокращение, до полного выклинивания рыхлых осадков, радиальное плановое растекание гидросети и др.).

Активизация структур палеозойского осадочного комплекса, по-видимому, связана с оживлением в новейшее время древних дизъюнктивов и с движением по ним блоков фундамента.

Восходящие движения этих блоков по разломам привели к образованию современных морфоструктур, а в ряде случаев, вероятно, способствовали вертикальной миграции углеводородов.

Последние, по-видимому, концентрировались в верхних частях.

Следует отметить, что высокointенсивным локальным структурам (по Наливкину В.Д. и Лазареву В., 1968) в пределах Тиманской гряды всегда соответствуют большеамплитудные новейшие поднятия.

ОСНОВНЫЕ МОРФОСТРУКТУРЫ ПЕЧОРСКОЙ СИНКЛИЗЫ И ИХ СООТНОШЕНИЕ СО СТРУКТУРАМИ ОСАДОЧНОГО ЧЕХЛА, ФУНДАМЕНТА И ГЕОФИЗИЧЕСКИМИ ПОЛЯМИ (В СВЯЗИ С НЕРТЕГАЗОНОСНОСТЬЮ)

В новейший тектонический этап развитие Печорской синеклизы происходит на сложном дислоцированном палеозойском основании. В северном направлении наблюдается постепенное увеличение мощности мезозойских (до 600–700 м) и антропогеновых (300 м) осадков.

Отмеченный факт позволяет говорить об унаследованном с мезозойского времени общем преимущественном прогибании северных районов синеклизы и в антропогеновый период.

Как самостоятельная надпорядковая структура, Печорская синеклиза оформилась в среднеуральское время [28, 73].

Новейшие крупные морфоструктуры в пределах синеклизы подчинены как Тиманским, так и Уральским направлениям. Это позволяет предполагать активизацию в новейшее время как древних структур "салайрского" плана, так и более молодых герцинских структур [3, 4].

Унаследованные новейшие морфоструктуры преобладают в южных и краевых (особенно восточных) районах синеклизы. На центральной, наиболее погруженной ее части превалируют новообразованные структуры. Унаследованные поднятия и опускания отмечаются и на этой территории, но они "теряются" среди большого количества молодых, прослеживающихся лишь в мезозойских и антропогеновых образований структур, которые выражены очень четко и имеют большую новейшую амплитуду.

Новейшие крупные (I-го порядка) структуры, за исключением расположенного в центральной части севера синеклизы Большеземельского мегавала, на большей своей площаи унаследованы от поднятий и впадин в палеозойском осадочном чехле и фундаменте. То же относится и по многим новейшим структурам второго порядка.

В пределах Большеземельского мегавала, напротив, только структуры третьего и часть структур второго порядка совпадают с древним палеозойским планом. Весь же мегавал сформирован в новейший тектонический этап.

По-видимому, для поисков нефти и газа наиболее перспективными в большинстве своем являются унаследованные, активизированные

в новейшее время поднятия.

По аналогии с газоносными месторождениями севера Западной Сибири (Газовское, Губкинское) в пределах Печорской синеклизы, по-видимому, можно ожидать наличие газовых залежей в мезозойских толщах новообразованных новейших структур на севере региона.

Для сохранения гидрогеологической закрытости, а следовательно, и залежей нефти и газа, большое значение имеет амплитуда новейших локальных движений. При больших амплитудах этих поднятий может произойти расформирование и перерформирование залежей угле-водородов и миграция их как вверх по разрезу, так и в смежные участки территории.

По-видимому, наиболее благоприятными для нахождения залежей нефти и газа являются новейшие структуры с приростом амплитуды, не превышающим 100-120 м за позднеантропогеновое время.

В пределах Печорской синеклизы в настоящее время выделяются следующие новейшие крупные структуры: Малоземельская моноклиналь (свод?), Тобышский мегавал, Усть-Печорская впадина, Сойма-Сульский прогиб, Большеземельский мегавал, Ижма-Печорская впадина, Верхне-Печорская впадина, Денисовский мегапрогиб, Хорейверский мегапрогиб, Адзьвинский мегавал, Косью-Роговской прогиб, Конкомильский вал, Лемвинский прогиб, Коротаихинская впадина и Воркутская ступень (см. рис. 1).

Малоземельская моноклиналь (свод) выделяется в северо-западной части синеклизы и имеет сложное асимметричное строение. Центральные и юго-западные ее площади приподняты, северные и северо-восточные, напротив, погружены и скрываются в акватории моря.

В центральной части рассматриваемой структуры находится резко приподнятый Седуяхинский вал, в пределах которого на поверхность в долинах рек выходят палеозойские карбонатные породы. Здесь же буровой скважиной [52] (УТГУ) вскрыт рифейский фундамент. Вал ограничен древними активизированными разломами, которые хорошо трассируются по гравимагнитным линейным аномалиям, линейным зонам дислокаций в антропогеновой толще; линеаментам рельефа и линейным зонам источников минерализованных вод (рр. Шарапуша, Серед-Седуяха, Песчанка, Хазеровосе). Мощность антропогеновых осадков в пределах моноклинали увеличивается с юга на север от 5-10 м до 220 м. Несмотря на большие мощности антропогеновых образований в северной части структуры, разрез их характеризуется "вынадением" отдельных горизонтов, грубой ритмичностью осадконакопления, опесчанива-

нием глинистых одновозрастных толщ, преобладанием мелководных и континентальных фаун осадков по сравнению с примыкающими к структуре территориями.

В целом моноклиналь хорошо выражена по деформированной поверхности доантропогеновых пород, а в пределах локальных и более крупных (II-го порядка) структур - и в современном рельфе.

На площади всех поднятий Малоземельской моноклинали регистрируются четкие геоморфологические и морфометрические признаки интенсивного позднеантропогенного воздымания [26, 44, 73, 80].

Следует отметить, что несмотря на увеличение мощности рыхлых осадков в северном направлении, как раз на севере расположены наиболее высокоамплитудные, интенсивные, новообразованные позднеантропогенные поднятия - Пятникское, Ярбиягинское, Коровинское и др. [80, 82].

По-видимому, в пределах моноклинали существуют различные по возрасту заложения и интенсивности структуры.

Если в центральной части расположены древние, унаследованные в своем развитии, но плохо выраженные в современном рельфе поднятия, то на севере преобладают интенсивные и прекрасно выраженные в геоморфологических показателях структуры.

Отмеченные факты позволяют говорить об интенсивном поднятии северной части моноклинали в позднем антропогене - времени окончательного формирования современного рельефа.

Анализируя амплитуды допалеогеновой поверхности, можно заключить, что южные части моноклинали испытали длительные преобладающие поднятия в течение всего новейшего времени, тогда как северные площади начали претерпевать интенсивное воздымание лишь со среднего антропогена. Суммарная, относительная амплитуда новейших локальных деформаций на юге территории превышает 90 м, а на севере - она равна 20-30 м.

По поверхности фундамента хорошо выражен лишь Седуяхинский вал (горст), где глубины до нее не превышают 1 км (скв. 52 УТГУ).

Большей же площади Малоземельской моноклинали в фундаменте соответствует пологий склон, а на севере, ближе к акватории моря, - впадина (Должанский, 1970; Кривцов, 1971). Все это позволяет предполагать инверсионный характер мезо-кайнозойской Малоземельской моноклинали (свода?).

В гравитационных полях территории преобладают положительные аномалии.

За исключением Пятникского и северной части Коровинского под-

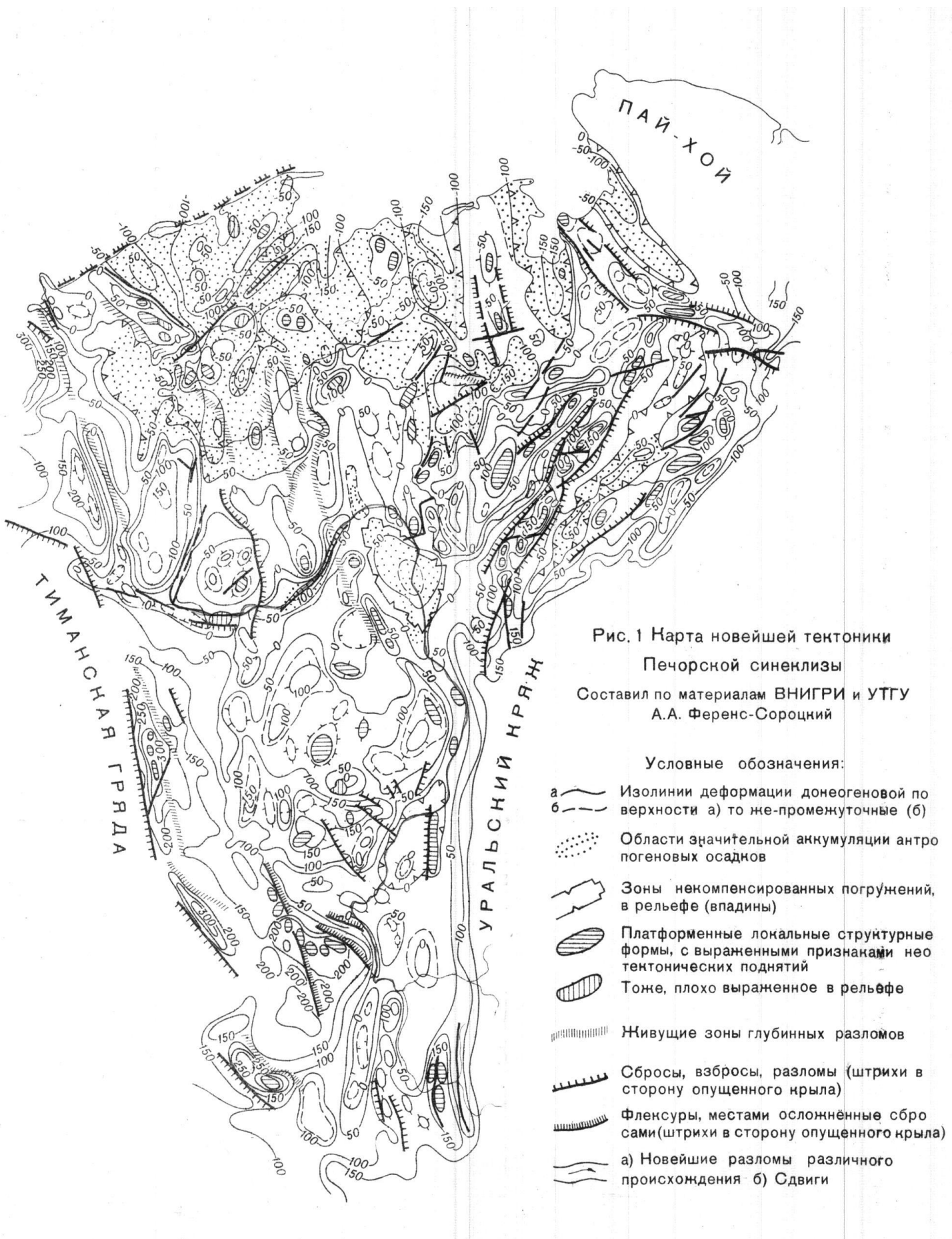


Рис. 1 Карта новейшей тектоники
Печорской синеклизы

Составил по материалам ВНИГРИ и УТГУ
А.А. Ференс-Сороцкий

Условные обозначения:

- а — Изолинии деформации донеогеновой по верхности а) то же-промежуточные (б)
- Области значительной аккумуляции антропогенных осадков
- Зоны некомпенсированных погружений, в рельефе (впадины)
- Платформенные локальные структурные формы, с выраженным признаком неотектонических поднятий
- Тоже, плохо выраженное в рельефе
- Живущие зоны глубинных разломов
- Сбросы, взбросы, разломы (штрихи в сторону опущенного крыла)
- Флексуры, местами осложнённые сбросами (штрихи в сторону опущенного крыла)
- а) Новейшие разломы различного происхождения б) Сдвиги

нятий, все новейшие структуры свода (моноклинали) находят свое выражение в положительных аномалиях. Особенно четкие положительные аномалии поля силы тяжести отмечаются на площасти Седуяхинского вала, где каждому локальному поднятию соответствует крупный гравитационный максимум.

Всей рассматриваемой структуре соответствует интенсивное положительное магнитное поле, с отдельными максимумами, совпадающими в ряде случаев с площастью новейших морфоструктур (Пятницкое, Ярбиягинское, Коровинское, Сенгирское и др. поднятия).

Однако четкой прямой зависимости между максимумами магнитного поля и морфоструктурами все же не наблюдается.

Новейшим тектоническим нарушениям (Оксинское, Южно-Седуяхинское и др.) повсеместно соответствуют высокие линейные градиенты гравитационного поля и положительные вытянутые магнитные аномалии, что доказывает их глубинную природу.

Следует отметить, что в пределах Седуяхинского вала наблюдается четкая прямая связь между линейными аномалиями поля силы тяжести и высокоамплитудными новейшими поднятиями.

Учитывая вышеизложенное, можно предположить, что молодое поднятие большей части Малоземельской моноклинали (свода) еще не нашло своего полного выражения в фундаменте и палеозойском чехле, но отразилось в характере гравимагнитных полей этой территории.

Тобышский мегавал охватывает территорию Тобышской возвышенности и бассейн реки Тобыш на юге Малоземельской тундры.

В рельфе эта новейшая структура представлена серией платообразных ярусных массивов, на площасти которых отмечаются геоморфологические и морфометрические показатели новейшего поднятия.

Границы мегавала очень четкие. Восточная граница, отделяющая структуру от долины реки Печоры, хорошо проводится по ряду абразионных уступов и зонам дислокированных антропогенных осадков. Западная граница совпадает с прямолинейной долиной р. Тобыш и аналогичным, упомянутым выше, структурно-абразионным уступом.

От Тиманской гряды Тобышский мегавал отделен вытянутой субмеридионально зоной опускания, по которой протекает р. Тобыш. Здесь же, по геоморфологическим данным, проводится новейшее нарушение, которое на глубине имеет амплитуду более 200 м.

По данным А.А.Малахова [47], в зоне нарушения наблюдается контакт позднедевонских и каменноугольных отложений.

Антропогенные осадки в пределах мегавала характеризуются "сводовым" типом разреза [26, 49, 79]. Мощность их различна: от 20 м

в центральной части структуры до 80 м в южной и 158 м - в северной оконечности. Следовательно, мегавал в целом хорошо выражен по поверхности мезовайских пород.

Центральной части Тобышского мегавала в фундаменте соответствует крупный выступ. Наблюдается некоторое смещение сводов новейшей и глубинной структур. Северные и южные оконечности мегавала инверсионны по отношению к фундаменту. Глубинным разломом, выделенным в фундаменте по геофизическим данным, мегавал делится на две части - западную и восточную. Северная ветвь этого нарушения активизирована в новейшее время и хорошо выражена в рельфе и антропогеновом чехле.

Ряд новейших поднятий в пределах мегавала расположен над глубинными нарушениями - швами (Верхне-Тобышское, Средне-Тобышское и др.). По-видимому, образование этих поднятий неразрывно связано с движениями по глубинным разломам в новейшее время.

Центральной части Тобышского мегавала соответствует положительная аномалия силы тяжести и относительно положительная магнитная аномалия.

На площасти северной и южной частей структуры наблюдаются отрицательные гравитационные и относительно пониженные магнитные аномалии. Наблюданное распределение гравимагнитных полей на площасти мегавала, очевидно, связано не только с приподнятым блоком фундамента в его центральной части, но и с большими интрузиями основных и ультраосновных пород по границам этого горста. Северная граница новейшей структуры, имеющая в плане линейное направление, хорошо трассируется зонами линейных гравитационных аномалий и высоких градиентов поля силы тяжести.

Учитывая сокращение мощностей мезо-кайнозойских осадков в центральной, сводовой части структуры, а также преобладание в разрезе антропогенных образований песчаных и субпесчаных, континентальных и субконтинентальных фаций, можно заключить, что эти площасти мегавала испытали длительное унаследованное преимущественное поднятие.

Северные и южные оконечности мегавала, по всей вероятности, претерпели инверсию с позднеантропогенного времени. Поднятия в их пределах очень молоды, хотя и высокоамплитудны. К аналогичному выводу можно прийти и при анализе современного положения деформированной доантропогенной поверхности. В центральной части структуры она расположена на нулевых и плюсовых отметках (до +40 м), а на южных и северных крыльях не выходит за пределы минусинских отметок.

Усть-Печорская впадина охватывает площадь ни него течения р. Печоры и котловины оз. Голодная губа. Общее простирание этой отрицательной структуры - северо-восточное. В рельефе впадина представлена крупным понижением, в пределах которого отмечается наибольший комплекс геоморфологического-морфометрических показателей интенсивного молодого опускания [26, 44, 45, 73, 80].

Разрез антропогенных осадков, мощность которых достигает 200 м, характеризуется монотонными глинистыми глубоководными фациями и чертами впадинного типа [49, 79]. Только на площади локальных относительных поднятий прослеживается ритмичность осадконакопления в средне-позднеантропогеновое время.

Впадина имеет четкие геоморфологические границы, представленные серией абразионных деформированных уступов. Судя по преобладанию в раннемеловых и юрских отложениях морских глинистых фаций, можно заключить, что впадина унаследована с мезозойского времени.

Усть-Печорской новейшей впадине соответствует крупная депрессия в палеозойских отложениях и фундаменте, глубины до которого на рассматриваемой территории достигают 5,5-6 км.

Погребенные локальные поднятия палеозойского осадочного чехла в пределах впадины, по-видимому, активизированы в новейшее время, так как находят свое выражение в геоморфологических показателях, регистрирующих малоамплитудное (не более 20 м) воздымание, а также позднеантропогенных осадков (четкая ритмичность и опесчанивание мелководных субконтинентальных фаций) [15, 44, 73, 74, 80].

В новейшем плане наблюдается некоторое несовпадение морфоструктур и локальных поднятий палеозойского осадочного чехла (перекрытие площадей составляет для Нарьян-Марской структуры и Ярейского поднятия 100%, Василковской - 40%, Удачной 35-40%). В новейшем плане наблюдается сдвиг свода структуры вверх по разрезу в сторону крутого крыла глубинного поднятия. По-видимому, этот факт связан с движениями блоков фундамента в северном полушарии Земли вверх и в сторону по касательной.

В гравитационном поле северная часть впадины характеризуется отрицательными аномалиями, тогда как на южной половине (Нарьян-Марское поднятие) преобладают максимумы поля силы тяжести.

В пределах территории всей впадины локальным новейшим поднятиям соответствуют положительные гравитационные и магнитные аномалии.

Направление осей гравимагнитных аномалий и новейших структур в ряде случаев различны, хотя перекрытие их площадей наблюдается

52

повсеместно. Магнитное поле в пределах впадины, за исключением ее крайней северной части, положительное.

Довольно точное совпадение площадей новейших относительных поднятий с положительными и отрицательными магнитными аномалиями в пределах всей впадины, по нашему мнению, объясняется следующим образом.

Новейшие поднятия обусловлены движениями блоков фундамента по древним, активизированным глубинным разломам. По последним в более ранние геологические эпохи шло внедрение кислой или основной магмы, которая создает отрицательный или положительный магнитный эффект соответственно. Активизация разломов в новейший текtonический этап привела к поднятию интрузий и блоков фундамента и образованию над ними молодых морфоструктур.

Положительное магнитное поле, наблюдаемое в центральных и южных частях впадины, по-видимому, объясняется интенсивной магматической деятельностью, имевшей место при происходящих движениях этой отрицательной унаследованной структуры в конце палеозойско-го - начале мезозойского времени (Р-Т).

Сойма-Сульский прогиб выделяется в пределах бассейна нижних течений рр. Сулы и Соймы, а также долины р. Печоры до села Крестовка. Прогиб выражен в рельефе крупным понижением, в пределах которого наблюдаются многочисленные геоморфологические признаки молодого опускания. Долины рек расплатааны, устья притоков р. Печоры подтоплены, регистрируются отрицательные деформации речных террас, огромные, активно растущие болотные массивы и др. Мощность рыхлых осадков с яркими чертами впадинного типа разреза [49, 80], превышает 170 м. Прогиб ограничен новейшими разломами, выраженными в рельефе серией абразионных уступов и зон дислокированных антропогенных осадков. Особенно хорошо эти разломы трассируются на границе прогиба с Тобышским мегавалом, с Седуюхинским валом и Тиманской грядой. Относительная новейшая амплитуда прогибания этой площади достигает 45-60 м, тогда как абсолютные величины поздне-антропогенных опусканий составляют 20-40 м. (Та же амплитуда за весь новейший этап превышает 100 м).

Увеличение мощности мезозойских отложений в пределах прогиба, совпадение его площади с впадиной в палеозойских карбонатных породах и фундаменте - все это позволяет предположить древнее заложение структуры и ее унаследованное развитие в мезо-кайнозойское время.

В настоящее время глубины до поверхности рифейского фундамента в пределах прогиба достигает 2,5-3 км.

53

Рассматриваемая площадь характеризуется общим пониженным или отрицательным гравитационным полем. Отдельные локальные новейшие поднятия на территории этого прогиба тяготеют к относительно повышенным локальным аномалиям силы тяжести.

Наиболее погруженные площади (Усть-Сульская впадина) хорошо совпадают по площади с относительно отрицательными локальными аномалиями. Этой же наиболее опущенной осевой части структуры соответствуют минимумы магнитного поля. Локальные, относительно повышенные значения магнитного поля соответствуют приподнятои южной оконечности прогиба. Следовательно, на территории рассматриваемой структуры наблюдается прямое соответствие между новейшим структурным планом и гравимагнитными аномалиями.

Большеземельский мегавал – сложно построенная новообразованная структура, имеющая северо-восточное направление и простирающаяся от широтного колена р.Печоры на юге до хребта Вангура на севере.

Мегавал хорошо выражен орографически и представлен рядом поверхностей выравнивания, на которых расположены возвышенные платообразные массивы северо-западной и северо-восточной ориентировки. На площади мегавала зарегистрированы четкие геолого-геоморфологические и морфометрические показатели новейшего поднятия. (Выходы на поверхность пород мезозойского возраста, аномалии планового расположения гидросети [82], врезанные долинные меандры, положительные деформации морских и речных террасовых уровней,rudименты древних озерных впадин и долин, речные перекваты и многое другое).

Наиболее молодое и очень интенсивное поднятие отмечается в северной части структуры.

Цоколем мегавала служат сложнодислоцированные мезозойские образования, по поверхности которых он в целом хорошо выражен.

Структурные формы в мезозойском осадочном чехле оказали влияние на строение и фаунильный состав мощной толщи (более 200 м) морских осадков антропогена. Разрез последних имеет почти повсеместно "сводовый" тип [49, 79].

Южная часть мегавала приподнята по отношению к северной. Здесь на поверхность в долинах рек выходят осадки мелового и юрского возраста.

Несмотря на то что в некоторых местах северной части этой крупной структуры на поверхность также выходят породы мезозайского возраста (Лая-Вожское поднятие – Лым-Мусюр), общее увеличение

мощности рыхлых осадков прослеживается с юго-запада (Вольминское поднятие) на север и северо-восток (Верхне-Хыльгуюское поднятие) от 10-20 м до 150-230 м.

Большеземельский мегавал – структура асимметричная. Западные ее крылья более приподняты, нежели восточные.

В пределах мегавала, как указывалось, выделяются менее крупные, унаследованные и новообразованные в мезо-кайнозойское время морфоструктуры.

Новообразованные Вангурейское, Табровское, Вольминское и другие поднятия имеют северо-восточное простижение и выражены в мезо-кайнозойском осадочном чехле.

Некоторые из них (Вольминское поднятие) выражены в палеозойском осадочном чехле лишь отдельными локальными структурами (Воробьевельская).

Унаследованные "сквозные" Шапкинские, Лебединское, Чаркоуское и другие поднятия имеют северо-западное направление осей и концентрируются в пределах палеозойского Печоро-Кожвинского вала. В этих районах выделяется серия новейших разрывных нарушений, хорошо выраженных в рельфе и мезо-кайнозойском осадочном чехле. Нарушения наследуют направлению глубинных разломов и дизъюнктивов в палеозойской толще.

Новообразованное в мезо-кайнозойское время Лыммусюрское поднятие, хотя и имеет близкое к северо-восточному простижение, соответствует по площади южной оконечности погребенной Лая-Вожской структуре, имеющей северо-западное направление. Последняя хорошо выражена по поверхности доантропогеновых пород. Ось структуры резко уздулирует в северо-северо-западном направлении от +130+120 м до -60 - 40 м. Относительная новейшая амплитуда Лая-Вожской структуры уменьшается с юго-востока на северо-запад от 100 до 40 м. Те же амплитуды у других новейших структур уменьшаются в северном направлении в среднем от 70 до 30 м.

Абсолютные величины позднеантропогеновых локальных движений, напротив, увеличиваются с юго-запада на северо-восток от 30-40 м до 80-100 м. Исходя из вышеизложенного, можно, по-видимому, говорить об асимметричном интенсивном поднятии северных частей мегавала в позднем антропогене при относительной стабилизации его южных и центральных площадей. Учитывая сравнительно недолгий отрезок геологического времени упомянутого поднятия, становится ясным, почему результативный эффект всего новейшего воздымания, зафиксированный в положении доантропогеновой поверхности, гораздо больше на центральных и юго-западных частях мегавала.

В пределах Большеземельского мегавала имеет место наиболее яркое наложение новейшего структурного плана на более древний, активизированный в последний тектонический этап, - палеозойский план.

Активизация обоих планов в новейшее время находит свое выражение в пространственном расположении современных морфоструктур.

В фундаменте рассматриваемый мегавал в целом не имеет выражения, за исключением некоторых небольших площадей. Северная и юго-западная части всей морфоструктуры совпадают со впадинами фундамента. Несмотря на инверсионность этих структурных элементов мегавала, и здесь отмечается отличное совпадение площадей структур осадочного чехла и новейших морфоструктур (Хильчукское и Ярейское поднятие, где амплитуды по поверхности карбонатного палеозоя составляют по сейсмическим данным 100-150 м, и по доантропогеновой поверхности равны соответственно - 30 и 40 м).

В южной оконечности мегавала, в пределах Вольминского поднятия, отмечено положительное гравитационное поле. Отдельные локальные новейшие структуры выражены максимумами поля силы тяжести. Магнитное поле - относительно положительное. В осевой части этой структуры гравимагнитные аномалии имеют субширотное направление. Судя по вышеизложенному, можно предположить, что в пределах Вольминского поднятия на глубине расположена плотная глыба консолидированного фундамента. "Оживление" этой глыбы в новейшее время и ее поднятие, имеющее субширотное направление, привело к неполной инверсии древней впадины, которое выражалось в образовании новейшей морфоструктуры. По-видимому, с глубинными восходящими молодыми движениями плотной глыбы фундамента связано изменение направления течения р. Печоры (река обтекала молодое поднятие).

Центральная часть мегавала, совпадающая по площади с палеозойским Печоро-Кожвинским валом, характеризуется интенсивным положительным гравитационным полем.

Все локальные новейшие поднятия выражаются максимумами поля силы тяжести. Новейшие разломы, выраженные линеаментами рельефа, зонами дислокаций в антропогеновом чехле и источников минерализованных вод, совпадают с линейными градиентами гравитационных полей и линейными магнитными положительными аномалиями. Эти факты говорят о глубинной природе и древнем заложении новейших нарушений.

Почти повсеместно положительные локальные новейшие морфоструктуры соответствуют по площади аналогичным магнитным аномалиям.

По-видимому, этот факт связан с движениями по разломам фундамента, которые вызывали поднятие древних интрузий и образование новейших морфоструктур.

Положительное гравитационное поле, наблюдаемое на рассматриваемой площади, связано с большой мощностью плотных палеозойских пород.

В районе Лынгусюрского поднятия (Лая-Вокская структура) наблюдается общее отрицательное магнитное и гравитационное поля.

Аномалии полей, как правило, ортогональны простианию новейших поднятий.

В северной части Большеземельского мегавала регистрируется сложная картина гравимагнитных полей. Восточным площадям соответствуют гравитационные минимумы, а западным - максимумы силы поля силы тяжести.

Новейшим поднятиям этой площади, как правило, соответствуют положительные зоны и аномалии магнитного поля, а опусканиям - отрицательные магнитные аномалии.

Частые виргации морфоструктур в пределах мегавала хорошо согласуются с плановым расположением положительных магнитных аномалий.

Основываясь на изложенном, можно предположить, что простижение новейших новообразованных структур совпадает с направлением различных тел в фундаменте. Движения последних в новейшее время ($M - An$) и вызвало образование локальных морфоструктур.

Очевидно, и здесь имеет место молодая и неполная инверсия прогибов и впадин в фундаменте и палеозойском осадочном чехле.

Ижма-Печорская новейшая впадина по площади гораздо меньше аналогичной структуры, выделяемой по поверхности карбонатного палеозоя и фундамента.

Новейшая впадина хорошо выражена в рельефе крупным понижением, простирающимся с юго-востока на северо-запад. На юго-западе и западе эта отрицательная морфоструктура ограничена Тиманской грядой, а на севере - Большеземельским мегавалом. Северо-восточные, юго-восточные и южные границы впадины менее четкие и проводятся по крыльям Печоро-Кожвинского вала и склонам Малокожвинского и Велью-Тэбукского новейших поднятий.

На западе и северо-востоке границы впадины осложнены кулисобразными новейшими разломами, выраженными линеаментами рельефа и зонами дислокаций в антропогеновой толще. Разломы хорошо выражены в палеозойском чехле и фундаменте. Так, например, зона кули-

сообразно расположенных нарушений с амплитудой до 0,5-1 км по юго-западному крылу Печоро-Кожвинского вала Н.Д.Матвиевской и В.С.Хуравлевым [50] объединяются в главную систему разломов этой структуры.

Новейшая Ижма-Печорская впадина наклонена в северо-западном направлении, где расположены ее наиболее погруженные площади. Мощность антропогеновых осадков увеличивается в том же направлении и превышает 150 м. Образование мезозоя на этих площадях характеризуется также повышенными мощностями, хотя в ряде мест (долина р. Ижмы) они спародически выходят на поверхность.

Большим площадям северной половины впадины характерны геолого-геоморфологические признаки унаследованного погружения.

Центральные и южные территории впадины приподняты по отношению к северным. Здесь наблюдаются геоморфологические признаки морского воздымания и расположены новейшие инверсионные структуры (Седмесский вал и др.).

Несмотря на молодое поднятие большей площади впадины, она, как современная отрицательная структура, морфологически выражена довольно четко.

Поверхность складчатого фундамента в пределах Ижма-Печорской новейшей впадины ступенчато погружается на север и восток от 500-1000 м до 2800-3000 м. В целом, как по фундаменту, так и по поверхности карбонатных толщ палеозоя, новейшая впадина имеет прямое отражение. Наиболее погруженные части структуры совпадают с котловинами фундамента.

Седмесский вал, как упоминалось, в целом инверсионен и, кроме своей северной части, имеет обратное отражение в фундаменте. В северной же его половине наблюдается полное совпадение выступов фундамента с площадью поднятой палеозойского осадочного чехла и новейших морфоструктур (Верхне-Лыжская, Ижно-Седельская). По деформированной поверхности доантропогеновых пород вал имеет амплитуду в 55-60 м.

Относительная амплитуда позднеантропогенного поднятия вала достигает 30-40 м.

Ижма-Печорская новейшая впадина - структура унаследованная, что хорошо видно при анализе мощностей и фаций осадочного комплекса и поверхности рифейского фундамента.

По данным В.А.Дедеева [28], формирование древней Ижма-Печорской впадины происходило в два этапа: первый связан с "интенсивными постуными движениями рифейской складчатости - с общим воздыманием краевого поднятия и центральных антиклиниориев и прогиба-

нием внутренней впадины" (с.27).

Первый этап формирования знаменуется накоплением мощных терригенных толщ седиольского, а затем нибельского комплексов.

Второй же этап связывается В.А.Дедеевым с заключительной фазой Полярно-Уральского тектогенеза, когда формируются мощные (до 1000 м) терригенные отложения поздней перми и триаса.

По-видимому, можно выделить и третий, заключительный этап формирования новейшей Ижма-Печорской впадины, в начале которого в связи с общими погружениями всей Печорской синеклизы происходит накопление мощных толщ, преимущественно морских, антропогеновых осадков.

Конец третьего этапа характеризуется общим дифференцированным поднятием впадины и связанным с этим резким сокращением ее площади. Особо интенсивное позднеантропогеновое поднятие регистрируется в центральных и южных частях впадины по аномалиям строения современного рельефа, конфигурации гидросистем и другим геоморфологическим показателям.

Ижма-Печорская впадина характеризуется пониженным и отрицательным гравитационными полями. Наиболее погруженные ее части совпадают с локальными минимумами поля силы тяжести или с относительно пониженными его значениями.

В пределах Седмесского вала и его локальных новейших структур наблюдается совпадение морфоструктур и максимумов силы тяжести.

Площади всей впадины соответствуют относительно положительное магнитное поле с отдельными локальными максимумами и минимумами. Западная часть новейшей морфоструктуры характеризуется относительными минимумами, а восточная - относительно повышенными значениями магнитного поля.

Велью-Табукское, Малокожвинское поднятие и Печоро-Кожвинский вал (южные части древнего вала аналогичного наименования) характеризуются резким сокращением мощности антропогеновых осадков и преобладанием в их разрезе субконтинентальных и континентальных, преимущественно алевритистых фаций.

Два первых поднятия хорошо выражены в современном рельефе и по деформированной новейшими движениями поверхности доантропогенных пород.

В пределах всех поднятий, окружающих Ижма-Печорскую впадину, наблюдается полный комплекс геоморфологических и морфометрических показателей новейшего воздымания (орографическая выраженность локальных новейших структур, радиальная или облекающая гидросеть

[82], глубокий эрозионный врез и врезанные меандры, деформация морских и речных террасовых уровней, зоны дислокаций рыхлых осадков, оконтуривающих локальные морфоструктуры и многое другое).

Все перечисленные морфоструктуры и локальные новейшие поднятия в их пределах находят свое выражение в морфологии поверхности доантропогеновых пород, фундамента и палеозойских осадочных образований.

Печоро-Кожвинский вал, выраженный в современном рельефе в виде цепи отдельных платообразных возвышенностей, по поверхности доантропогеновых пород предстает как единый вал, с амплитудами от 40 до 70 м.

Аналогичные результативные относительные амплитуды новейших поднятий в пределах Велью-Тэбукской и Малокожвинской морфоструктур достигают также 60–80 м. Величины позднеантропогеновых локальных положительных движений равны 20–25; 30–40 и 50–60 м соответственно.

По-видимому, основной прирост новейших амплитуд этих структур имел место в позднеантропогеновое время, время окончательной моделировки современного рельефа. Вероятно, что окончательное формирование залежей нефти и газа в пределах этих структур связано с новейшим тектоническим этапом. Так, например, в пределах Западно-Тэбукского поднятия переформирование нефтяных залежей и миграция углеводородов вверх по разрезу осадочного чехла, по нашему мнению, связана с активизацией разломов и вертикальными движениями по ним в неоген-антропогеновое время.

В гравитационном поле рассматриваемым новейшим морфоструктурам, вплоть до локальных поднятий, соответствуют крупные аномалии и максимумы поля силы тяжести.

Новейшие дизъюнктивы совпадают с большими гравитационными градиентами и линейными положительными магнитными аномалиями, что доказывает их глубинную природу.

В восточной части Малокожвинского поднятия прослеживаются значительные положительные магнитные аномалии. Западная часть этого поднятия и Велью-Тэбукская морфоструктура расположены в области отрицательных значений магнитного поля.

В целом территория рассматриваемых поднятий расположена в области глубинных разрывов и интенсивной древней магматической деятельности, чем и объясняется сложная картина магнитных и гравитационных полей.

Интенсификация движений по разломам блоков фундамента и свя-

занный с этим рост древних интрузий имели место и в новейший тектонический этап и обусловили образование современных морфоструктур.

Детальный анализ строения фундамента и расположения локальных структур осадочного чехла, их амплитуд, интенсивности и газо- и нефте содержания в пределах Тимано-Печорской области показал, что на этой территории можно выделить более мобильные и относительно стабильные зоны. Ижма-Печорская впадина, по сравнению с Тиманской грядой и Печоро-Кожвинским валом, является относительно стабильной областью.

Наиболее перспективными в отношении поисков крупных месторождений нефти и газа являются высокоамплитудные и крупные по объему локальные структуры послениженермского формирования, неотектонически активные, приуроченные к разломам и расположенные в подвижных тектонических зонах с большой мощностью осадочного чехла [77].

Однако территории "стабильных" областей, приближенные к подвижным зонам или заключенные между ними (южная половина новейшей Ижма-Печорской впадины), так же более продуктивны в отношении нахождения залежей нефти и газа, по сравнению с их центральными частями.

Верхне-Печорская впадина (мегапрогиб) расположена в южной половине древнего Предуральского краевого прогиба и вытянута в меридиональном направлении. Морфологически новейшая впадина выражена крупным понижением в рельефе и имеет четкие ступенчатые борта, осложненные новейшими разломами.

Западная граница этой морфоструктуры проводится по структурно-абразионным уступам, ограничивающим Омра-Сойвинский выступ Тимана.

Восточная граница совпадает с передовыми, линейными, и осложненными разломами, складками Уральского кряжа. Северная граница условна и проводится по Велью-Тэбукскому и Малокожвинскому поднятиям. На площади впадины расположены значительные новейшие депрессии и прогибы (Дутовский, Мыльвинский и др.), а также молодые поднятия. В пределах всей впадины относительно увеличена мощность антропогеновых осадков (более 80 м), тогда как на площади новейших поднятий этой территории она сокращена до 10–20 м (Березовский вал и др.).

Дифференцированность новейших движений в пределах впадины сказалась и на их геоморфологом-морфометрической выраженности. На

площади депрессий регистрируются геоморфологические показатели молодого погружения, тогда как положительные позднеантропогенные морфоструктуры характеризуются геоморфологическими и морфометрическими признаками поднятий. Относительные амплитуды новейших погружений впадины, подсчитанные по деформациям доантропогеновой поверхности, достигают 50–70 м, тогда как те же величины относительных поднятий, кроме Березовского вала, не превышают 25–35 м. Рассматриваемая впадина – структура унаследованная, но в новейшее время из-за дифференцированности погружения центральные ее площади испытывают относительное поднятие.

Верхне-Печорской новейшей впадине в фундаменте соответствует крупный прогиб с глубинами, увеличивающимися с запада на восток от 3 до 10 км. Новейшая инверсия рассматриваемой структуры выражается в сдвиге ее оси на запад по отношению к наиболее погруженным частям прогиба фундамента. Этот факт, по-видимому, связан с новейшими движениями в пределах Уральского кряжа, которые имели взбросово-надвиговый характер и оказали свое влияние на новейший план впадины.

Молодые тектонические нарушения, выраженные в рельфе в прибрежных частях впадины, полностью совпадают с разломами в палеозойском осадочном чехле и фундаменте. В центре впадины новейшие дизъюнктивы сдвинуты по отношению к глубинным разломам или "оперируют" их.

Девяносто процентов структур палеозойского осадочного чехла в пределах впадины совпадают по площади с новейшими морфоструктурами. Вуктылское газовое месторождение в новейшем структурном плане представлено тремя малоамплитудными (до 20–25 м) поднятиями.

Березовский вал, относительные новейшие амплитуды которого достигают 80–100 м, хорошо выражены по кровле палеозойских отложений.

Все это позволяет говорить о полной унаследованности как отдельных прогибов, так и локальных поднятий в пределах новейшей Верхне-Печорской впадины.

В гравитационном поле площади всей отрицательной морфоструктуры отвечают отрицательные аномалии. Отдельные локальные новейшие поднятия совпадают с четкими максимумами силы тяжести и относительно повышенными аномалиями, а наиболее погруженные части впадины характеризуются резко отрицательными гравитационными аномалиями.

Магнитное поле в пределах впадин отличается преимущественно

положительными значениями. В ряде случаев локальные магнитные максимумы совпадают с новейшими небольшими поднятиями. По-видимому, этот факт связан с активной древней магматической деятельностью в пределах Предуральского краевого прогиба. Последующее поднятие древних интрузий, связанное с активизацией разломов и воздыманием по ним блоков фундамента в новейшее время, вызвало образование молодых морфоструктур. Аналогичное нахождение в ядре новейшего поднятия крупной интрузии наблюдается в пределах Исаковской структуры и Милиной горы [48].

Денисовский новейший прогиб расположен северо-восточнее Печоро-Кожвинского вала и вытянут в северо-западном направлении. Структура хорошо выражена в современном рельфе и поверхности доантропогенных пород. Наиболее погруженные площади регистрируются на юго-юго-востоке прогиба (Большесынинская новейшая впадина). Здесь мощность антропогенных осадков, представленных преимущественно морскими, глинистыми фациями, превышает 170 м. На этих же площадях регистрируется целый комплекс геоморфологических показателей молодого погружения, амплитуда которого достигает 60–70 м.

В северо-северо-западной половине прогиба и его юго-юго-восточной оконечности наблюдаются геоморфологические признаки новейшего поднятия. Области опускания представлены здесь цепью небольших котловин с амплитудами в 20–30 м.

Описываемый прогиб – структура унаследованная, так как она полностью выражена в рельфе фундамента и палеозойском осадочном чехле.

Площадь новейшего Денисовского прогиба сильно сокращена по сравнению с территорией древнего прогиба аналогичного наименования. В мезо-кайнозойское, а особенно новейшее и позднеантропогенное время, происходит частичная, неполная инверсия палеозойского прогиба, зафиксированная в современном рельфе и по поверхности доантропогенных пород. В северной половине структуры сокращение ее площади вызвано воздыманием Большеземельского вала, а на юго-востоке (Большесынинская впадина по фундаменту) – взбросово-надвиговыми движениями в пределах Уральского кряжа и образованием структурных новейших выступов. Здесь наблюдается 50-процентное перекрытие площадей новейших морфоструктур и локальных поднятий палеозойского осадочного чехла.

Как будет видно ниже, отмеченный факт наблюдается почти у всех новейших унаследованных отрицательных структур (Хорейверский, Косы-Роговской, Лемвинский и Хайпудырский прогибы, Коротаихин –

ская впадина). Сокращение площадей древних впадин и прогибов в новейшем структурном плане связано с общим дифференцированным поднятием Печорской синеклизы в позднеантропогеновое время [15, 18, 26, 39, 68]. Это поднятие, как уже упоминалось, зафиксировано в положительных деформациях доантропогеновой поверхности, маркирующих горизонтов в антропогеновой толще и геоморфологических уровнях на территории отрицательных структур палеозойского осадочного чехла и фундамента [15, 16, 73, 81]. По глубоким горизонтам осадочного чехла и поверхности фундамента эта неполная инверсия еще не нашла своего отражения.

Денисовскому новейшему прогибу соответствует по площади общее отрицательное гравитационное поле с отдельными максимумами совпадающими с новейшими локальными поднятиями.

В западной части рассматриваемой структуры наблюдается положительное магнитное поле, связанное с внедрением основной и ультраосновной магмы по разломам, ограничивающим палеозойский Печоро-Кожвинский вал.

Северо-восточная и центральная площади прогиба характеризуются отрицательным магнитным полем с редкими максимумами, приуроченными к положительным локальным морфоструктурам.

Хорейверский мегапрогиб выделяется как единая новейшая структура аналогично глубинной впадине одноименного названия. В действительности, он представлен двумя самостоятельными отрицательными морфоструктурами – Паханческим прогибом и Кытанской впадиной. Последние разделены в районе верхнего течения р. Ульяр-Яги небольшим поперечным поднятием с амплитудой по поверхности доантропогеновых пород в 20–25 м.

Выделение мегапрогиба как единого целого основывается на одинаковых мощностях и фациях мезо-кайнозойских осадков в различных частях этой территории, которые фиксируют погружение всей структуры в течение большей части новейшей истории.

Расположенный на севере рассматриваемой отрицательной морфоструктуры Паханческий прогиб вытянут в субмеридиональном направлении и хорошо выражен в современном рельфе и по поверхности доантропогеновых пород. Его границами на востоке служат ступенчатые и осложненные новейшими разломами склоны Верхнеколвинского новообразованного поднятия. Западная граница проводится по склонам северного окончания Большеземельского вала, на данной территории совпадающего по площади с Колвинским древним валом. И эта граница осложнена серией новейших разломов глубинного заложения. Послед-

ние трассируются по линейным в плане выходам спонтанных газов (рр. Черная, Хильчу), линеаментам рельефа в виде абразионных уступов и зонам гравитационно-тектонических дислокаций в антропогенной толще. Северная граница структуры скрыта водами Печорского моря, а южная – совпадает с вышеупомянутым поднятием в бассейне р. Ульяр-Яги.

В пределах Паханческого прогиба наблюдаются "классические" геоморфологические признаки молодого опускания: активная заболоченность и заозеренность территории, подтопление притоков основной гидросети, "свободное блуждание" рек, отрицательные деформации морских и речных террасовых уровней, подтопление пойменных террас и др.

Мощность антропогеновых осадков, представленных моногенными глинистыми морскими фациями, превышает 150 м. Абсолютная результативная амплитуда новейшего опускания прогиба, определенная по деформированной поверхности доантропогеновых пород, превышает 140 м, тогда как относительная – равна 40–60 м.

Кытанская впадина расположена в южной половине рассматриваемого мегапрогиба. В целом структура простирется аналогично Паханческому прогибу и только в восточной своей части имеет северо-восточное направление. На севере впадина ограничена Верхнеколвинским поднятием, на востоке – Адзьвинским мегавалом, а на западе – Лайским валом. Южная ее граница условна и проводится по Усинскому и Боганскому поднятиям.

Границы структуры осложнены новейшими разломами, которые регистрируются и на площади всей впадины. Здесь они имеют субширотные и субмеридиональные направления, оконтуривают отдельные котловины и поднятия и трассируются аналогично упомянутому для площади Паханческого прогиба.

Мощность антропогеновых отложений на рассматриваемой территории превышает 200 м. Новейшие осадки представлены преимущественно глинистыми ледово-морскими, морскими и лагунными фациями. Мощность современных озерно-аллювиальных отложений в отдельных котловинах превышает 20 м.

В целом впадина хорошо выражена орографически и по поверхности доантропогеновых пород. В ее пределах отмечены аналогичные перечисленным выше четкие геоморфологические, а также морфометрические показатели молодого погружения. Абсолютная амплитуда новейшего прогибания структуры, подсчитанная по доантропогеновой поверхности, превышает 150 м, относительная амплитуда равна 50–60 м.

В пределах характеризуемой владины выделяются Федотовская, Коньковерская и Лызауская крупные котловины и Сандивейский и Возейский субширотные новейшие валы, на площади которых расположены отдельные локальные поднятия. Как валы, так и локальные поднятия выделяются в деформированной доантропогеновой поверхности и по деформациям лагунных и морских террас, по интенсивному эрозионному расчленению, аномалиям в плановом рисунке гидросети [82] и морфометрическим показателям [82, 42]. Котловины выражены максимумами отрицательных деформаций доантропогеновой поверхности и выделяются по концентрированным на небольших площадках геоморфологическим и морфометрическим показателям молодых погружений.

Относительные амплитуды деформации доантропогеновой поверхности в пределах Сандивейского вала не превышают 15-20 м, а в пределах Возейского достигают 40-60 м. Те же амплитуды на площади котловин составляют 30-40 м.

Хорейверский мегапрогиб в целом хорошо выражен по поверхности карбонатных толщ палеозоя и фундамента, но в новейшем структурном плане из-за позднеантропогенного поднятия упомянутого выше (с. 19-21) и зафиксированного в деформациях доантропогеновой поверхности, значительно сокращена его площадь.

Образование Сандивейского и Возейского поперечных валов, перемычки между Пахансским прогибом и Кыттанской владиной и ряда субширотных новейших разломов связано с молодыми движениями в пределах Уральского кряжа и перестройкой ряда морфоструктур по герцинскому (уральскому) плану.

В пределах Хорейверского мегапрогиба целый ряд локальных поднятий палеозойского осадочного чехла хорошо выражен в деформациях доантропогеновой поверхности, геоморфологических характеристиках и современном рельфе. Обычно наблюдается некоторый сдвиг сводов и разворот осей новейших поднятий по отношению к структурам осадочной толщи. Такие сдвиги иногда достигают 55-60% площади поднятия. Разворот оси новейшей морфоструктуры превышает 25-30° (Сандивейское поднятие).

Локальные структуры палеозойского осадочного чехла в пределах краевых зон крупных поднятий, оконтуривающих новейшие мегапрогибы, или расположенные на его границах также хорошо выражены в рельфе и положительных деформациях доантропогеновой поверхности. Особенно это относится к структурам древнего Колвинского вала и Боганскому поднятию.

Амплитуда новейшего относительного поднятия Северо-Харьгинской, Харьгинской, Южно-Харьгинской, Вазейской, Усинской и Бон

ганской структур соответственно равны 40, 35, 40, 60, 30 и 40 м. Следует подчеркнуть, что и на этих площадях отмечается некоторое несовпадение площади и осей новейших поднятий и структур осадочного чехла.

Возейский поперечный вал, за исключением одноименного локального поднятия, расположенного уже в пределах древнего Колвинского вала, не находит своего выражения в рельфе фундамента, но в 10-12 км южнее его прослеживается аналогичный широтный подъем подошвы палеозойских образований.

Упомянутые "сдвиги" сводов новейших структур регистрируются в северо-западном направлении, а разворот осей в северо-восточном. Отмеченные факты, по-видимому, также связаны с частичной перестройкой новейшего плана в наиболее погруженных областях синеклизы по Уральским направлениям.

Рассматриваемому мегапрогибу соответствует в общем отрицательное гравитационное поле, слагающееся из целого ряда локальных минимумов в пределах Кыттанской владины и наиболее четко выраженное в северо-западной его оконечности, на площади Пахансской отрицательной структуры.

Новейшим локальным опусканиям южной части прогиба соответствуют локальные минимумы, а поднятиям - четкие максимумы гравитационного поля (Сандивейский и Возейский валы и Усинское поднятие).

Магнитное поле в северной части структуры - отрицательное, а в южной - положительное. Отмечается четкое плановое совпадение локальных положительных магнитных аномалий с такими же новейшими поднятиями, особенно в пределах упомянутых валов и Усинской структуры. Новейшие разломы, как правило, тяготеют к градиентным зонам гравимагнитных полей или границам положительных магнитных аномалий и отрицательных аномалий силы тяжести.

В результате анализа соотношения гравимагнитных полей с новейшими структурами в пределах Хорейверского прогиба можно сделать следующие заключения.

1. Конфигурация новейшего мегапрогиба находит свое отражение в плановом рисунке магнитных полей и в меньшей степени - гравитационных аномалий.

2. Большая часть локальных новейших поднятий в плане соответствует положению максимумов поля силы тяжести и ультраосновных и основных интрузий.

Верхнеколвинское поднятие, расположенное в бассейне верхнего

Рассматриваемый прогиб прямо выражен в палеозойской толще и по поверхности фундамента. Глубины до условных отражающих геофизических горизонтов в этой толще достигают 4300 м (Кузовкова, Синсар и др., 1971) и до поверхности фундамента равны 7,5-8 км (Должанский, 1971).

В гравитационном поле на площади этой отрицательной структуры наблюдаются четкие отрицательные аномалии, а ее границы совпадают с большими линейными градиентами поля силы тяжести и полосовыми магнитными максимумами.

В результате анализа мощностей и фаций антропогеновых, мезозойских и палеозойских отложений [28, 73] можно заключить, что рассмотренный новейший прогиб - древняя структура, претерпевшая унаследованное развитие в течение, по крайней мере, мезо-кайнозойского времени. В позднем антропогене произошло сокращение площади новейшей структуры, связанное с поднятием Адзьвинского (см. ниже) вала, но и в настоящее время отмечаются геоморфологические пока-затели интенсивного прогибания его северной оконечности.

Адзьвинский мегавал - сложнопостроенная крупная новейшая структура, имеющая северо-восточное простирание, и в большей своей части совпадающая по площади с древним палеозойско-мезозойским дислокативным мегавалом.

Территориально центральная часть мегавала совпадает с грядой Чернышева. Новейшей структуре рассматриваемого мегавала появлены многие исследования [26, 28, 73].

При характеристике Адзьвинского мегавала мы остановимся лишь на его основных чертах.

Мегавал сложен средне-верхнепалеозойскими и триасовыми породами, на которых в ряде случаев с угловым и стратиграфическим несогласием залегают верхнеюрские образования. Древние породы и перекрывающие их мезо-кайнозойские осадки на большей территории структуры смяты в крутые, асимметричные и часто перевернутые складки. Складчатость постепенно затухает в северо-западном направлении от наиболее приподнятой части мегавала.

Современный структурный план рассматриваемой площади, "заженный" еще в пермо-триасовое время, начал свое окончательное формирование только со среднеюрского этапа.

На большой площади мегавала, кроме его северо-западной части, как крупные, так и локальные древние структуры, обнажены и прямо выражены в рельфе.

Мощность антропогенных осадков, имеющих яркие черты "сводо-

вого типа разреза" [49, 73, 80] различна - от нуля до 200 м.

Структура прекрасно выражена в геоморфологических характеристиках, определяющих интенсивное новейшее поднятие.

По поверхности доантропогенных пород мегавал приподнят в южной и центральной части. Ось его уандулирует в северо-восточном направлении. Центральные площади структуры представляют собой сложный приподнятый горст, ограниченный обновленными и выраженным в рельфе и рыхлом чехле глубинными разломами. Последние на всей рассматриваемой территории трассируются по четким, вышеперечисленным (с. 48-49) признакам и выходам термальных и минерализованных вод.

В пределах новейшего Адзьвинского мегавала выделяются Макарихинский (Неруюсский) вал, Усинский прогиб и дислокативный вал (сложный горст) Чернышева. На севере к этой крупной структуре примыкает вал (горст) Чернова.

Макарихинский вал выражен в рельфе и особенностях разреза рыхлых отложений. В его пределах на поверхность выходят породы мезозойского возраста (рр. Макариха, Нерую и др.). Абсолютная амплитуда позднеантропогенного поднятия, вычисленная по деформациям геоморфологических уровней и маркирующих горизонтов антропогенной толщи, достигает 100 м. Относительное поднятие вала по деформированной доантропогенной поверхности равно 60-70 м.

Вал имеет полное совпадение по площади со структурой в палеозойском осадочном чехле и фундаменте.

Все локальные поднятия в пределах вала (Макарихинские, Салюкинские и др.) активизированы в новейшее время и находят отражение в геоморфологических и морфометрических показателях, перечисленных для вышеуказанных морфоструктур (с. 48).

Новейший Усинский прогиб, в пределах которого мощность рыхлых отложений превышает 100 м, разделяет Макарихинский вал и горст Чернышева. Ось прогиба погружается в юго-западном направлении. Структура выражена в современном рельфе. В северо-восточной и центральной ее частях наблюдаются четкие геолого-геоморфологические показатели молодого опускания.

Прогиб, так же как и расположенные и совпадающие по площади со структурой в палеозойском чехле Кушторское поднятие, хорошо выражены в деформированной доантропогенной поверхности.

Относительная амплитуда погружения площади прогиба, определенная по этой поверхности, равна 40-45 м. Та же амплитуда поднятия Кушторской структуры не превышает 20 м. В фундаменте прогибу соответствует желоб с глубинами до 7 км.

Горст Чернышова прекрасно выражен в рельефе серией антиклинально изогнутых, платообразных возвышеностей, ограниченных структурно-абразионными уступами. Возвышенности пространственно совпадают с обнаженными палеозойскими структурами.

Поднятия в пределах вала (горста) Чернышова нередко расположены кулисообразно и разделены "живущими" разломами. Многие новейшие нарушения являются "оперяющими" по отношению к глубинным дизъюнктивам.

Абсолютная амплитуда новейшего воздымания вала (горста) Чернышова в отдельных местах превышает 150 м, тогда как относительная – 60–80 м. В фундаменте рассмотренному валу соответствует крупный горстообразный выступ.

Вал (горст) Чернова примыкает к Адзьвинскому мегавалу на севере и имеет северо-западное простижение. Выделяется он по тем же геолого-геоморфологическим показателям, что и горст Чернышова. В рельефе наиболее хорошо выражены его восточно-юго-восточные и центральные площади (Вашуткинское поднятие).

Северо-западная часть вала, несмотря на выходы на поверхность палеозойских отложений, в рельефе и геоморфологических характеристиках выражена хуже. По поверхности доантропогеновых пород рассматриваемая структура выражена довольно отчетливо и в плане представлена цепью вытянутых локальных поднятий, расположенных на едином основании. Относительная амплитуда последних уменьшается с юго-востока на северо-запад от 50 до 20–15 м.

Следовательно, ось новейшего вала undулирует в северо-западном направлении. Вал ограничен и разбит серией глубинных, активизированных разломов, которые находят свое выражение в рельефе и антропогеновом чехле.

В фундаменте валу (горсту) Чернова соответствует аналогичный приподнятый горст.

Возраст основной складчатости описываемой территории раннесреднеюрский. "Время заложения разломов и, видимо, самого горста приурочено к началу триаса, когда по глубоким трещинам произошло изливание базальтов [73], с.92. Рост горста Чернова продолжался и в новейшее время, но, по-видимому, в позднем антропогене интенсивнее поднимались центральные и восточные площади вала при относительном отставании его северо-западной оконечности.

Адзьвинский мегавал характеризуется общим положительным гравитационным полем с отдельными максимумами силы тяжести, в плане совпадающими с локальными новейшими поднятиями.

Иключение представляют крайне северная площадь структуры и осевая часть юга вала Чернышова, где наблюдается четкая обратная зависимость.

Усинский прогиб довольно хорошо сопоставляется с узкой зоной линейных и изометрических локальных минимумов поля силы тяжести.

Макарихинскому валу соответствуют крупные гравитационные положительные аномалии. Границы структуры совпадают с высокими линейными гравимагнитными градиентами.

Вал Чернова также характеризуется положительным гравитационным полем с четкими градиентами по его границам.

Повсеместно в пределах этой положительной структуры наблюдается совпадение локальных новейших поднятий с максимумами поля силы тяжести.

Дизъюнктивные нарушения на площади Адзьвинского мегавала повсеместно выражаются в больших линейных градиентах гравитационного поля.

Основные положительные магнитные аномалии в пределах южной и центральной частей всей крупной структуры расположены ортогонально по отношению к направлению осей палеозойских и новейших поднятий. По-видимому, они отражают внутреннюю структуру фундамента. Отдельные магнитные максимумы, особенно в северной части мегавала, вблизи горста Чернова, совпадают с локальными неотектоническими поднятиями, в ядре которых, очевидно, находятся интрузии основных и ультраосновных пород триасового времени.

Глубина до магнитовозмущающих масс в пределах осевой части мегавала (горст Чернышова), по данным Б.Г.Должанского (1971), различна – от 0,5 до 1 км. Та же глубина в соседней Косью-Роговской впадине (новейшем прогибе) составляет 10–14 км.

Косью-Роговской прогиб расположен в бассейнах р.р. Роговая и Косью и ограничен Адзьвинским мегавалом, Конкомильским валом и валом Чернова. На юге и юго-востоке он примыкает к Уральскому кряжу.

Прогиб имеет четкие геолого-геоморфологические и орографические границы и хорошо выражен в рельефе и по поверхности доантропогеновых пород. Площадь новейшей структуры значительно меньше площади аналогичной впадины, выделяемой по поверхности карбонатного палеозоя.

На рассматриваемой территории и особенно в ее юго-западной части наблюдается полный комплекс геоморфологических и морфометрических показателей погружения: преобладают аккумулятивные террасы, много пойменных и каргинских ($A_{п3}$) реликтовых озер, обширных

болотных массивов. Долины рек широки и врезаны относительно не-глубоко, устья притоков главных рек подтоплены.

Мощность рыхлых осадков, представленных в основном в глинистых морских и лагунных фашиях, достигает 160-230 м.

Прогиб имеет относительно крутые, осложненные новейшими тектоническими разломами борта. Восточные его склоны более пологи. Осевая, наиболее погруженная часть структуры, представляет собой узкую синклиналь, ундулирующую на юго-запад и замыкающуюся на северо-востоке.

Тектонические нарушения по бортам прогиба и в его центральной части располагаются в плане кулисообразно, а на севере имеют субширотное направление. Трассируются они по вышеперечисленным геолого-геоморфологическим показателям.

Основываясь на имеющихся данных о распределении мощностей и фаший антропогеновых осадков (Рахманов, Матвеева, 1966; Алексеев и др., 1968), можно, по-видимому, говорить об унаследованном в течение всего новейшего времени опускании осевой и южной части прогиба. Крайне северная площадь структуры, напротив, отставала в движениях отрицательного знака, а с конца среднего антропогена начала интенсивно подниматься. В ряде случаев поднятие шло перпендикулярно оси прогиба (Верхне-Роговское поднятие, по В.И.Алексееву и др., 1968).

Относительная результативная амплитуда опускания прогиба за новейшее время превышает 60 м, а только за позднеантропогеновое время — достигает 20 м.

На севере структуры те же амплитуды локальных поднятий равны 20 и 15 м.

Прогиб выражен в палеозойском осадочном чехле и по поверхности фундамента, глубины до которого достигают 7 км (Должанский, 1971). Ось новейшей структуры сдвинута на запад по отношению к наиболее погруженным частям древней впадины.

Судя по мощностям и фашиям палеозойских и мезозойских отложений [26, 28, 73, 27], рассмотренный прогиб — структура древняя, унаследованная, лишь обновленная в неоген-антропогеновое время.

По площади Косью-Роговской прогиб совпадает с напряженным отрицательным гравитационным полем и положительными магнитными аномалиями, ортогонально направленными относительно оси новейшей структуры. По-видимому, магнитные аномалии и здесь связаны с вещественным составом глубокозалегающего фундамента.

Конкомильский новейший вал примыкает с востока к Косью-Роговскому прогибу, хорошо выражен в современном рельфе и доантропоген-

74

новой поверхности и имеет северо-восточное простижение.

Состоит он из двух поднятий: Микитюского и Ручьюского (Алексеев, 1968).

На площади вала наблюдаются многочисленные геоморфолого-морфометрические показатели интенсивного молодого поднятия. Мощности антропогеновых осадков хоть и велики (до 120 м), но относительно сокращены в его сводовой части, где, по данным М.С.Калецкой, 1958, выходят на поверхность породы раннего мела. Новейшие структуры, выделенные по деформациям геоморфологических уровней и маркирующие горизонтов в антропогеновой толще и ряду других показателей, наследуют сводовые изгибы пород мелового и палеозойского возрастов и поверхности фундамента с глубинами залегания до 6,5 км.

По данным В.А.Дедеева и П.Н.Сафронова, "конкомильский вал до пересечения его с р.Усой представляет собою продолжение виргирующей складки Ляпинского свода. Далее на восток (по глубоким горизонтам*) он может быть продолжен до Пай-Хоя" [28], с.46.

Относительные амплитуды новейшего поднятия вала до доантропогеновой поверхности увеличиваются в северо-восточном направлении до 20 до 60 м.

Рассматриваемая структура совпадает по площади с общим отрицательным гравитационным полем. Отдельным, наиболее интенсивным новейшим поднятиям, соответствуют относительно повышенные аномалии силы тяжести (Минитюская структура).

Новейшие разломы в южной части вала приурочены к гравитационным градиентам и к зонам смены положительных и отрицательных аномалий силы тяжести, имеющих линейные направления.

Магнитное поле в пределах вала положительное, общее его простижение согласуется с направлением структуры, но четкой закономерной связи между отдельными аномалиями и локальными морфоструктурами не наблюдается.

Лембинский прогиб примыкает с востока к рассмотренному выше валу, хорошо выражен в современном рельфе крупным понижением и имеет северо-восточное простижение.

Мощность антропогеновых осадков, разрез которых имеет черты "впадинного типа" [49, 79], превышает 100 м. Границы прогиба совпадают с рядом новейших разломов, трассируемых по линейным структурным уступам.

В настоящее время на площади структуры наблюдаются геомор-

* Примечание А.Ференс-Сороцкого.

Фологические показатели молодого поднятия, хотя до доантропогеновой поверхности она хорошо выражена как отрицательная форма с относительными амплитудами до 40 м. По-видимому, здесь имеет место частичная инверсия, начавшаяся с конца позднеантропогенного времени. По поверхностям карбонатного комплекса палеозоя и фундамента новейшей структуре соответствует крупный прогиб с глубинами в 2,5 и 9 км соответственно.

На рассматриваемой площади регистрируется отрицательное гравитационное поле. Магнитное поле в ее пределах – разнозначно. Западная его часть совпадает с положительными, а восточная – с отрицательными магнитными аномалиями. Отдельным локальным поднятиям соответствуют в плане относительно положительные осложнения магнитного и гравитационного полей. Новейшие дизъюнктивы, по-видимому, не имеют глубинной природы, так как не находят своего отражения в гравимагнитных полях.

Коротаихинская впадина расположена в бассейне р. Коротаиха и имеет Пай-Хойское простиранье. Она хорошо выражена в современном рельфе и доантропогеновой поверхности, относительная амплитуда погружения структуры по которой равна 80–100 м.

В пределах впадины отмечаются четкие геоморфолого-морфометрические показатели позднеантропогенного и современного опускания, аналогичные вышерассмотренным для других отрицательных новейших структур. Малоамплитудным (до 20 м) поднятием впадина разделена на две части: северо-западную и юго-восточную. Граница с Пай-Хоем осложнена новейшими разломами, представленными в рельфе структурными линейными уступами.

В северо-западной приморской оконечности структуры мощность рыхлых осадков превышает 120 м. Здесь преобладают глинистые ледниково-морские и морские фации.

Новейшая впадина имеет прямое отражение по поверхности карбонатного палеозоя и фундамента, но площадь ее, как и почти всех отрицательных структур, сильно сокращена. Ось новейшей впадины сдвинута на запад.

Наиболее погруженные части глубинной древней впадины (до 9 км) расположены под крупным инверсионным новейшим (позднеантропогенным) поднятием, примыкающим к Пай-Хойской гряде.

Площадь Коротаихинской структуры характеризуется отрицательным гравитационным полем, совпадающим с ней в плане и по простираннию.

Локальные новейшие поднятия и разломы в поле силы тяжести

выражены аналогично описанному при характеристике большинства структур. В восточной части впадины наблюдается положительное магнитное поле, а в западной – отрицательное. Смена знака полей прослеживается вдоль оси новейшей структуры, что позволяет предполагать наличие здесь глубинного "залеченного" нарушения. Соответствие между локальными магнитными максимумами и небольшими морфоструктурами в пределах рассмотренной впадины очень слабое.

Воркутская ступень расположена в северо-восточном углу Печорской синеклизы и с севера и востока ограничена Пай-Хоем и Уралом. В рельфе и по доантропогеновой поверхности структура выражена крупным возвышенным массивом, в пределах которого наблюдаются геоморфологические признаки новейшего поднятия.

Разрез рыхлых осадков сильно сокращен в мощности. По границам ступени регистрируются крупные дислокации антропогенных осадков (Афанасьев, 1964).

Рассматриваемая новейшая структура – инверсионная. В фундаменте здесь наблюдается крупная котловина с глубинами до 14 км. Аналогичное опускание отмечается и по глубоким горизонтам палеозойских пород.

Площади ступени, и особенно ее центральной части, соответствуют положительное гравитационное поле.

Небольшие морфоструктуры по площади и простираннию совпадают с локальными положительными аномалиями силы тяжести. Магнитное поле в целом – отрицательное и лишь в северной части ступени – положительное. Наблюдается плановая связь простираций положительных магнитных аномалий и локальных морфоструктур.

Новейшие дизъюнктивы хорошо совпадают с градиентами гравитационного поля.

Исходя из всего вышеизложенного, можно сделать следующие заключения:

В пределах Печорской синеклизы выделяются как унаследованные, так и новообразованные морфоструктуры.

Почти все крупные (I-го и частично II-го порядка) новейшие структуры находят то или иное выражение в нижнем структурном подъезаже и по поверхности фундамента и являются, таким образом, унаследованными. Исключение представляет Большеземельский мегавал, который является новообразованным и пересекает ряд древних тектонических элементов. Некоторые структуры II-го порядка также новообразованы.

Все структуры первого порядка, наибольшее число структур вто-

рого порядка (70%) и значительное число локальных морфоструктур (55–60%) находят свое прямое отражение в гравитационных полях.

В пределах Печорской синеклизы наблюдаются большие мощности плотных карбонатных палеозойских пород, которые создают значительный гравитационный эффект. Гравитационные аномалии, таким образом, почти целиком зависят от структуры осадочного чехла. Исходя из этого, можно предположить, что в большинстве случаев новейшие морфоструктуры отражают поднятия и опускания в палеозойском осадочном чехле.

Крупные новейшие структуры в магнитных полях выражаются гораздо хуже, чем в гравитационных.

В юго-западной части синеклизы, в пределах регионального магнитного минимума, выраженность новейших морфоструктур в магнитных аномалиях хуже, чем в северной половине рассмотренной территории. Отмеченный факт связан, по-видимому, с тем, что в северной части синеклизы из-за большей ее мобильности в пермо-триасовую эпоху регистрировалась активная магматическая деятельность по глубинным разломам.

Высокая мезо-кайнозойская мобильность этой территории обусловила рост древних интрузий по разломам и последующее образование над ними новейших морфоструктур.

В пределах Печорской синеклизы до 60% новейших локальных структур по площади совпадают с замкнутыми локальными магнитными максимумами и расположены над глубинными зонами тектонических нарушений.

Образование высокоамплитудных локальных морфоструктур, вероятно, вызвано движениями по разломам блоков фундамента.

Новейшие дизъюнктивы в зонах большой неоген-антропогеновой тектонической активности (Тиман, Печоро-Кожвинский вал и краевые части синеклизы) в подавляющем большинстве совпадают с четкими гравитационными и магнитными градиентами и линейными положительными аномалиями.

Указанный факт подчеркивает глубинную природу новейших нарушений в этих местах.

В остальной части синеклизы, в большинстве своем, новейшие разломы являются либо "операкциями" по отношению к глубинным нарушениям, либо приурочены к границам локальных моногенических гравимагнитных аномалий. Последние, как правило, отражают интрузии различной величины.

Некоторая часть (до 30%) новейших разломов не находит свое-

го выражения в гравимагнитных полях. По-видимому, эти нарушения поверхности и не проникают глубже мезо-кайнозойской осадочной толщи.

Ференс-Сорокий А.А., Удот Г.Д. (ВНИГРИ)

НЕКОТОРЫЕ НОВЫЕ ДАННЫЕ О ГЕОМОРФОЛОГИЧЕСКОЙ ВЫРАЖЕННОСТИ ЛОКАЛЬНЫХ СТРУКТУР И ПРИУРОЧЕННЫХ К НИМ МЕСТОРОЖДЕНИЙ НЕФТИ И ГАЗА ТИМАНО-ПЕЧОРСКОЙ ПРОВИНЦИИ

Как справедливо указывает С.К.Горелов [24], с.3 "Специфика геоморфологического анализа нефтегазоносных территорий определяется тем, что важнейшей задачей исследований служит прогноз глубинных структур, поскольку они контролируют размещение промышленных залежей нефти и газа".

Геоморфологический анализ позволяет выявить динамику структур в последние этапы геологической истории, дать оценку новейшей активности структур.

В настоящей работе приводятся результаты решения обратной задачи: выявление геоморфологической выраженности локальных структур осадочного чехла и приуроченных к ним месторождений нефти и газа на территории Тимано-Печорской провинции.

Рельеф является производным от взаимодействия двух факторов: тектонического и экзогенного, при ведущей роли первого [24, 51, 52], [56]. Как показали многолетние исследования авторов, этот факт является справедливым и в отношении геоморфологической выраженности локальных структур осадочного чехла и приуроченных к ним месторождений нефти и газа. В ходе работы по выявлению новейших структур на исследованной территории был использован комплекс геолого-геоморфологических показателей молодых движений, разработанный во ВНИГРИ, УГГУ, МГУ, НИЛЗарубежгеологии и целом ряде других организаций [15, 26, 56, 73] и известный по литературным данным [10, 15, 51, 56, 82].

Выявление амплитуд новейших и позднеантропогеновых движений в пределах локальных морфоструктур производилось по деформированной донеогеновой поверхности [55, 56], руководящим геоморфологическим уровням и маркирующим горизонтам в антропогеновой толще [14, 15, 16, 26], а также по морфометрическим данным [9, 42, 74, 82].

Активизация локальных структур осадочного чехла в новейший и позднеантропогенный тектонические этапы в рельефе выразилась различно. Последнее зависело не только от интенсивности новейших

движений в отдельных районах провинции, но и от длительности их проявления (табл.2).

По-видимому, наибольший комплекс орографических и геоморфологических показателей поднятия, наблюдаемый на площади той или иной структуры, является качественным признаком ее наибольшей активности. Напротив, один или два геоморфологических показателя поднятия или отсутствие их – позволяют предполагать малую активность или пассивность структуры в неоген-антропогеновое время,

Наиболее показательным признаком активности структуры в новейший тектонический этап является ее орографическая выраженность (прямой рельеф по Мещерякову [51]). Примерами таких структур могут служить Западно-Тэбукское, Ябрягинское, Хосолтинское, Нижне- и Верхне-Омринские, Эшмесское, Рудянское, Северо-Шапкинское и др. поднятия). Следует подчеркнуть, что на исследованной территории из 264 наиболее обоснованных структур 131 поднятие (т.е. 50%) прямо выражено орографически при 100% совпадении площадей с крупной возвышенностью. К этому же типу поднятий можно отнести и структуры, выраженные по "тектоническому рельефу" [42].

Активные поднятия, выявленные по "альтиметрическому способу" [74, 76] "метода морфозигопс" (Шубина, Аристархова, 1965), также в большинстве случаев совпадают с повышенным водораздельным рельефом. Но в этом случае, учитывая большую точность способа, сюда попадают и структуры осадочного чехла, активизация которых сказывалась только на деформациях морских, озерных и речных террасовых уровней, вплоть до высокой поймы (Нарьян-Марское поднятие).

Тем не менее, забегая вперед, следует отметить, что около 70% известных в настоящее время локальных структур выражаются в "альтиметрических построениях" и, следовательно, активны в новейший тектонический этап.

Примерами среднеактивных поднятий, которым по площади соответствует полуобращенный рельеф (поднятие оконтуривается возвышенностями), могут служить Средне-Нерутинская, Сынинская, Лемью-Иральская, Лемьюская и другие структуры. И, наконец, малоактивными, имеющими обратное выражение в орографии местности, являются Пашинское, Печоргородское, штуноматериковое и др. поднятия.

Естественно, что не только прямой, полуобращенный или обращенный рельеф на площади той или иной локальной структуры является показателем ее новейшей тектонической активности. Последнюю определяют и аномалии планового рисунка гидросистем [82, 92], глубины эрозионного вреза, аномально высокие падения русел рек, нали-

чие положительных изгибов площадок структурно-денудационных, морских, озёрных и речных террас, увеличение спектра террас на площади поднятия, присутствие врезанных долинных меандров и др. [16, 56, 79]

Все многообразие плановых рисунков местных гидросистем в пределах Тимано-Печорской области можно объединить в несколько групп [82].

В настоящее время на исследованной территории выделяются (табл. I):

1. Радиальные долины и реки (подразделяются на радиально-расходящиеся и радиально-сходящиеся). 2. Серповидные и обтекающие долины и реки. 3. Ортогональные системы долин и рек (выделяются линейно-направленные и коленчатые системы долин) и 4. Дендривидные и перистые системы долин и рек (табл. I).

Радиальные долины и реки наблюдаются в различных районах региона. Примером радиально расходящихся рек могут служить долины рр. Мезоль-Яга, Себю-Яга, Ярби-Яха, Пятничиха и др. (А.И. Попов, 1952) радиальный рисунок отдельных ручьев на севере Сибири объясняет влиянием так называемого "крупноблочного" рельефа с серией радиальных трещин, образовавшегося в условиях многолетней мерзлоты грунтов. Радиальным трещинам действительно следуют долины небольших речек. Но в отмеченном случае радиальный рисунок имеет долины довольно крупных рек. Кроме того, в момент зарождения гидросети, по мере падения уровня boreального бассейна, на исследованной территории вряд ли имела место многолетняя мерзлота, если принять во внимание утепляющее влияние водной толщи.

Факт установления в этом районе по гравиметрическим и электrorазведочным данным Яробиягинского локального поднятия позволяет связывать отмеченную плановую конфигурацию рек с новейшими тектоническими движениями положительного знака.

Другим примером может служить гидросеть в районе крупного Лаявожского поднятия с газовым месторождением, выявленного сейсморазведкой и бурением по отложениям до карбона исключительно в северной части Денисовского прогиба.

Новейшее поднятие хорошо отображается в радиальном растекании рр. Черная, Чечей, Васни-Ю, Нейхабар-Ю и др.

Площади, на которых отмечена радиально-расходящаяся гидросеть, очевидно, испытывали интенсивное новейшее поднятие. В двадцати наблюденных случаях указанной конфигурации рек соответствует абсолютная амплитуда верхнеантропогенного поднятия в 60–80 м.*

* Амплитуда подсчитана по деформациям маркирующих геологического уровняй [15].

Таблица I

Плановые конфигурации долин местных гидросистем в пределах Тимано-Печорской области

Группа долин	Тип планового рисунка долин	Рисунок долин	Абсолютная средняя амплитуда по зонеантропогенного движения площади	Приуроченность к структурным формам
Радиальные долины и реки	Радиально-расходящиеся (центробежные) долины		+60–80 и метров	Купола, брахиантиклинали, изометрические поднятия
	Радиально-сходящиеся (центростремительные) долины		-40–50 и метров	Округлые и изометрические локальные впадины, ваны в пределах прогибов и сводов
Концентрические долины и реки	Серповидные долины		+30 +60 метров	Периклинали валов, структурные носы, купола, изометрические локальные поднятия
	Обтекающие (полудужные) участки долин и долины		+20 +40 метров	Вали, структурные носы, изометрические локальные поднятия, периклинали, плакантиклинали
Ортогональные долины и реки	Линейно-направленные долины		от +20 до +80 метров	Вали, дизъюнктивные вали, горсты, грабены, дизъюнктивные прогибы
	Коленчатые участки долин и долины		от +20 до +80 метров	Вали, дизъюнктивные вали, сложные горсты, ступени, сложные грабены
Дендривидные долины и реки	Дендривидные гидросистемы		от 0 до -20	Депрессии, прогибы, крупные впадины, изометрические своды
	Перистые гидросистемы		от 0 до +80 м	Структурные наклонные ступени, крылья валов, борта прогибов.

Радиально-сходящиеся долины и реки (центростремительные) обычно наблюдаются на площади локальных впадин в пределах сводов или крупных прогибов. Указанный рисунок гидросети обычно обусловлен интенсивным опусканием площади впадины. Нередко в центре впадины находится озеро (оз. Долгое и оз. Ласутей-ты в Малоземельской тундре). Амплитуда опускания за поздний антропоген достигает 50–40 м.

Серповидные и облекающие долины и реки. Примером рек такой плановой конфигурации могут служить Седуха, Уяр-Яга, Табысь-Яга, система рек Ласутей-Нерута, Урер-Яга, Черпаю, Полверю, Хильчу и многие другие. Во всех отмеченных случаях на участках, оконтуриваемых долинами упомянутых рек, по геологическим и геофизическим данным, выделяются локальные структуры (Седухинская, Табысь-Ягинская, Уяр-Ягинская, Нерутинская, Хосолтинская, Хильчуюская и др.).

Трудно предположить, что серповидная конфигурация рек во всех случаях предопределена литологией доантропогеновых пород.

Очевидно, она обусловлена также и ростом локальных структур в новейшее время. Это подтверждается целым рядом геолого-геоморфологических признаков, указывающих на тектоническое поднятие [30].

По-видимому, новейшее поднятие указанных участков было длительным и достаточно интенсивным. В этом случае реки смогли постепенно "нащупать" свой путь, не образуя антицедентных долин. Определенную роль сыграл и гравитационный эффект поднятия.* Интересно отметить, что устья и истоки серповидных рек расположены довольно близко друг от друга. Так, истоки реки Табысь-Яга, например, расположены в 12 км от устья при длине всей реки в 30–32 км, а истоки р. Морею – в 65 км от устья при длине реки в 290 км.

Примером такого же длительного и средненеинтенсивного поднятия, по всей вероятности, может служить воздымание Вольминского вала на юге Большеземельской тундры. По-видимому, этим новейшим поднятием в известной мере предопределена облекающая конфигурация широтного колена р. Печоры.

Примерами структур, переклиниали которых "облекаются" дугообразными долинами р. Ортина и верховьев рр. Хальмерю – Ярей-Шор, являются Ванейвское и Северо-Шапкинское поднятия. Расположенная в южной части Шапкино-Юряхинского вала Верхне-Серчейская структура с севера и запада оконтуривается изгибом долины р. Серчей-Ю и т. д.

* Гравитационный эффект поднятия выражается в увеличении аномалии силы тяжести на площади поднятия и притягивании аномалией водного потока.

Эмпирически выведено, что амплитуда позднеантропогенового поднятия площадей, оконтуриваемых изгибами долин реки или серповидными долинами, колеблется от 30 до 60 м. Из вышеизложенного следует, что перечисленные плановые конфигурации рек помогают определить не только площадь поднятия, но и относительную его интенсивность.

Ортогональные системы долин и рек. Развитие долин такого типа предопределено не только характером доантропогенового рельефа и структурными особенностями поверхности доантропогеновых пород, но и локальными новейшими тектоническими движениями. Не случайно большинство рек с линейной или коленчатой конфигурацией долин наследует направление либо зон тектонических нарушений, либо отдельных разломов. Река Вельт, например, приурочена к крупной зоне Оксинского нарушения в Малоземельской тундре; река Индига направлена параллельно серии разломов, вдоль северной оконечности Тимана.

Верховья р. Мал. Роговой и долины рр. Лек-Нерцета, Большая Нерцета, участки долин р. Адзыва (Тальбейская зона и др.) приурочены к тектоническим нарушениям, осложняющим борта и центральные части гряды Чернышева.

Линейно-вытянутые и коленчатые долины развиты не только в районах горного обрамления, но и в областях развития мощного чехла антропогеновых осадков. Возможно, что и такие реки как Сяма-Ю, Нойю, широтное колено р. Колвы, участки нижнего течения рек Урер-Яга, Морею и другие, имеющие строго линейные долины, тоже приурочены к тектоническим нарушениям. Подтверждением этого являются линейные магнитные аномалии и высокие градиенты гравитационных аномалий в этих районах.

Несомненно, что развитие рек указанной конфигурации предопределено новейшими тектоническими движениями по разломам. В противном случае реки в своем развитии не смогли бы "уловить" ослабленные зоны нарушений сплошности пород. Новейшая и современная жизнь указанных разломов подтверждается в ряде мест выходами глубинных термальных и минерализованных вод и спонтанных газов (р. р. Мутная, Лебедь, Серед-Седей-Яга, Шарапуша, Пмыва-Шор, Юнко-Шор, Адзыва и др.), зонами гравитационных и тектонических дислокаций осадков антропогена и др. Часто локальные структуры оконтуриваются ортогональными системами долин рек (Микитюкское, Хаседохардское, Хорейверское, Рудянское, Пачгинское и др. поднятия).

Абсолютная амплитуда позднеантропогенового поднятия площа —

дей, оконтуренных линейными или колечатыми долями, различна от 20 до 80 м. Факт этот зависит, очевидно, от интенсивности и длительности движения по разломам.

Аномалии планового рисунка гидросети, как правило, наблюдаются на локальных структурах, имеющих прямой или полуобращенный рельеф (Зап.Тэбукское, Макарихинские, Харьгинские, Омринские и др. поднятия). Но не исключены случаи, когда аномалии рисунка гидросети прослеживаются на площади поднятий, имеющих "нейтральный" или обращенный рельеф (Печоргородская, Пашинская и др. структуры). В последних случаях активность таких структур регистрируется по деформациям террасовых речных уровней, врезанным меандрам рек, перепадам в русле и другим признакам положительных движений. Указанные признаки обычно наблюдаются на всех неотектонически активных локальных структурах, но сочетание этих признаков и их количество позволяет выделить высокоактивные, среднеактивные и малоактивные поднятия. Это подразделение качественное. Количественные характеристики активности структур зависят от их новейших и позднеантропогенных амплитуд и процента прироста общих амплитуд в неоген-антропогенное время (таблицы 2 и 3).

Большое значение для определения новейшей активности локальных поднятий имеет глубина эрозионного расчленения в их пределах. Так, аномально глубокие врезы гидросети наблюдаются на площади или по границам целого ряда структур (около 79% неотектонически активных поднятий). Так, например, глубина эрозионного вреза достигает в пределах Великовисочного поднятия 100 м, Хильчуского - 40-58 м, Макарихинских - 35-48 м, Верхне-Харьгинского - 40 м, Возейского - 45 и т.п.

Деформации террасовых уровней различного генезиса наблюдаются в пределах всех выделенных и проанализированных новейших морфоструктур, в той или иной мере совпадающих по площади с локальными поднятиями в палеозойском осадочном чехле.

Примерами поднятий, в пределах которых наблюдаются положительные деформации морских и озерных поверхностей выравнивания, могут служить Возейская, Усинская, Боганская, Макарихинская, Харьгинская и многие другие структуры. Амплитуда таких положительных деформаций различна; от 5-10 до 20-35 м. Деформации речных террасовых комплексов наблюдаются также во многих случаях (Нарьян-Марское, Тэбукское, Войское, Мутноматериковое, Усино-Кушшорское, Пашинское, Лемъюское и Лемъ-Ирасльское поднятие и многие другие).

Величина деформаций достигает 3-4 м для пойменных террас; 5-6 м - для первой террасы и даже 10-12 м - для высоких террас.

Таблица 3
Соотношения типа, величины, запасов, приуроченности к зонам фундамента и коэффициента успешности поиска месторождений нефти и газа в локальных структурах Тимано-Печорской области с величиной прироста амплитуд (в %) за позднеантропогенный тектонический этап

№ пп	Наименование показателей	Величина прироста амплитуд (%) локальных структур за позднеантропогенный тектонический этап			Значение общих показателей	Примечание
		Малоактивные: прирост амплитуд до 5%	Среднеактивные: прирост амплитуд от 5 до 20%	Высокоактивные: прирост амплитуд свыше 20%		
1	Всего изучено структур	19(100%)	20(100%)	23(100%)	62(100%)	
2	Из них непромышленные ("пустые")	6(32%)	5 (25%)	6 (26%)	17 (27%)	
3	Месторождения нефти и газа	13(68%)	15(75%)	17(74%)	45(73%)	
4	Коэффициент успешности поиска	0,68	0,75	0,74	0,73	
5	Типы месторождений:					
a)	газовые	3(23%)	1(7%)	4(24%)	8(18%)	
b)	газо-конденсатные	3(23%)	-	1(6%)	4(9%)	(100%)
c)	газо-нефтяные	1(8%)	4(26%)	5(29%)	10(22%)	(100%)
d)	нефтяные	6(46%)	10(67%)	7(41%)	23(51%)	
6	Типы месторождений по преобладающему флюиду					
a)	газовые	7(54%)	3(30%)	8(47%)	18(40%)	(100%)
b)	нефтяные	6(46%)	12(80%)	9(53%)	27(60%)	(100%)
7	Величина месторождений:					
a)	крупные	2(15%)	3(20%)	2(12%)	7(15%)	
b)	средние	9(70%)	8(53%)	5(29%)	22(49%)	(100%)
c)	мелкие	2(15%)	4(27%)	10(59%)	16(36%)	
8	Запасы в процентах:					
a)	общие геологические запасы	66%	20%	14%	100%	
b)	геолог.запасы газа	74%	23%	3%	100%	
c)	геолог.запасы нефти	60%	18%	22%	100%	
9	Соотношение запасов газа и нефти	I : I	I : I	I : ?	I : 1,2	
10	Распределение структур по зонам фундамента и осадочного чехла:					
a)	тектонические "стабильные" зоны	-	9(45%)	15(65%)	24(39%)	(100%)
b)	тектонически "мобильные" зоны	19(100%)	11(55%)	8(35%)	38(61%)	(100%)

Аномалии падений рек наблюдаются в большей или меньшей степени в пределах всех известных неотектонически активных структур. По сути дела, на анализе этих данных и разработан "морфометрический метод" [83], получивший в последние годы широкое распространение. Указанные аномалии весьма различны: от 1-1,2 м/км в пределах Хыльчуюской и Западно-Тэбукской структур до 0,4-0,5 м/км на площади таких поднятий, как Ягтыдинское, Южно-Шапкинское, Войвожское и др.

В данной работе не рассматриваются многочисленные особенности разреза рыхлых осадков, наблюдаемые на площади активизированных в неоген-антропогеновое время локальных поднятий Тимано-Печорской области [49, 73, 79, 81].

Следует отметить, что в пределах всех изученных локальных структур, активизированных в новейший тектонический этап, наблюдается либо абсолютное, либо относительное сокращение мощности антропогеновых осадков и ритмичное строение их разреза [73, 79, 80, 81].

Одним из характерных признаков активности структуры является наличие на ее крыльях, границах или на ее площади зон мелких тектонических, гравитационно-тектонических и псевдотектонических дислокаций в антропогеновом чехле [73, 78, 80]. Псевдотектонические дислокации, образованные оползневыми, криотурбационными и другими неотектоническими процессами, опосредованно вызваны новейшими поднятиями той или другой площади структуры.

Примерами поднятий, на границах которых или в их пределах прослеживаются дислокации в рыхлом покрове, могут служить Хыльчанская, Салюкинская, Шапкинская, Харьгинская, Макарихинская структуры и морфоструктуры на площади гряды Чернышова, Тобышского поднятия и Омра-Сойвинского выступа.

Как уже упоминалось, в настоящее время на рассматриваемой территории бурением и сейсморазведочными работами наиболее хорошо изучено 264 локальных поднятия осадочного чехла. Из этого числа структур, принятого за 100%, 131 поднятие в плане полностью совпадает с площадью новейших морфоструктур (100-процентное совпадение площади).

У 54-х структур осадочного чехла наблюдается 70-50-процентное перекрытие площади с новейшими поднятиями.

В зонах положительных новейших движений и в пределах более крупных (второго порядка) новейших морфоструктур расположено 39 поднятий осадочного палеозойского чехла, что составляет 15% от

общего их числа. Таким образом, 224 поднятия прямо или косвенно активны в новейшее время (85% всех структур), 15-20% поднятий осадочного палеозойского чехла расположены в областях новейших погружений или занимают неопределенное положение и почти не выражаются в геолого-геоморфологических показателях.

По-видимому, эти структуры в неоген-антропогеновое время были пассивны и не нашли своего выражения в новейшем структурном плане. Из всего изложенного следует, что при структурно-геоморфологических исследованиях возможно выделить только неотектонически активные погребенные структуры осадочного чехла.

В Тимано-Пайхайской провинции в результате структурно-геоморфологических исследований выделено более 200 локальных новейших поднятий. К настоящему времени из всего числа этих структур детальными геофизическими работами (в том числе и сейсморазведкой) и частично бурением проверено около 100 поднятий. Более 70 новейших структур совпали по площади с поднятиями по различным горизонтам осадочного чехла. Уже эти предварительные данные решения прямой задачи показывают, что коэффициент успешности поиска локальных структур по неотектоническим данным достаточно высок. Примерами поднятий осадочного чехла, выделенных впервые и прежде всего в результате исследований новейшей тектоники, а затем подтвержденных сейсморазведкой и бурением, могут служить Возейская (Гыжиканская), Средне- и Веруне-Макарихинская, Харьгинская, Шапкинская, Великовисочная, Лаявожская, Командиршорская, Хыльчанская, Салюкинская, Сандивейская и многие другие структуры [80, 68, 73, 91, 44, 45].

В настоящее время известно более 62 структур с нефтегазопроявлениями и приуроченными к ним месторождениями нефти и газа.

Нами на первом этапе работ было проанализировано 39 месторождений нефти и газа. Двенадцать структур с проявлениями нефти и газа находятся в зонах новейших "живущих" разломов, а 16 - приурочено к древним глубинным разломам. Из 39 анализированных месторождений - 22 (57%) полностью совпадают с новейшими структурами по площади (перекрытие 100%), 17 месторождений лишь частично в плане совпадают с молодыми морфоструктурами (перекрытие площади до 50%).

В результате последующих работ были изучены геоморфологическая выраженность, и новейшие позднеантропогенные амплитуды 62 структур с месторождениями нефти и газа и отдельными нефтегазопроявлениями. Изученные структуры по степени их неотектонической активности, как указывалось выше, условно разделены на три группы: мало-, средне- и высокоактивные.

Активность структур выражена в процентах их прироста за позднеантропогеновое время по отношению к максимальной амплитуде (табл.3) в палеозойских отложениях. К мало-, средне- и высокоактивным отнесены структуры с приростами соответственно до 5, более 5, до 20, и выше 20%.

Число поднятий во всех группах примерно одинаково (соответственно - 19, 20, 23).

Небольшое увеличение высокоактивных форм, вероятно, связано с общим дифференцированным поднятием Тимано-Печорской области в позднем антропогене [73, 79, 80]. Следует сразу же подчеркнуть и отметить, что изученность рассматриваемой территории крайне неравномерна. Наиболее изучены ее южные и центральные площади, хуже всего северные и крайне северные районы. Поэтому все статистические выкладки в некоторой мере условны, а выводы носят предварительный характер. Сопоставление выделенных групп структур и их нефтегазоносности на сегодняшней степени изученности показывает, что число "пустых" форм среди мало-, средне- и высокоактивных структур почти не различается (6, 5, 6). Однако количество установленных месторождений закономерно увеличивается в сторону высокоактивных структур и составляет соответственно 13, 15, 17. При этом значения коэффициентов успешности поисков месторождений нефти и газа (отношение числа месторождений к общему числу изученных структур) для первой группы также несколько ниже, чем для двух других групп структур.

Сравнение неотектонической активности структур и типов месторождений по флюидам показывает, что газовые и газоконденсатные месторождения чаще встречаются на мало- и высокоактивных, газонефтяные - на средне- и высокоактивных, а нефтяные - на среднеактивных формах.

По преобладающему (газовому или нефтяному) флюиду месторождения распределяются аналогично, т.е. скоплений газообразных углеводородов больше на мало- и высокоактивных, а жидких - на среднеактивных структурах.

Крупные и средние месторождения чаще встречаются на мало- и среднеактивных (15, 20 против 12% и 70, 58 против 29%), а мелкие - на высокоактивных структурах (59%).

К малоактивным (т.е. имеющим малый прирост амплитуд в позднеантропогеновое время) формам приурочены такие крупные месторождения, как Усинское нефтяное и Вуктылское газоконденсатное; к среднеактивным - Пашинское нефтяное, Лаявожское газовое и Южно-Шапкинское газо-нефтяное, а к высокоактивным - Ярегское и Западно-90

Тэбукское нефтяные. Не следует забывать, что в предпринятом анализе используются данные о приросте амплитуд (т.е. активности) только за позднеантропогеновое время. Прирост амплитуд высчитывается от максимальных амплитуд - структур, которые весьма различны из-за разной мобильности той или иной площади и разного возраста отложений, по которым вычислено относительное поднятие. Таким образом, подразделение новейших структур по величинам прироста амплитуд на три категории активности весьма условно. Очевидно, что по величине прироста амплитуд за весь новейший тектонический этап, а также по выраженности структур в рельфе разделение их по группам активности будет несколько иное. По отмеченным показателям некоторые структуры по активности переходят на порядок выше (Усинское месторождение), а другие (Пашинское месторождение) - на порядок ниже.

Суммарные общие геологические запасы провинции (без ряда районов северных областей), как и запасы газа и нефти, преобладают на малоактивных структурах (66, 74 и 60%).

Показательно, что для высокоактивных структур запасы газообразных углеводородов в семь раз меньше объема жидкого, в то время как на прочих структурах они почти равны. Данное обстоятельство свидетельствует в пользу предположения о неспособности высокоактивных форм, претерпевших в южных и части центральных районов территории длительное преимущественное поднятие в течение мезо-кайнозоя, удерживать сравнительно более подвижные газообразные углеводороды. Напротив, в северных районах, по-видимому, будет наблюдаться обратное соотношение. На высокоактивных формах газообразные флюиды будут значительно преобладать над жидкими. Это предположение основывается на том, что северные районы в течение мезо-кайнозоя испытывали преобладающее опускание и только с конца среднего антропогена и особенно позднего антропогена начали интенсивно подниматься. Такое, хотя и интенсивное поднятие, способствовало миграции жидких углеводородов вверх по разрезу, но не приводило к гидрогеологической полной раскрытии. Наличие Лаявожского газового месторождения на севере рассматриваемого региона является частичным подтверждением этого предположения.

Аналогичные газовые месторождения находятся в сходных геологических условиях на севере Западной Сибири (Тазовское, Губкинское, Ямбурское). Меньшая продуктивность средне- и высокоактивных структур с учетом их длительного преобладающего поднятия в течение мезо-кайнозоя в южной половине провинции может быть обусловлена как повышенной их раскрытостью, способствующей разрушению от-

носительно более древних скоплений нефти и газа, так и наличием более молодых ловушек, не успевших заполниться углеводородами.

Вероятно, оба эти фактора действуют в указанных районах одновременно.

Анализ распределения выделенных групп структур по зонам с условно различной тектонической интенсивностью фундамента и осадочного чехла за всю историю формирования последнего показывает, что к "стабильным" зонам приурочены только средне- и высокоактивные формы. Этот факт связывается, по-видимому, с еще недостаточной изученностью областей со сравнительно спокойным тектоническим режимом.

Для "мобильных" зон наблюдается уменьшение числа структур по мере увеличения их активности. Так мало-, средне- и высокоактивных форм присутствует соответственно [19, II, 8]. Данный вывод опять же относится к южным районам провинции. Притом следует подчеркнуть, что условная большая или меньшая мобильность зон фундамента подразумевает время его доновейшего развития [77].

Для северных районов провинции характерно, напротив, наличие высокоактивных форм на мобильном основании Печоро-Кожвинского, Шапкино-Юрьяхинского и Колвинского валов. Примерами таких поднятий могут служить: Северо-Харьягинская - 47%, Возейская - 20%, Шапкинская - 25%, Северо-Шапкинская - 30%, Северо-Хылчанская - 30% прироста амплитуд за позднеантропогеновое время.

Указанное выше распределение структур по зонам для южных районов - явление нормальное, поскольку малоактивных, как и малоамплитудных, структур большинство на всей территории Тимано-Печорской провинции.

В заключение можно сделать следующие выводы:

1) Геоморфологическая выраженность структур осадочного чехла и приуроченных к ним месторождений нефти и газа наблюдается в 70% случаев.

Неотектонически активны более 70% локальных структур осадочного чехла.

2) Число структур мало-, средне- и высокоактивных в неотектоническом отношении примерно одинаково.

3) Продуктивность выделенных групп структур по числу установленных месторождений нефти и газа также мало отличается.

4) По объему общих геологических запасов газа и нефти наиболее перспективны малоактивные формы.

5) Высокоактивные структуры юга изученной территории харак-

теризуются меньшими запасами, особенно газа.

6) Формирование большинства месторождений происходило в до-позднеантропогеновое время.

КАРТА
НОВЕЙШЕЙ ТЕКТОНИКИ
СЕВЕРА РУССКОЙ ПЛАТФОРМЫ

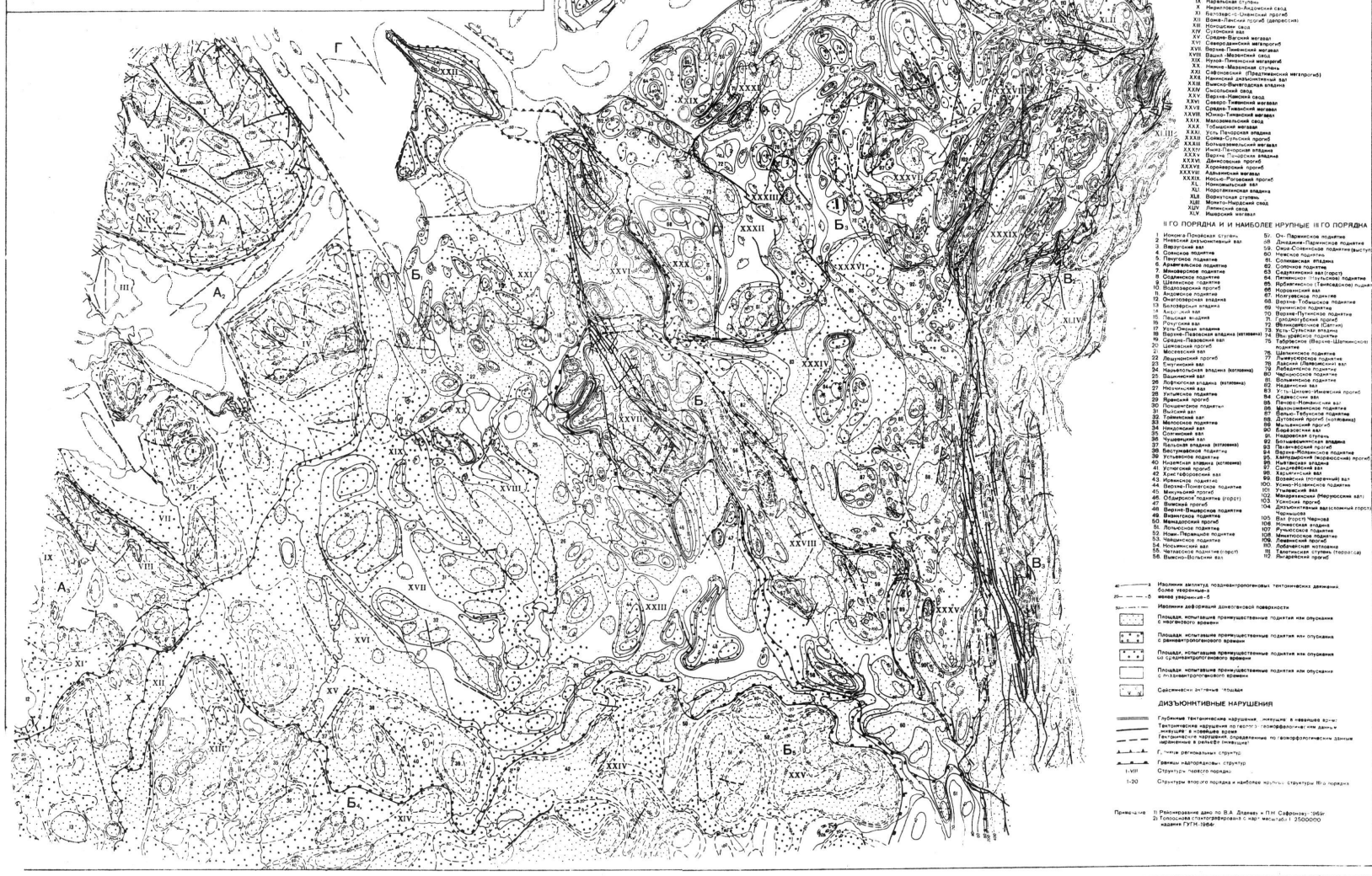
м 20 0 20 40 60 80 км

1970г.

Составлена по материалам ВНИГРИ, УГГ-УГГУ НИЛЗарубежгеология СЭГТУ Кафедры криптотектоники и гляциологии МГУ, лаборатории неотектоники МГУ ВАДТ УГГ-УГГУ ГИГи АН СССР, ВОЕГЕИ, НИИГА, ЦГГ, Уральского ТГУ Колского филиала АН СССР, Камского филиала ВНИГРИ, ГИГи Кольского филиала АН СССР, Института Арктики и Антарктики

Редакционная коллегия:

В.И. Алексеев-УГГ-УГГУ, В.И. Башлов-ВАДТ, Е.Н. Былинский-НИЛЗарубежгеология (зам. редактора), А.С. Бушуев-УГГ-УГГУ (зам. редактора), Б.П. Любимов-МГУ, Ю.Г. Неструхин-НИЛЗарубежгеология, П.Н. Сафонов-ВНИГРИ, В.В. Туманов-УГГ-УГГУ, А.А. Фарес-Сорокин-ВНИГРИ (гл. редактор)



Литература

1. Арманд А.Д. Очерк формирования рельефа и четвертичных отложений Хибинских тундр. - В сб.: Вопросы геоморфологии и геологии осадочного покрова Кольского полуострова. I. Апатиты, 1960, с. II-18.
2. Архангельский А.Д. Геологическое строение и геологическая история СССР. - Труды XУІI Межд.геолог.конгресс.т.2, М.-Л., 1937.
3. Афанасьев Б.Л. Неотектоника Печорского угольного бассейна и прилегающих районов Северного Приуралья. В сб.: Материалы по геологии и полезным ископаемым северо-востока Европейской части СССР. Вып. I, М. Госгеолтехиздат, 1961, с.84-89.
4. Афанасьев Б.Л. О возрасте речных террас Большеземельской тундры. - В сб.: Кайнозойский покров Большеземельской тундры. М. Изд. МГУ, 1963, с.4-II.
5. Афанасьев Б.Л., Белкин В.И. О третичном возрасте нижних горизонтов рыхлого покрова Большеземельской тундры. - "Сов.геология", т.1965, № 6, с.143-149.
6. Башилов В.И. Результаты структурно-геоморфологических исследований юго-восточной части Мезенской впадины и Западного Притиманья. - В сб.: Структурно-геоморфологические исследования при нефтегазопоисковых работах (Материалы совещания), Л., 1969 с.163-165.
7. Белкин В.И., Зархида В.С., Семенов И.Н. Кайнозойский покров севера Тимано-Уральской области. - В сб.: Геология кайнозоя севера европейской части СССР. М., Изд.МГУ, 1966, с.38-56.
8. Белоусов В.В. Основные вопросы геотектоники. М., Госгеолтехиздат, 1954, с.59I.
9. Берлянт А.М. Опыт количественного изучения неотектоники путем морфометрической реконструкции первичного рельефа. Изд-во АН СССР, сер.геогр.1965, № I, с.107-112.
10. Берлянт А.М. Отражение новейших тектонических движений в орографии Большеземельской тундры. - Вестн.МГУ, сер.геогр.№ 4, 1966, с.58-65.
11. Берлянт А.М. Закономерности в соотношении новейших и древних тектонических структур на севере Печорской низменности. - "Советская геология", 1969, № I, с.119-120.
12. Берлянт А.М. Неотектоника Тиманской гряды. - В

- кн.: Тектоника севера Русской плиты. Труды ВНИГРИ, вып.275, Л., "Недра", 1969, с.118-120.
18. Брод И.О., Мирчиник М.Ф. Перспективы открытия новой нефтегазоносной области на севере европейской части ССР. Из-я Карельского и Кольского филиалов АН ССР, 1959, № 2, с.9-15.
14. Былинский Е.Н. Новые данные по стратиграфии четвертичных отложений и палеогеографии бассейна р.Мезени.-ДАН ССР 1962, т.147, № 6, с.1421-1424.
15. Былинский Е.Н. Методика выявления новейших тектонических движений на севере Русской платформы. - В сб.: Тектонические движения и новейшие структуры земной коры. М., "Недра", 1967, с.146-151.
16. Былинский Е.Н., Берлянт А.М., Кузнецов Ю.Я. и др. Методические указания по проведению неотектонических исследований при поисках нефти и газа. М., 1968, с.129.
17. Былинский Е.Н., Неместников Ю.Г. и др. Неотектоника Мезенской синеклизы. - В кн.: Тектоника севера Русской плиты. (Тр.ВНИГРИ, вып.275, 1969, с.105-117.
18. Былинский Е.Н. Трансгрессия четвертичного периода на севере Русской равнины и их соотношение с материковым оледенением. - В сб.: Северный Ледовитый океан и его побережье в кайнозое. Л., Гидрометиздат, 1970, с.272-276.
19. Волосович К.К. Материалы для познания основных этапов геологической истории европейского северо-востока в плиоцен-среднем плейстоцене. - В сб.: Геология кайнозоя севера европейской части. Изд. МГУ, М., 1966, с.3-37.
20. Гафаров Р.А. Строение докембрийского фундамента севера Русской платформы. (Тр.ГИНА, вып.85). Изд-во АН ССР, М., 1963, с.2II.
21. Герасимов И.П. Структурный анализ рельефа и его содержание. В кн.: Методы геоморфологических исследований. - Мат-лы Всесоюзного совещания по геоморф. и неотектонике Сибири и Дальнего Востока, т.1, Новосибирск, "Наука", 1967, с.7-15.
22. Горелов С.К. О принципах составления карты новейшей тектоники масштаба 1:1000000. - В кн.: Тектонические движения и новейшие структуры земной коры. М., 1967, с.90-95.
23. Горелов С.К., Розанов Л.Н. Роль новейших тектонических движений и морфоструктурного фактора в размещении месторождений нефти и газа. - "Геоморфология", 1970, № 4, с.32-39.
24. Горелов С.К. Морфоструктурный анализ нефтегазоносных территорий. М., "Наука", 1972, с.216.
25. Данилов И.Д. Корреляция плейстоценовых отложений севера Русской равнины и Западной Сибири. - Мат-лы к симпозиуму. Корреляция новейших отложений севера Евразии. Л., ВГО, 1970, с.66-70.
26. Дедеев В.А., Матвеева Т.А. и др. Геология и перспективы нефтегазоносности северной части Тимано-Печорской области. (Тр. ВНИГРИ, вып.245). Л., "Недра", 1966, с.255.
27. Дедеев В.А., Султанов А.А. Стадии развития Предуральского краевого прогиба. - В сб.: Совещание по проблеме Прогибы. Тезисы докладов. Л., НИИГА, 1966.
28. Дедеев В.А., Запольнов А.К., Кратц О.К., Лукашов А.Д., Сафонов П.Н. Сравнительная тектоника Мезенской и Печорской синеклизы. АН ССР ИГ и ГД. Л., "Наука", 1969, с.73.
29. Дедеев В.А., Сафонов П.Н. Альпийские дислокации Печорской впадины. - В сб.: Геология северо-востока европейской части ССР. (Труды ВНИГРИ, вып.303). Л., 1971, с.171-178.
30. Курлев В.С. Сравнительная тектоника экзогенных впадин Русской платформы. - Докл.сов.геол. на XII сессии МГК, пробл.4, М., "Наука", 1964.
31. Курлев В.С. Сравнительная тектоника экзогенных впадин Русской платформы. М., "Наука", 1972.
32. Загорская Н.Г., Милкова Н.Н. Схема меридиональной корреляции отложений позднего кайнозоя в бассейнах рек Печоры и Камы. - Мат-лы симпозиума "Корреляция новейших отложений севера Евразии ВГО". Л., 1970, с.12-15.
33. Заломина Н.М. Природные газы Большеземельской тундры. - "Геол.нефти и газа", 1965, № 3, с.39-43.
34. Зандер В.Н., Томашунас Ю.И., Берковский А.Н. и др. Геологическое строение фундамента Русской плиты. Л., "Недра", 1967, с.123.
35. Зархида В.С. К истории развития юго-восточной части Баренцева моря и его фауны с верхнечетвертичного времени. - В сб.: Кайнозойский покров Большеземельской тундры. Изд. МГУ, 1963 с.91-99.
36. Зеккель Я.Д. Геологические исследования в районе Зимнего берега бассейна Кулоя и низовьев Мезени. Л., Арх.-М., Госгеолиздат, 1939, с.96 (Тр.Сев.геол.управления, вып.6).
37. Зоричева А.И. К стратиграфии палеозойских отложений севера Русской платформы. - Мат-лы ВСЕГЕИ, нов.сер., вып.14, 1956 год.

38. Ионин А.С., Каплии П.А., Медведев В.С. Карта современных вертикальных движений берегов морей СССР и геолого-геоморфологические методы их изучения. - В сб.: Современные тектонические движения земной коры. Изд. АН СССР, 1961, с.150-158.
39. Крапивин Р.Б. О новейшей тектонике Печорской низменности в связи с общими колебательными движениями. - В кн.: Тектонические движения и новейшие строи земной коры. М., 1967, с.201-208.
40. Кузин И.Л. Новейшая тектоника севера Западно-Сибирской низменности. Автореферат диссертации на соискание степени кандидата г-м наук. Изд. ВНИГРИ, Л., 1963, с.21.
41. Ламакин В.В. Динамические фазы речных долин и аллювиальных отложений. Землеведение. Нов.серия, т.2/42, 1948, с.20-30.
42. Гольбрахт И.Г., Забалуев В.В., Ласточкин А.Н. и др. Морфоструктурные методы изучения тектоники закрытых платформенных нефтегазоносных областей. Л., "Недра", 1968, с.152.
43. Ласточкин А.Н. О неотектонических критериях нефтегазоносности. Изд. ВГО, 1971, № 3, с.201-215.
44. Любимов Б.П. Неотектоника района низовьев р.Печоры в четвертичное время. - В сб.: Кайнозойский покров Большеземельской тундры. М., изд. МГУ, 1963, с.74-81.
45. Любимов Б.П. О проявлении новейших тектонических движений на севере Большеземельской тундры. - В сб.: Геология кайнозоя севера европейской части СССР. М., Изд. МГУ, 1966. с.128-137.
46. Люткевич Е.М., Пейсик М.И. Север Русской платформы. (Тр.ВНИГРИ, вып.101, 1957, т.2).
47. Малахов А.А. Геология Среднего Тимана и Западного Притиманья. Л.-Арх.-М., Госгеолиздат, 1940 (Тр.Сев.геол.управления, вып.6).
48. Малаховский Д.Б., Буслович А.А. Новые данные о происхождении Гдовских дислокаций. - В сб.: Матер-лы по геол. и полезн.иск. С-Запада РСФСР, № 5, Л., "Недра", 1966.
49. Матвеева Т.А. Кайнозойские отложения. - В кн.: В.А.Дедеев и др. Геология и перспективы нефтегазоносности сев. части Тимано-Печорской области. Л., "Недра", 1966, с.79-90.
50. Матвеевская Н.Д., Журавлев В.С. Печоро-Кожвинский вал. Изд-во ДАН СССР, 1965, т.161, № 4, с.903-906.
51. Мещеряков Ю.Н. Структурная геоморфология равнинных стран. М., 1965, с.366.
52. Мещеряков Ю.А. Центр Европейской части СССР. Неотектоника. В кн.: Геология СССР, т.ІУ, М., "Недра", 1971.
53. Мещеряков Ю.А. Рельеф СССР, М., 1972, с.470.
54. Наливкин Д.В. Учение о фациях. М., 1956. т.І, 483 т.ІІ, с.366.
55. Николаев Н.И., Шульц С.С. Карта новейшей тектоники СССР. Объяснительная записка. Из-ия Выш.учебных заведений, геология и разведка. М.-1961, № 10, с.3-8.
56. Николаев Н.И. Неотектоника и ее выражение в стр-ре и рельфе территории СССР. М., Госгеолтехиздат, 1962, с.392.
57. Николаев Н.И., Бабак В.И., Медянцев А.П. Вопросы неотектоники Балтийского щита и Норвежских каледонид. - "Сов.геология", 1967, № 3, с.4-24.
58. Никонов А.А., Панасенко Г.Д. О связи новейшей и современной тектоники и сейсмичности северо-востока Фенноскандии. - В сб.: Современные движения земной коры. Изв.АН СССР, 1963, с.13-19.
59. Никонов А.А. Проблема неотектоники северо-восточной части Балтийского щита. - В сб.: Тектонические движения и новейшие стр-ри земной коры. М., "Недра", 1967, с.191-198.
60. Оффман Н.Е. Происхождение Тимана. Из-во АН СССР, вып.58, 1961, с.137.
61. Полканов А.А. Дочетвертичная геология Кольского полуострова и Карелии или наиболее восточной части Фенносканди-навского кристаллического щита. - Труды XШ сессии Междунар. геол.конгресса, т.2, М., Изд-во АН СССР, 1939, с.27-58.
62. Полканов А.А. Геология Хогландия-иотния Балтийского щита (стратиграфия, тектоника, кинематика, магматизм. М.Л., Изд-во АН СССР, 1956, с.117-120 (Тр.ЛГД, вып.6).
63. Попов А.И. Палеогеография плейстоцена Большеземельской тундры. - Вестник МГУ, сер.У (географ.) № 6, 1961, с.30-38.
64. Разницин В.А. Тектоника Южного Тимана. М.-Л., "Наука", 1964, с.150.
65. Разницин В.А. Тектоника Среднего Тимана.-"Наука", 1968, с.220.
66. Решения совещания по классификации платформенных структур (март 1963 г.). Л., Изд. ВНИГРИ, 1963, с.15, I табл.
67. Рухин Л.Б. Основы литологии. Л., 1959, с.665.

68. Сафронов П.Н. Геоморфология и развитие рельефа. В кн.: В.А.Дедеев и др. - Геология и перспективы нефтегазоносности сев. части Тимано-Печорской области. Л., "Недра", 1966, с.90-152.
69. Сафронов П.Н., Ференс - Сороцкий А.А. Опыт корреляции плейстоценовых отложений восточного и западного склонов северной части Тимана. - Мат-лы к симпозиуму Корреляция новейших отложений севера Евразии. Л., ВГО, 1970, с.90-94.
70. Спикарский Т.Н., Кириков В.П. и др. Объяснительная записка к тектонической карте Русской платформы в масштабе 1:1500000, Л., 1972, с.55.
71. Сидоринов М.А. Современные движения и история развития береговой зоны северной части полуострова Канин. 1963 (Тр. ВСЕГЕИ, н.сер., вып.5).
72. Ставас М.В. Современное молодое тектоническое поднятие побережья Белого и Баренцева морей. - ДАН СССР, 1963, т.153, № 6, с.1415-1417.
73. Тектоника севера Русской плиты. (Колл. авторов, под ред. В.А.Дедеева, А.Н.Розанова, С.М.Домрачева. Л., "Недра", 1969, с.155 (Тр.ВНИГРИ, вып.275).
74. Удот Г.Д., Сафронов П.Н. Использование альтиметрических построений при изучении локальных структур Тимано-Печорской провинции. - В сб.: Мат-лы IV Коми республ.молодежн.научн.конференции. Сыктывкар, 1970, с.124-125.
75. Удот Г.Д. Классификация локальных структур Тиман-Печорской провинции и связь выделенных типов с нефтегазоносностью. В сб.: Мат-лы IV Коми республ.молодежн.научн.конференции. Сыктывкар, 1970, с.120-122.
76. Удот Г.Д., Сафронов П.Н. Способ изучения неотектонических движений на локальных структурах. В сб.: Геология северо-востока европейской части СССР. (Л., 1971, с.151-154. (Тр. ВНИГРИ, вып.303).
77. Удот Г.Д., Буданов Г.Ф., Должанский Б.Г. и др. Тектонические критерии нефтегазоносности северо-восточной окраины Русской платформы Д-д на конференции "Перспективы нефтегазоносности северных районов европейской части СССР", ВНИГРИ Л., 1972, с.21-23.
78. Ференс - Сороцкий А.А. Дислокации в рыхлых четвертичных отложениях севера Печорской низменности, вып.237, 1964, Тр.ВНИГРИ.
79. Ференс - Сороцкий А.А. Критерии выявления, направленность и интенсивность новейших тектонических движений. В кн. (Тр.ВНИГРИ, вып.245) 1966, с.182-191
80. Ференс - Сороцкий А.А. Верхний структурный подъезд (Неотектоника). - В кн.: Дедеев и др. "Геология и перспективы нефтегазоносности северной части Тимано-Печорской области. Л., Недра", 1966, с.182-220.
81. Ференс - Сороцкий А.А., Сафронов П.Н., Бердовская Г.Н. Маркирующие горизонты плейстоцена на севере Печорской низменности. - Мат-лы "к симпозиуму "Корреляция новейших отложений севера Евразии. Л., ВГО, 1970, с.89-90.
82. Ференс - Сороцкий А.А., Сафронов П.Н. Алексеев В.И. Рисунок гидросети как показатель локальных тектонических движений в северной части Печорской низменности. - "Геоморфология", 1972, № 4, с.52-58.
83. Философов В.П. Краткое руководство по морфометрическому методу поисков тектонических структур. - Саратов, 1960, с.93.
84. Хайн В.Е. Общая геотектоника. М., "Недра", 1964, с.479.
85. Цзю З.И. Основные черты тектонического развития Тимано-Печорской провинции. В сб.: Геология нефти и газа северо-востока европейской части СССР, М., "Недра", 1964, вып.1.
86. Цзю З.И. Тиманская гряда. - В кн.: Тектоника севера Русской плиты. (Под ред.Дедеева В.А.). Л., 1969, с.51-60 (Тр.ВНИГРИ, вып.275).
87. Чижова Н.Г. О новейшей тектонике Полярного Урала. - В кн.: Тектоническое движение и новейшие структуры земной коры. М., 1967, с.304-310.
88. Чочиа Н.Г., Кузин И.Л. Новейшая тектоника Западно-Сибирской низменности. - Геол.СССР, т.44, ч.1. М., "Недра", 1964, с.406-419.
89. Чувардинский В.П. О древних корах выветривания на Кольском полуострове. "Знание-Сила", 1968, № 8, с.8-10.
90. Шатский Н.С. Основные черты строения и развития Восточно-Европейской платформы. - Изв. АН СССР, сер.геол., 1946, № 1.
91. Шилов Л.П., Бушуев А.С. К вопросу о неотектоническом строении восточного склона Среднего Тимана в связи с поисками локальных положительных структур. - В сб.: Проблемы нефтегазоносности Тимано-Печорской провинции. М., Изд.ЦНИИТЭнефтегаз, 1964, с.133-144.
92. Howard Arthur David. Drainage analysis in geologic interpretation a summation (Stanford, California). The American association of petroleum geologists bulletin.V-51 No.11, November, 1967. c.2246-2259.

Р Е Ф Е Р А Т Ы

СТАТЕЙ, ПОМЕЩЕННЫХ В СБОРНИКЕ "НОВЕЙШАЯ ТЕКТОНИКА
НЕФТЕГАЗОНОСНЫХ ОБЛАСТЕЙ СЕВЕРА РУССКОЙ ПЛИТЫ"

С О Д Е Р Ж А Н И Е

	Стр.
От редактора	3
Былинский Е.Н. (НИЛЗарубежгеология). МЕТОДИКА И ПРИНЦИПЫ СОСТАВЛЕНИЯ КАРТЫ НОВЕЙШЕЙ ТЕКТОНИКИ НЕФТЕГАЗОНОСНЫХ ОБЛАСТЕЙ СЕВЕРА РУССКОЙ ПЛИТЫ	18
Ференс-Сороцкий А.А., Сафонов П.Н. (ВНИГРИ). НОВЕЙШАЯ ТЕКТОНИЧЕСКАЯ МОБИЛЬНОСТЬ НЕФТЕГАЗОНОСНЫХ ОБЛАСТЕЙ СЕВЕРА РУССКОЙ ПЛИТЫ	14
Былинский Е.Н., Наместников Ю.Г. (НИЛЗарубежгеология), Башилов В.И. (ВАГТ). НОВЕЙШАЯ ТЕКТОНИКА МЕЗЕНСКОЙ СИНЕКЛИЗЫ В СВЯЗИ С ПОИСКОМ НЕФТЕГАЗОНОСНЫХ СТРУКТУР	25
Башилов В.И. (ВАГТ), Якушев В.И. (ВНИГРИ). НОВЕЙШАЯ ТЕКТОНИКА И ОСНОВНЫЕ ЧЕРТЫ МОРФОСТРУКТУР СЕВЕРА ВОЛГО-УРАЛЬСКОЙ ОБЛАСТИ И СЕВЕРА МОСКОВСКОЙ СИНЕКЛИЗЫ	34
Ференс-Сороцкий А.А. НОВЕЙШАЯ ТЕКТОНИКА ТИМАНСКОЙ ГРЯДЫ (в связи с нефтегазоносностью)	38
Ференс-Сороцкий А.А., Сафонов П.Н. (ВНИГРИ), Алексеев В.И., Бушуев А.С. при участии Тумакова В.В. (УТГУ). ОСНОВНЫЕ МОРФОСТРУКТУРЫ ПЕЧОРСКОЙ СИНЕКЛИЗЫ И ИХ СООТНОШЕНИЕ СО СТРУКТУРАМИ ОСАДОЧНОГО ЧЕХЛА, ФУНДАМЕНТА И ГЕОФИЗИЧЕСКИМИ ПОЛЯМИ (в связи с нефтегазоносностью)	47
Ференс-Сороцкий А.А., Удот Г.Д. (ВНИГРИ). НЕКОТОРЫЕ НОВЫЕ ДАННЫЕ О ГЕОМОРФОЛОГИЧЕСКОЙ ВЫРАЖЕННОСТИ ЛОКАЛЬНЫХ СТРУКТУР И ПРИУРОЧЕННЫХ К НИМ МЕСТОРОЖДЕНИЙ НЕФТИ И ГАЗА ТИМАНО-ПЕЧОРСКОЙ ОБЛАСТИ	80

УДК 551.248.2 (084.3):528.942 (47-І7)

Былинский Е.Н. (НИЛЗарубежгеология)

Методика и принципы составления карты новейшей тектоники нефтегазоносных областей севера Русской плиты.

В основу построения неотектонической карты нефтегазоносных областей севера Русской платформы положен структурный признак, который подразумевает выделение морфоструктур различных порядков от региональных до локальных. На карте неотектоники на основании анализа комплекса морфометрических, структурно-геоморфологических и геологических (мощности, фации, ритмичность и др.) данных показаны направленность и интенсивность (амплитуда) новейших движений, относительный возраст морфоструктур и их история развития (унаследованность или инверсионность). Основным методом при определении новейших амплитуд было картирование деформации донногеновой выравненной поверхности и маркирующих геолого-геоморфологических уровней, с выключением регионального фона.

УДК 551.248.2:553.98(47-І7)

Ференс-Сороцкий А.А., Сафонов П.Н. (ВНИГРИ)

Новейшая тектоническая мобильность нефтегазоносных областей севера Русской плиты.

Рассматривается история колебательных движений уровня моря, основной причиной которых являются тектонические региональные поднятия и опускания при подчиненной роли гляциоизостатического и эвстатического факторов. Выделяются 3 этапа крупных поднятий и 2 этапа опусканий в течение новейшего времени. На основании анализа мощностей, фаций и ритмичности антропогеновых образований, а также древнего и современного врезов гидросети даются суммарные амплитуды неотектонических движений в абсолютном исчислении на всю территорию севера Русской плиты. Делается вывод о высокой тектонической мобильности региона и ее значении для формирования и перекомпонования залежей нефти и газа.

3 иллюстрации.

УДК 551.248.2:550.8:553.98(470.II)

Былинский Е.Н., Наместников Ю.Г. (НИИЗарубежгеология),
Башилов В.И. (ВАГТ)

Новейшая тектоника Мезенской синеклизы в связи с поиском нефтегазоносных структур

Рассматривается новейший структурный план Мезенской синеклизы и его соотношение с рельефом фундамента и геофизическими аномалиями.

На территории синеклизы выделяются унаследованные и новообразованные морфоструктуры. Большинство структур - унаследованные. Новообразованные морфоструктуры тяготеют к погруженным частям синеклизы и часто расположены над глубинными разломами. Между геофизическими аномалиями и новейшими структурами наблюдаются четкие прямые или обратные связи.

УДК 551.248.2:551.4+550.83(470-I7)

Башилов В.И. (ВАГТ), Якушев В.И. (ВНИГРИ)

Новейшая тектоника и основные черты морфоструктур севера Волго-Уральской области и севера Московской синеклизы.

Дается характеристика основных новейших морфоструктур северных частей Волго-Уральской области и Московской синеклизы. Устанавливается большая связь новейших морфоструктур с глубинным строением и структурным планом осадочного чехла. Выделяются унаследованные и инверсионные морфоструктуры. Приводятся данные об амплитудах позднеантропогенных тектонических движений.

УДК 551.248.2(470.I3)

Ференс-Сороцкий А.А. (ВНИГРИ)

Новейшая тектоника Тиманской гряды (в связи с нефтегазоносностью)

Тиманская гряда характеризуется высокой новейшей тектонической активностью как в целом, так и отдельных структур в ее пре-

делах. Проводится анализ соотношения новейших морфоструктур с глубинным строением и месторождениями нефти и газа. Прослеживается отражение новейших структур и разломов в геофизических полях.

УДК 551.4:553.98(470.I3)

Ференс-Сороцкий А.А., Сафонов П.Н. (ВНИГРИ), Алексеев В.И., Бушуев А.С., Тумаков В.В. (УТГУ)

Основные морфоструктуры Печорской синеклизы и их соотношение со структурами осадочного чехла фундамента и геофизическими полями (в связи с нефтегазоносностью)

Рассматривается новейший структурный план Печорской синеклизы с характеристикой отдельных структур в свете их соотношения с нижним структурным подъетажом, рельефом фундамента и геофизическими полями территории.

Делается вывод о большом количестве унаследованных структур при подчиненном числе новообразованных.

Устанавливается большая связь новейших структур и разломов с гравитационными аномалиями и градиентами поля силы тяжести. Отмечается меньшая связь с магнитным полем, хотя 60% локальных морфоструктур совпадает с магнитными локальными максимумами. Указывается большая роль активизированных разломов в образовании локальных новейших структур.

УДК 551.248.2:553.98(470.III+470.I3)

Ференс-Сороцкий А.А., Удот Г.Д. (ВНИГРИ)

Некоторые новые данные о геоморфологической выраженности локальных структур и приуроченных к ним месторождений нефти и газа Тимано-Печорской провинции.

Рассматривается геоморфологическая выраженность локальных структур осадочного чехла и приуроченных к ним месторождений нефти и газа. Приводятся статистические данные о соотношении групп структур по неотектонической активности с типами, величиной и составом месторождений нефти и газа.

Делается вывод о неотектонической активности 70% локальных структур осадочного чехла с месторождениями нефти и газа.

По объему общих геологических запасов газа и нефти наиболее перспективными являются средне-и малоактивные структуры.

3 таблицы.

НОВЕЙШАЯ ТЕКТОНИКА
НЕФТЕГАЗОНОСНЫХ ОБЛАСТЕЙ
СЕВЕРА РУССКОЙ ПЛИТЫ

Редактор Аристова С. Н.

Корректор Шибанова В. Е.

Техн. редактор Голубева Н. В.

М-07470 Подписано в печать 29/У1-73 г. Формат 60x80 /16
Объем 7 уч.-изд.листов. Тираж 400 экз. Заказ 521 Цена 50 коп.

ОНТИ ВНИГРИ - 192104 Ленинград, Литейный, 39
Картолитография ВНИГРИ